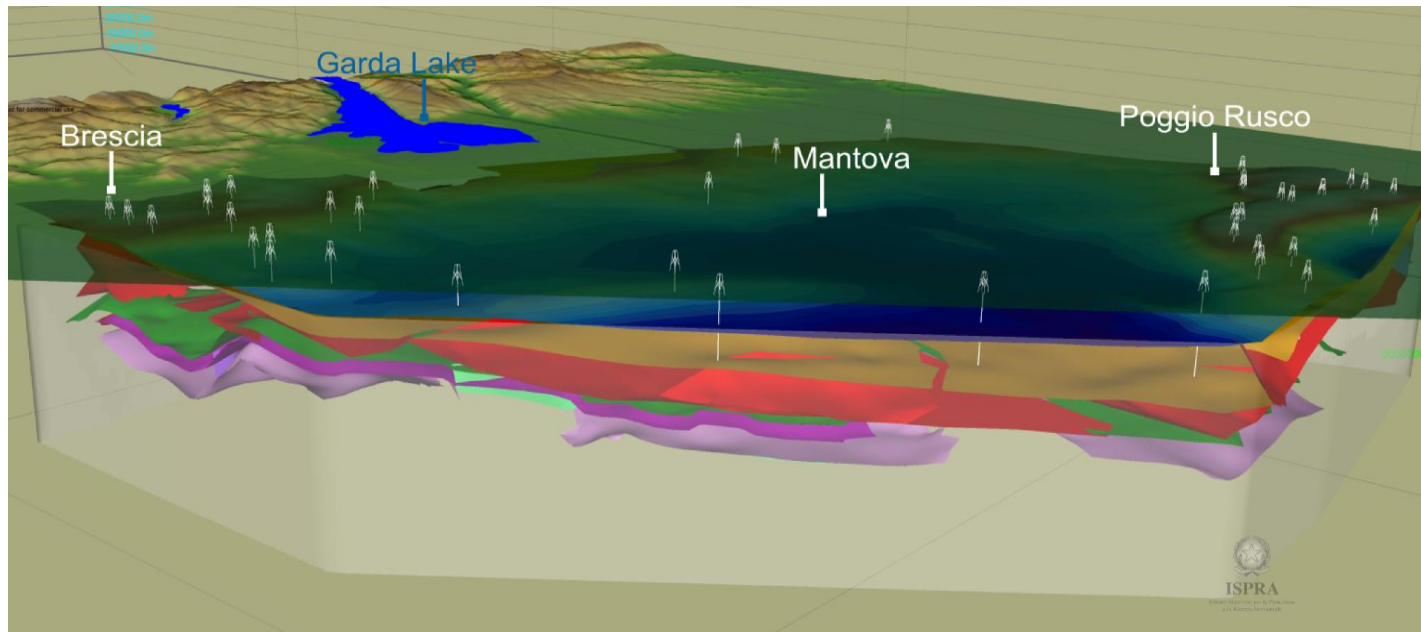


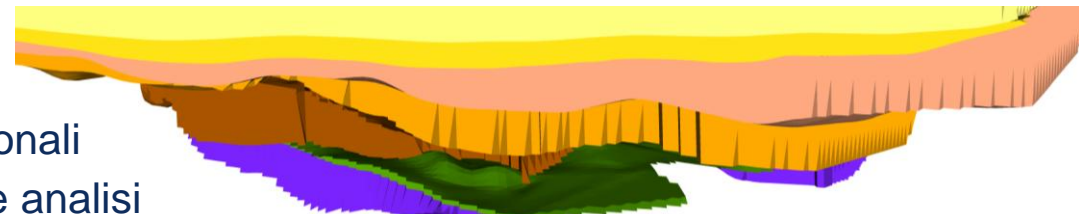
# IL MODELLO GEOLOGICO 3D

Chiara D'Ambrogi & Francesco Maesano  
ISPRA – Servizio Geologico d'Italia

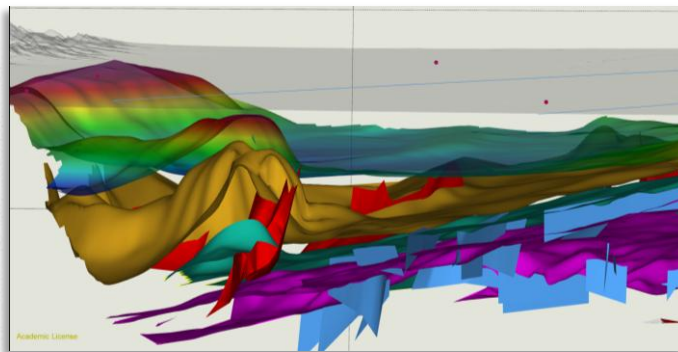


## Obiettivi del Progetto GeoMol

Modelli geologici 3D trans-nazionali/regionali  
basati su metodi comuni di costruzione e analisi



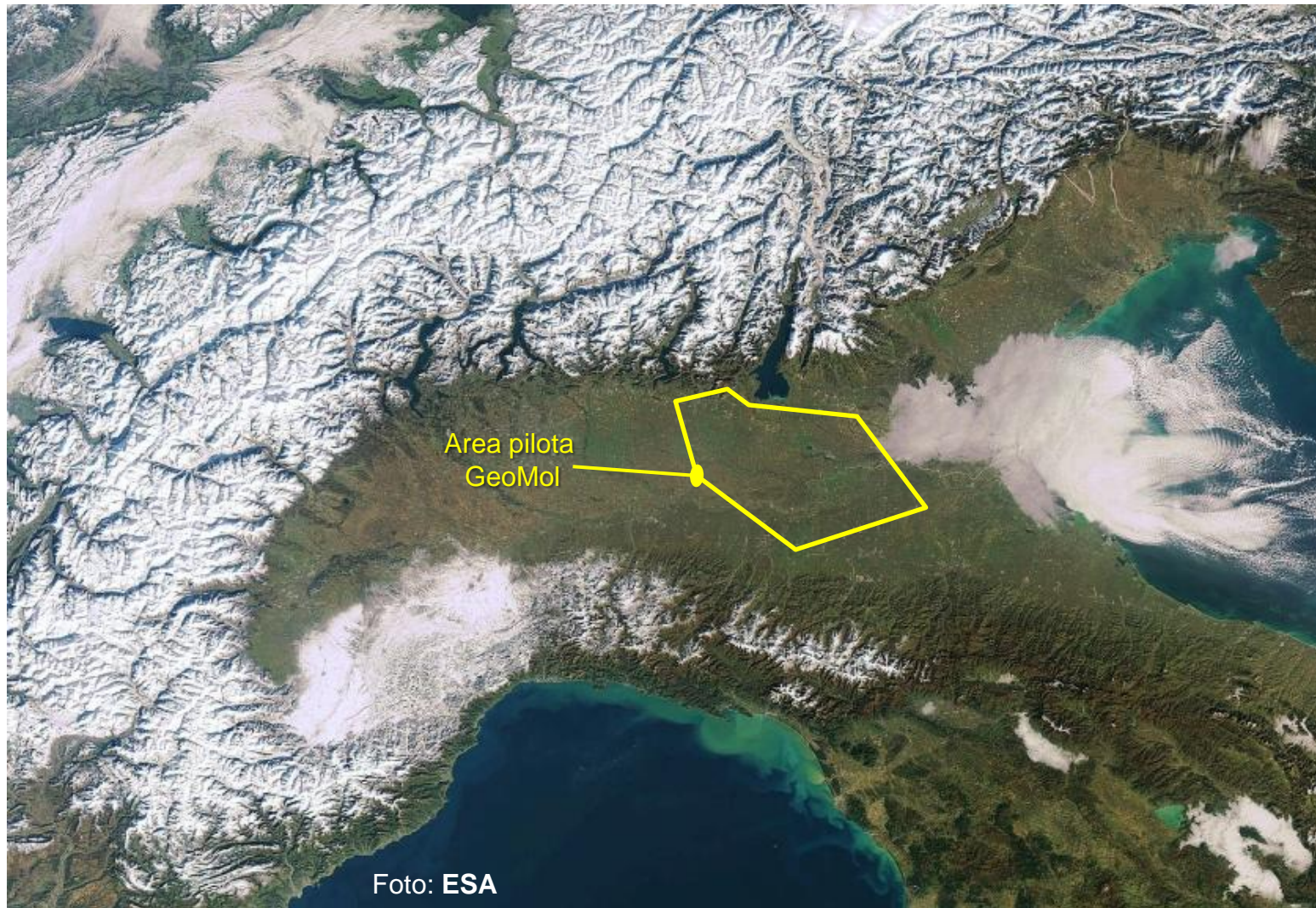
**Area pilota italiana** – Modello geologico per la valutazione della geotermia  
con particolare attenzione alle strutture tettoniche (area del terremoto 2012)

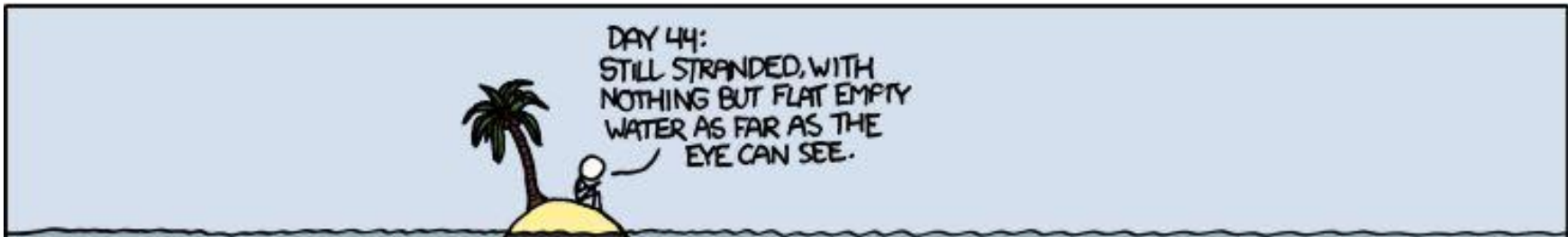


**Modello geologico 3D è un prerequisito per una**

- Conoscenza delle strutture geologiche nella loro interezza (volumi e faglie)
- Valutazione delle potenziali risorse del sottosuolo
- Supporto alla valutazione degli impatti

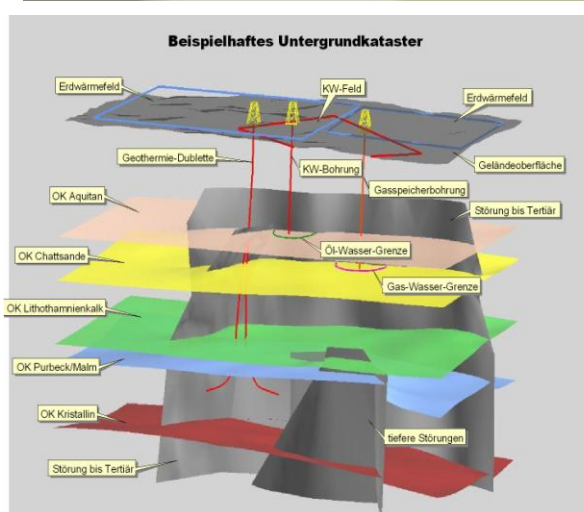
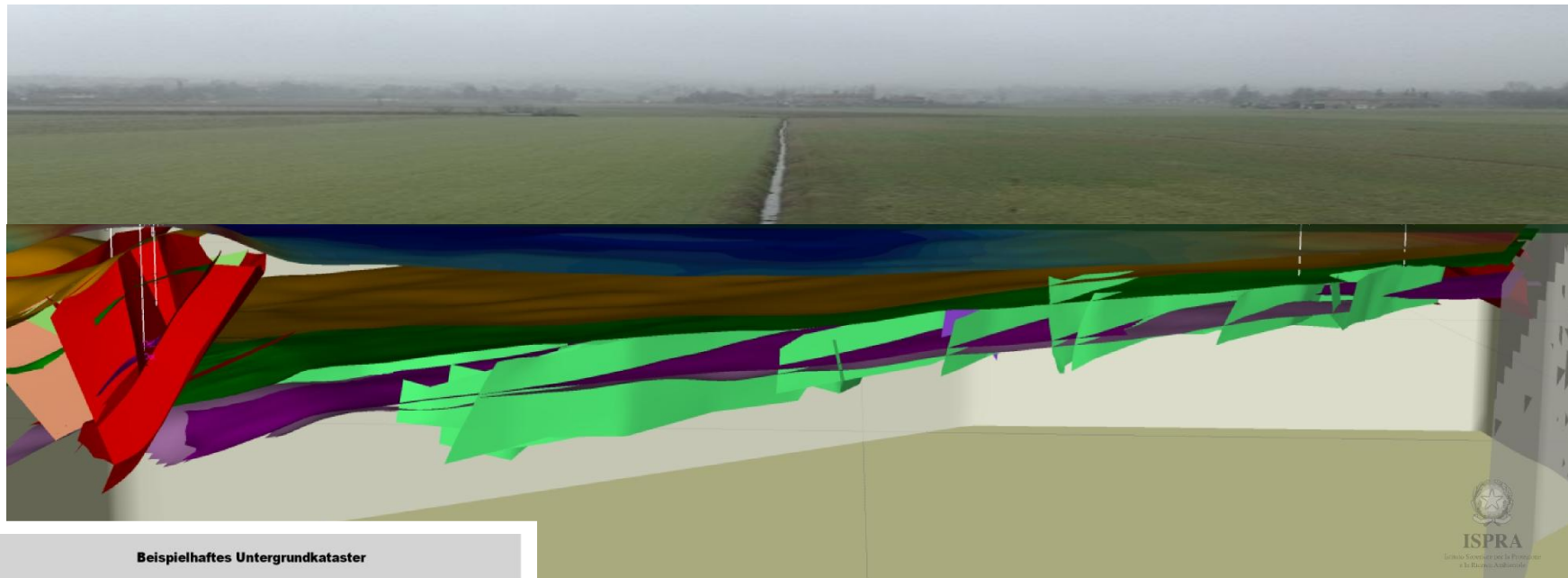
## Alpine Foreland Basins - modelli geologici 3D in aree di pianura







## Alpine Foreland Basins - modelli geologici 3D....



**...che supportano la richiesta di pianificazione  
nell'utilizzo delle risorse del sottosuolo**

Autorizzazione senza limite di profondità - “from soil to hell”

Modelli 3D possono supportare la zonazione verticale  
→ consentendo anche utilizzi concorrenti

**modello geologico-strutturale 3D è un  
modello geometrico che descrive  
relazioni spaziali tra corpi geologici**

coerente con i dati

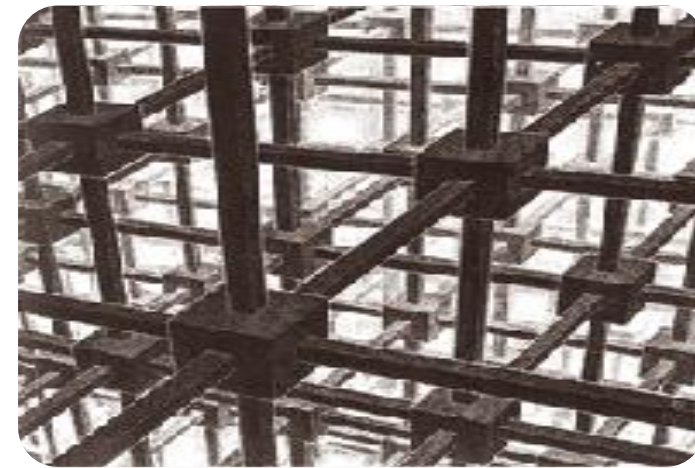
dipendente “solo” da ipotesi sicure

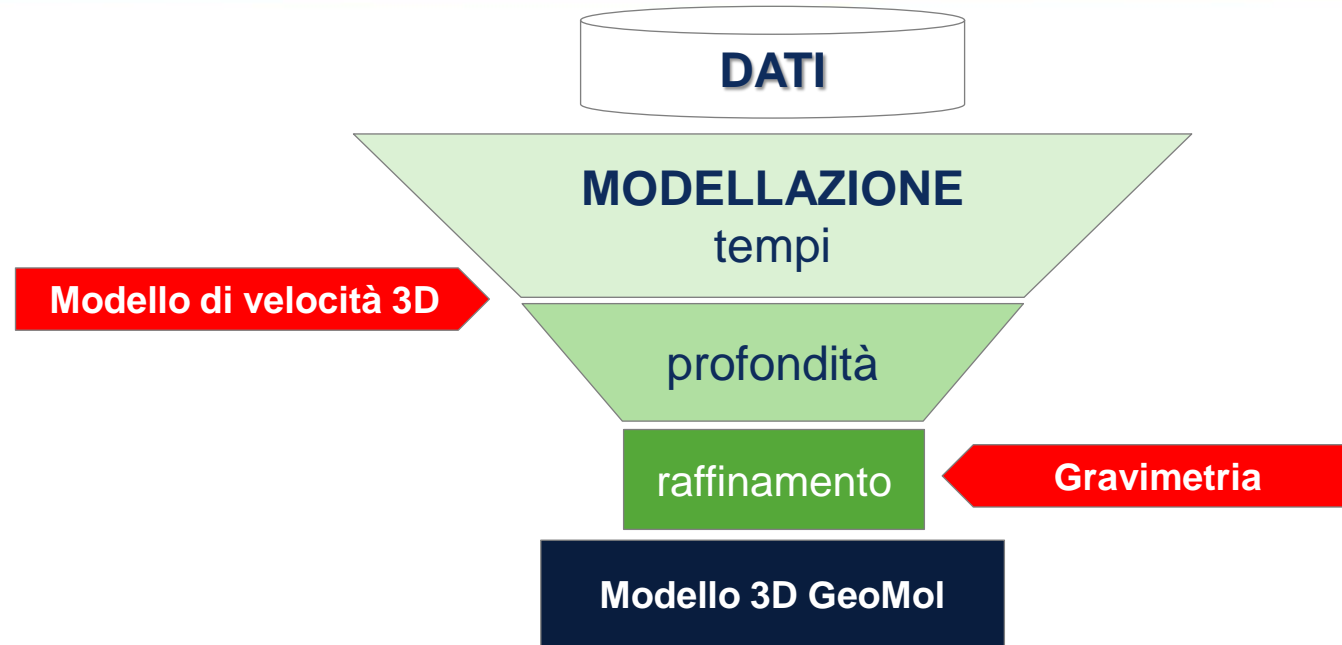
predittivo

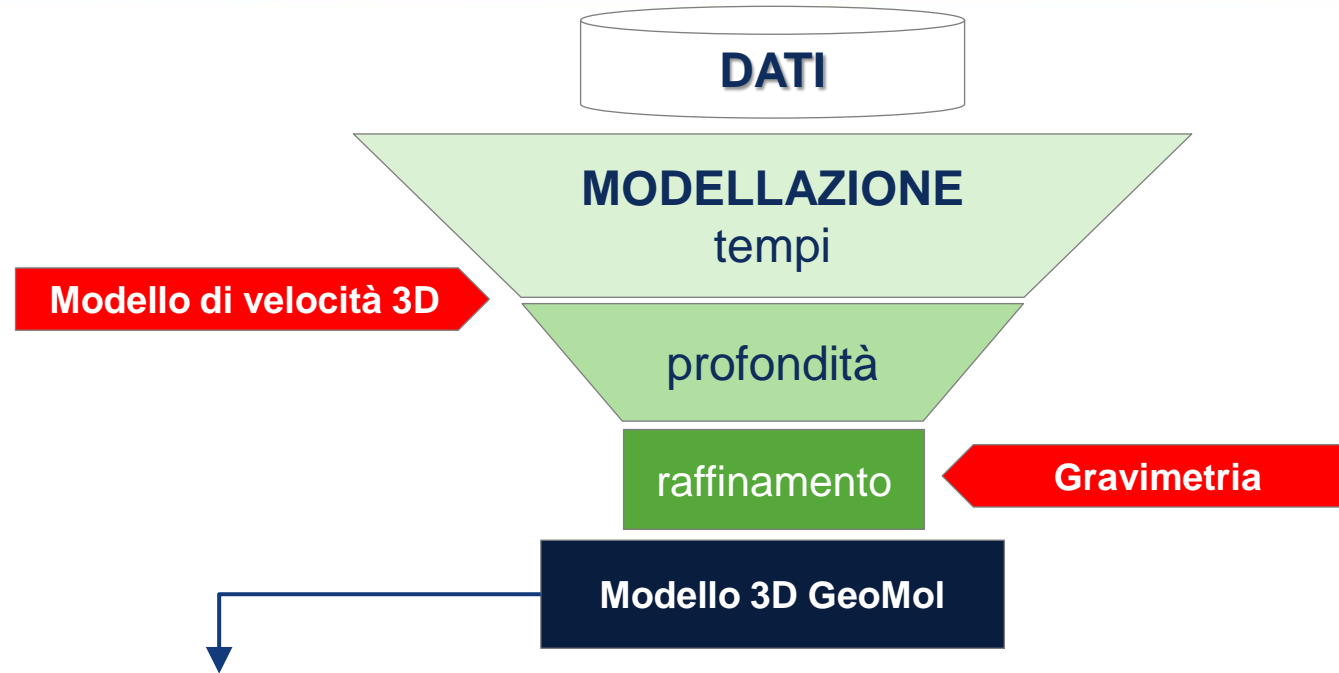
descrivendo l'incertezza

evidenziando problemi di interpretazione

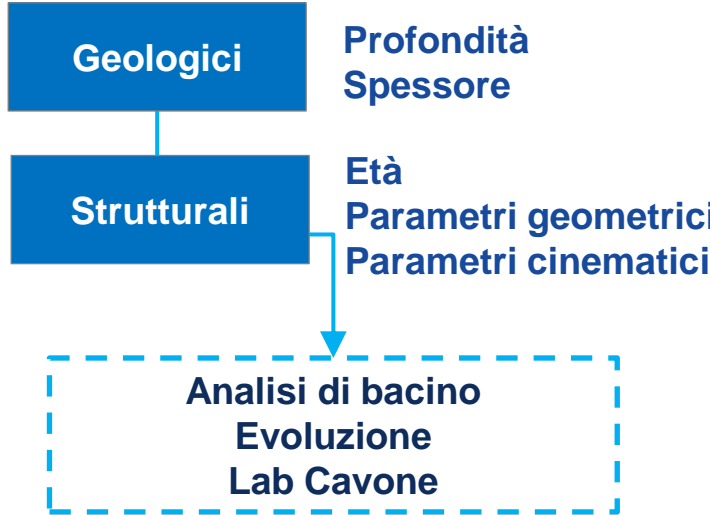
supportando ulteriori analisi

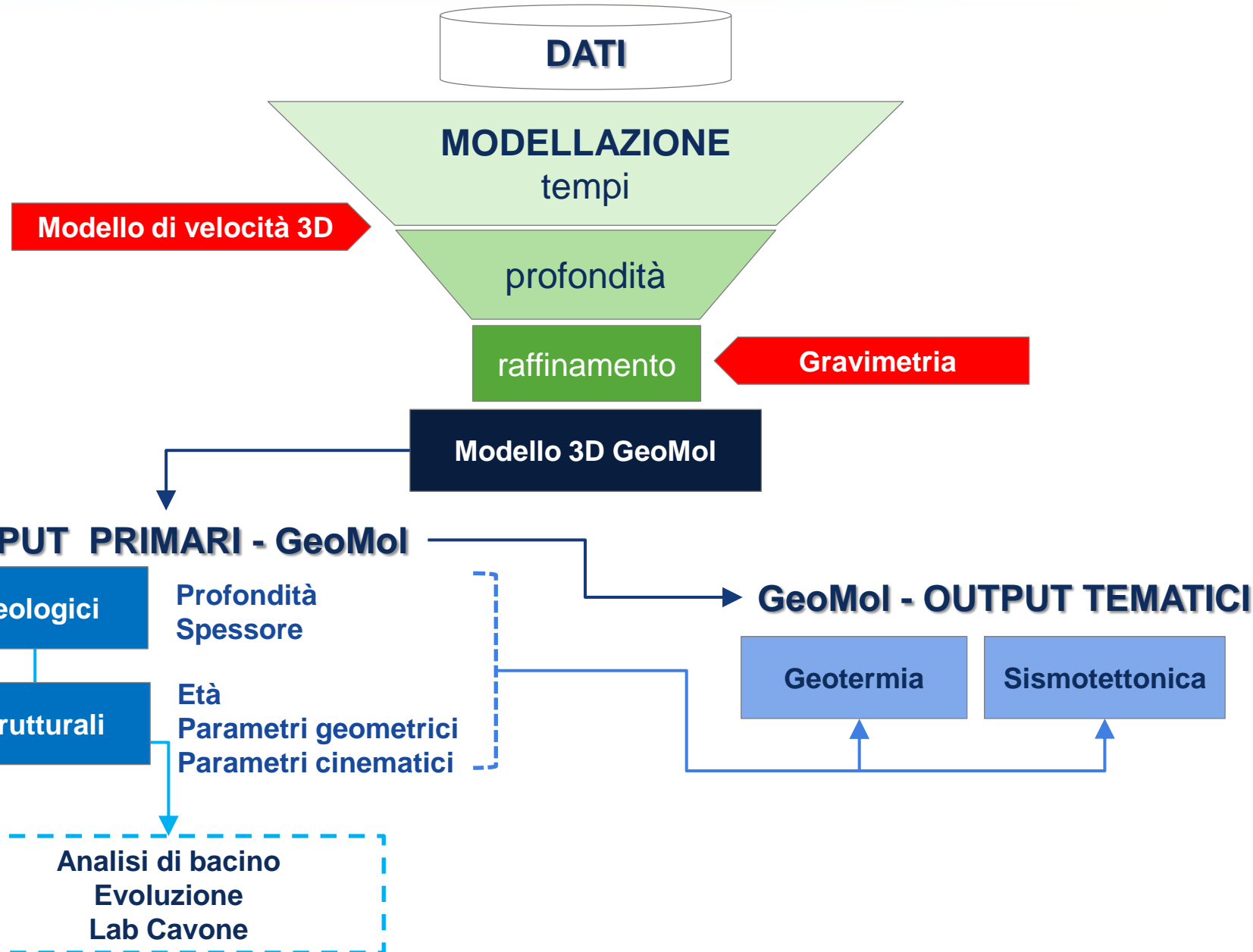


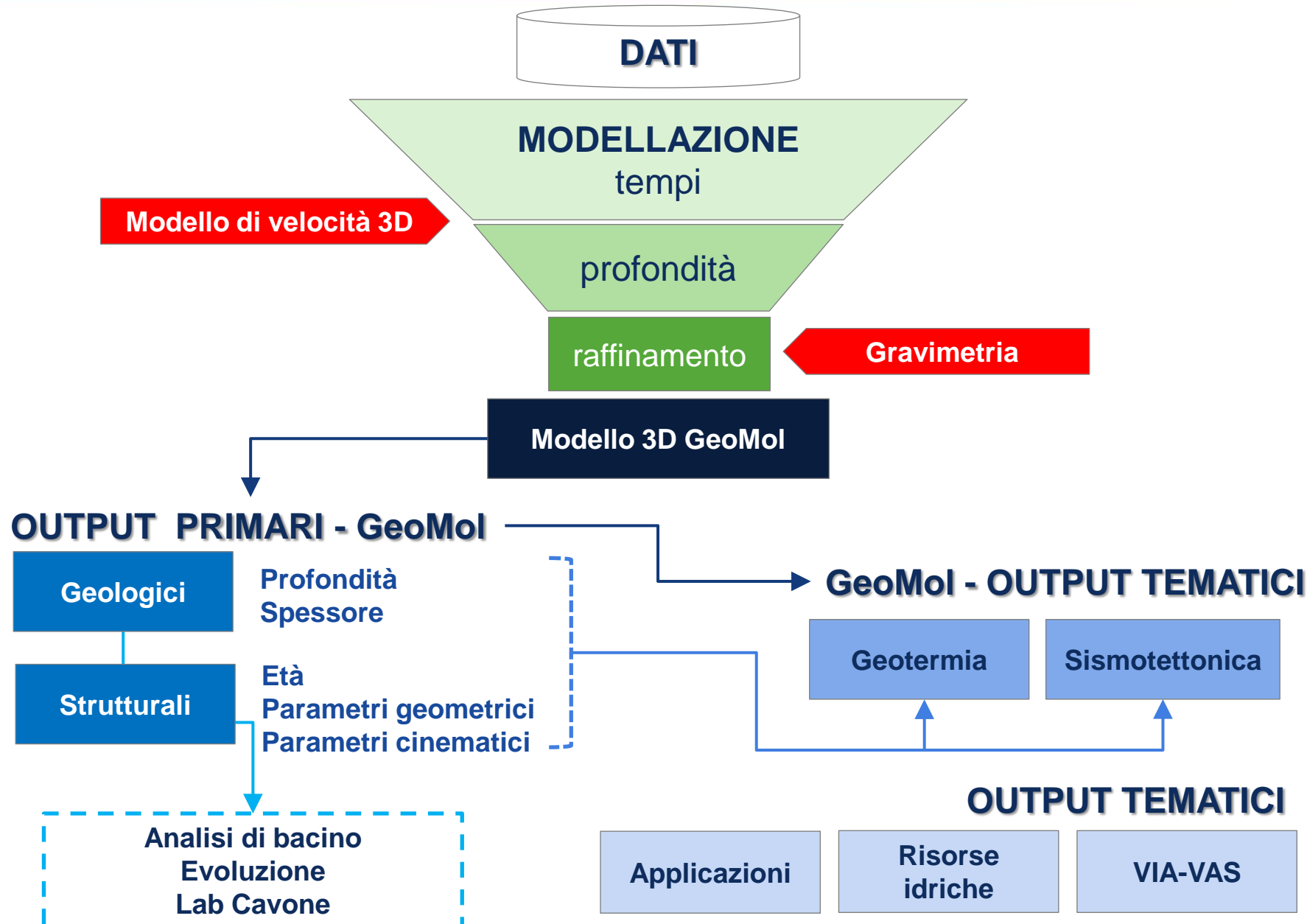


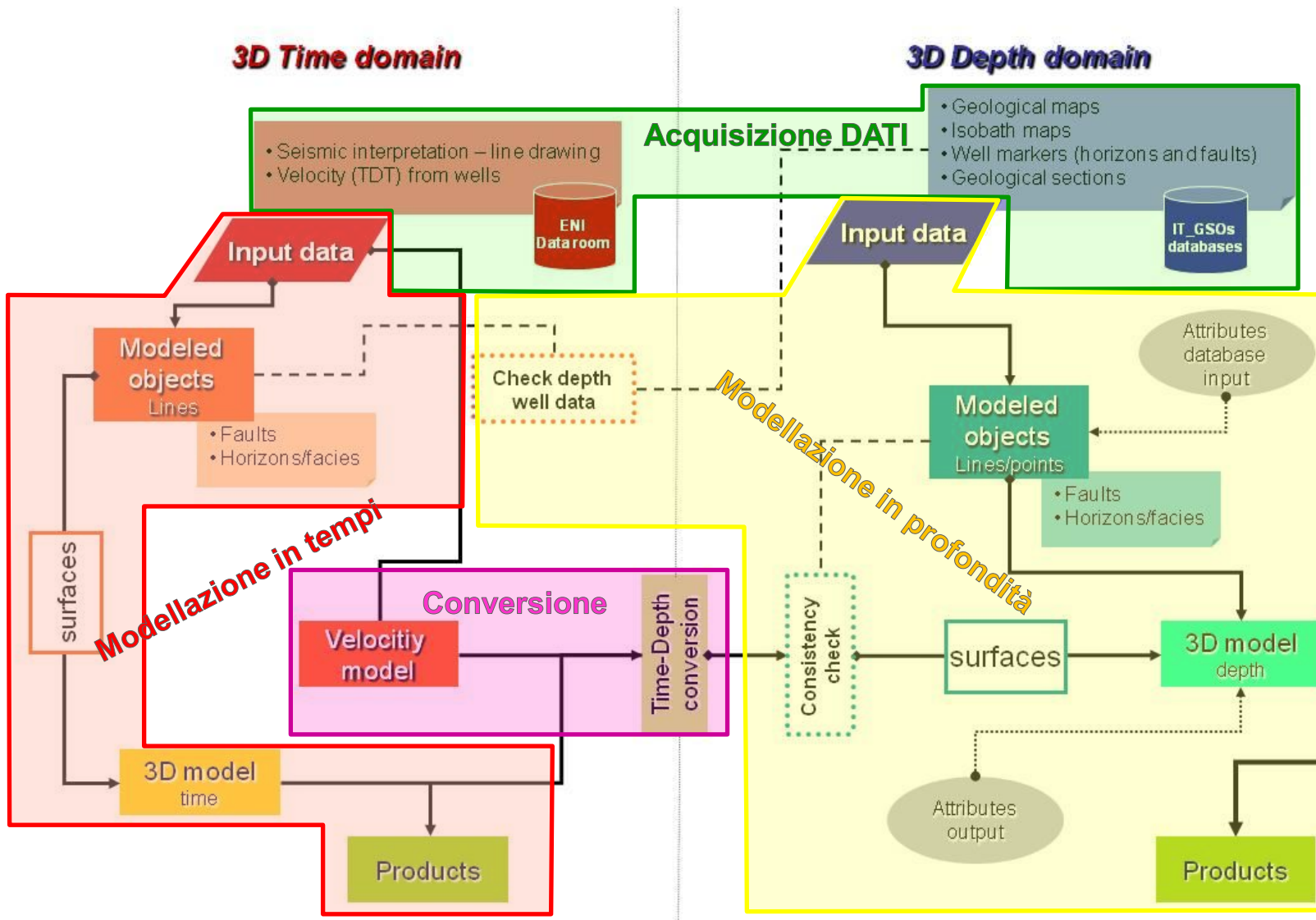


## OUTPUT PRIMARI - GeoMol





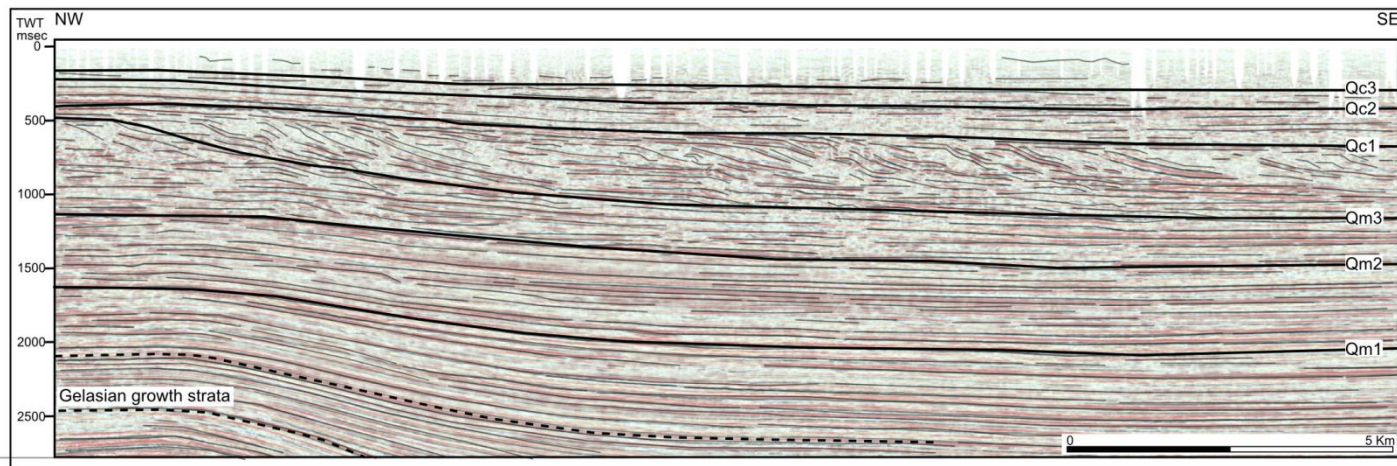




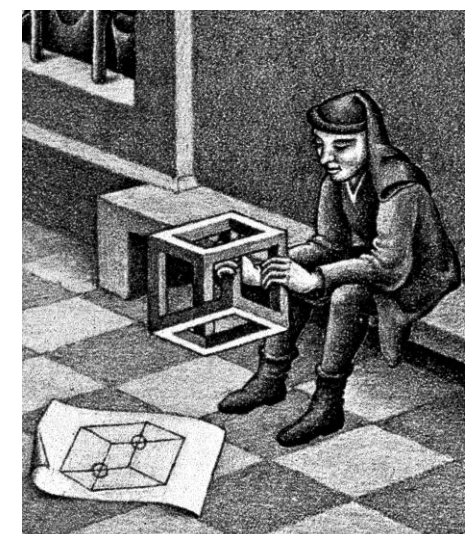
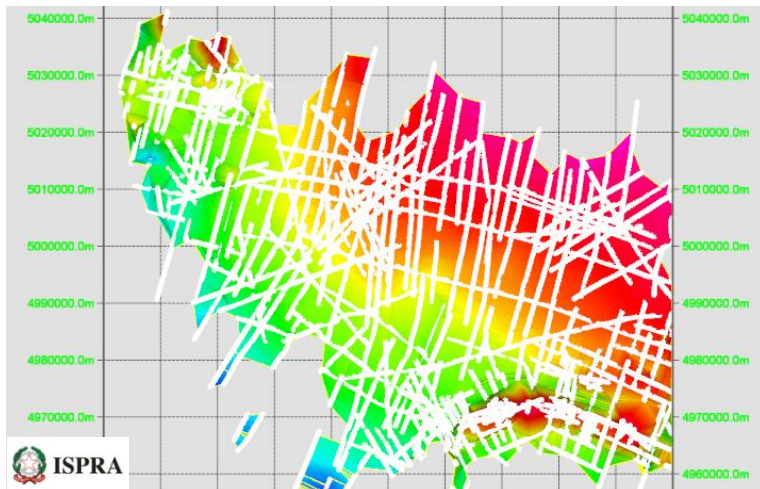
# La costruzione del modello 3D

Dall'interpretazione 2D al modello in tempi

TIME DOMAIN

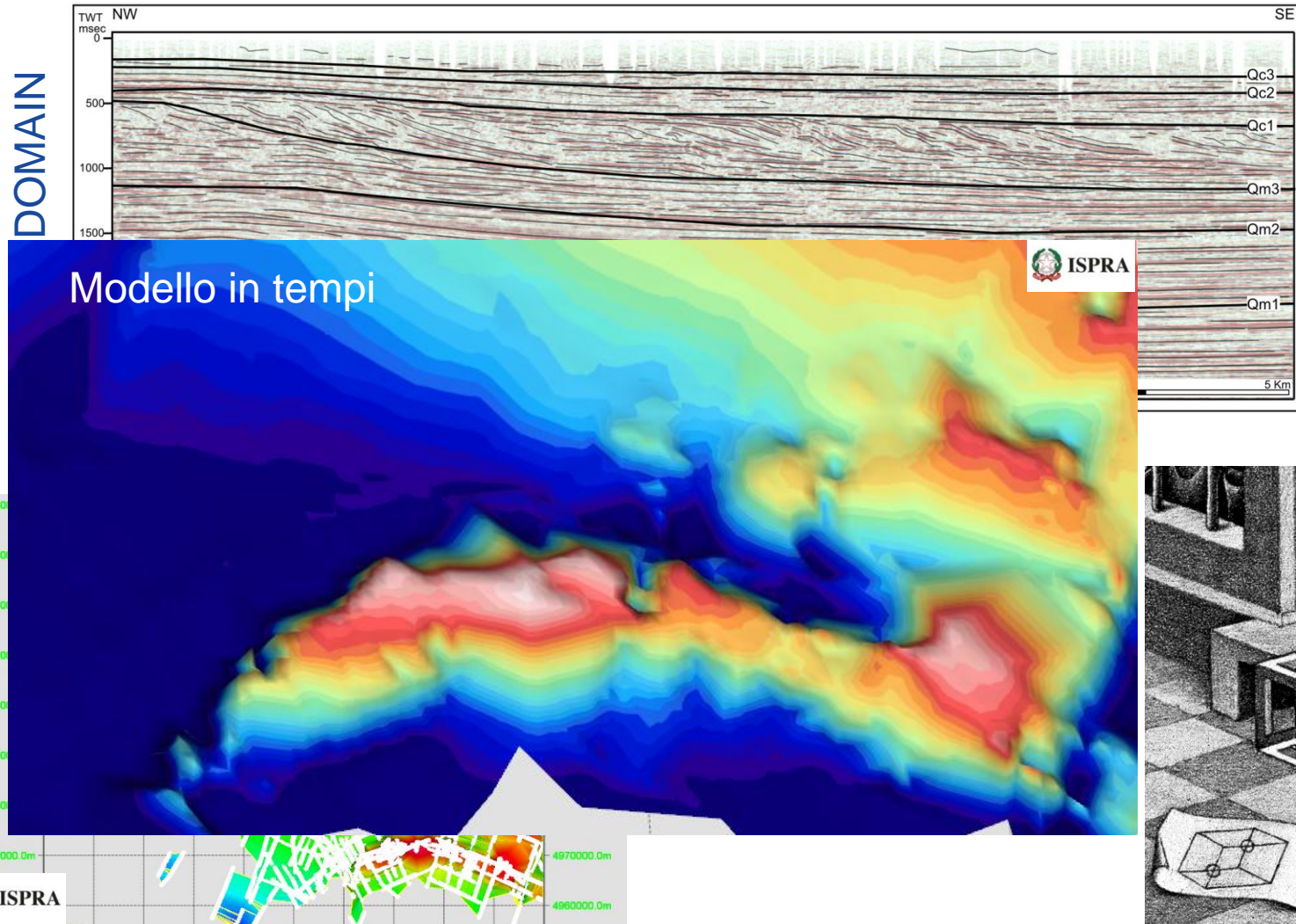


Orizzonti: 2.620.239 punti  
Faglie: 5369 punti



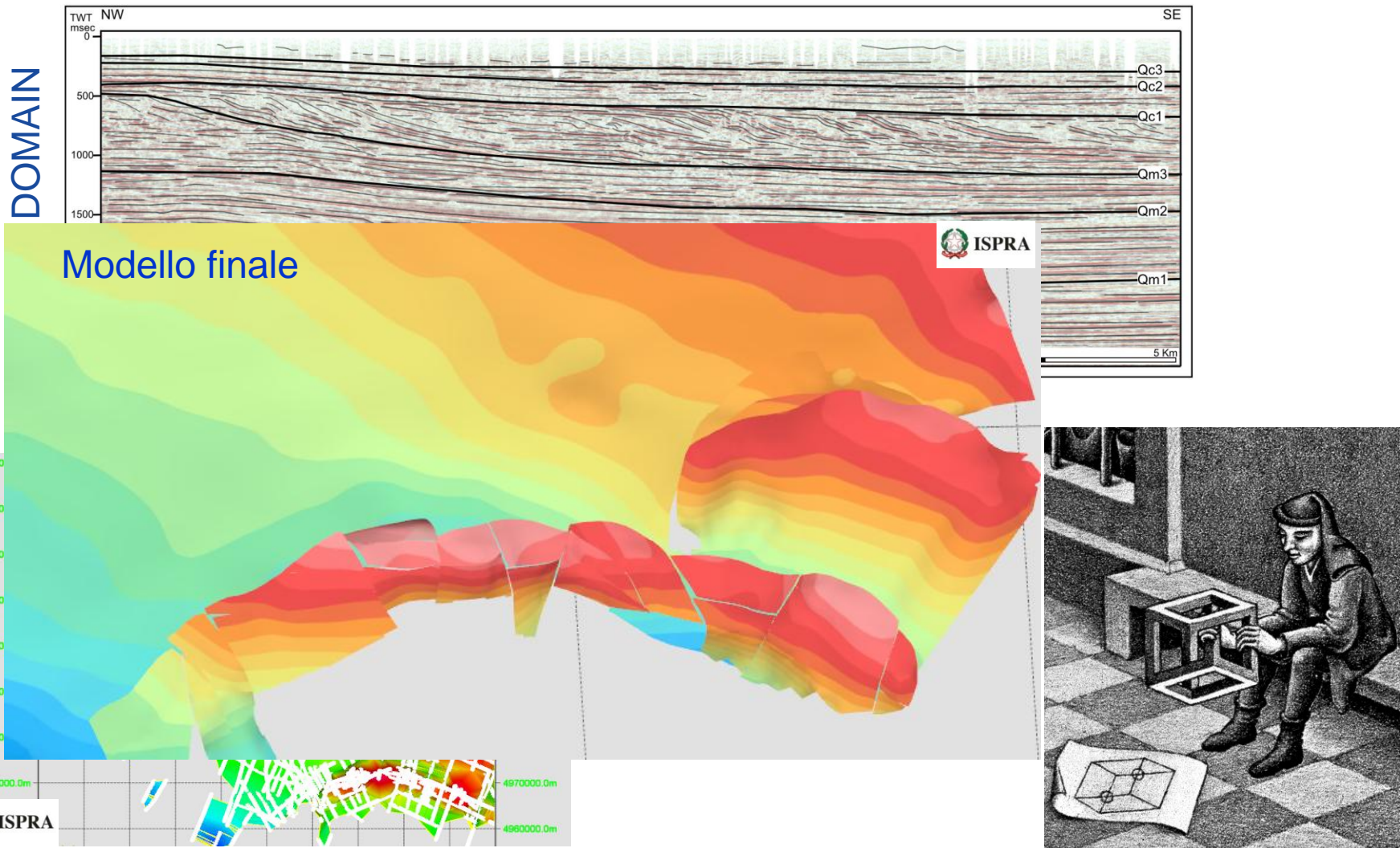
# La costruzione del modello 3D

Dall'interpretazione 2D al modello in tempi



# La costruzione del modello 3D

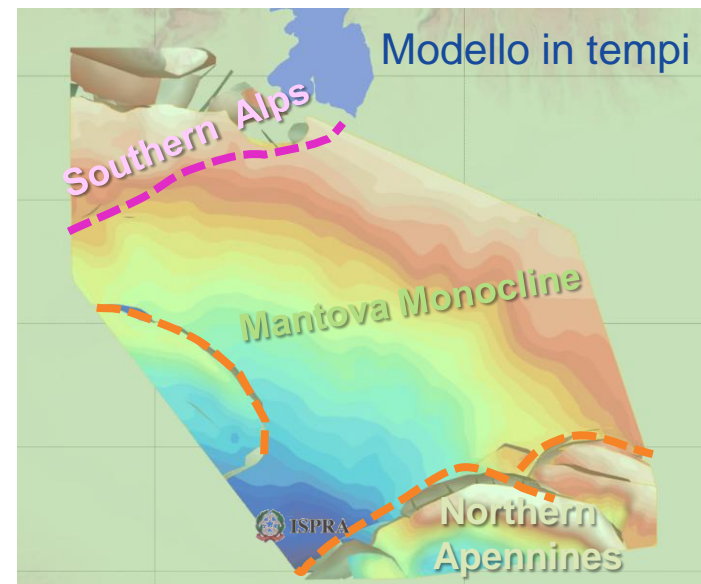
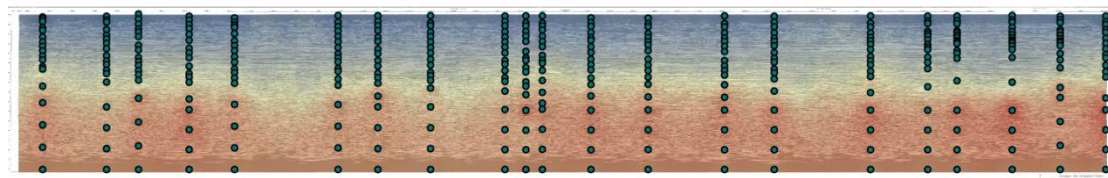
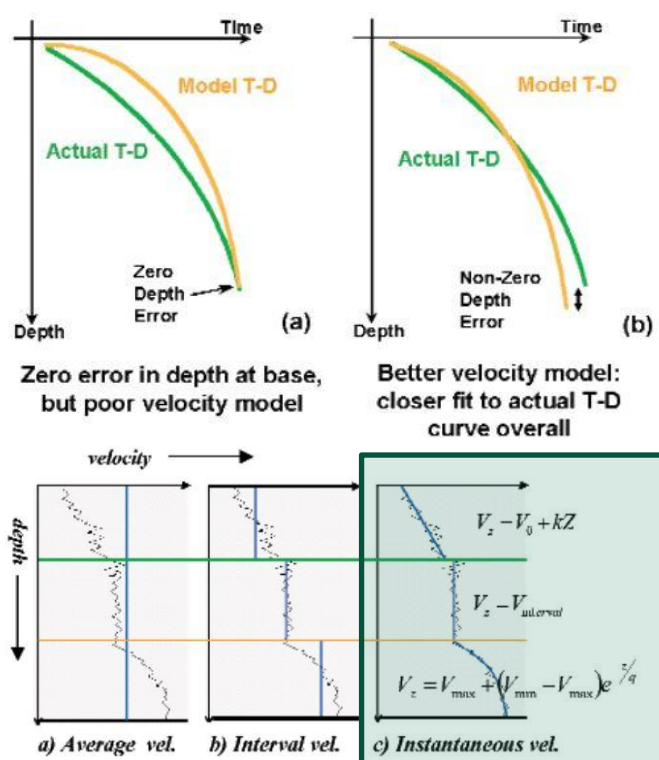
## Dall'interpretazione 2D al modello in tempi



# Il modello di velocità

## Dal modello in tempi al modello in profondità

## Conversione in profondità: problematiche e strategie

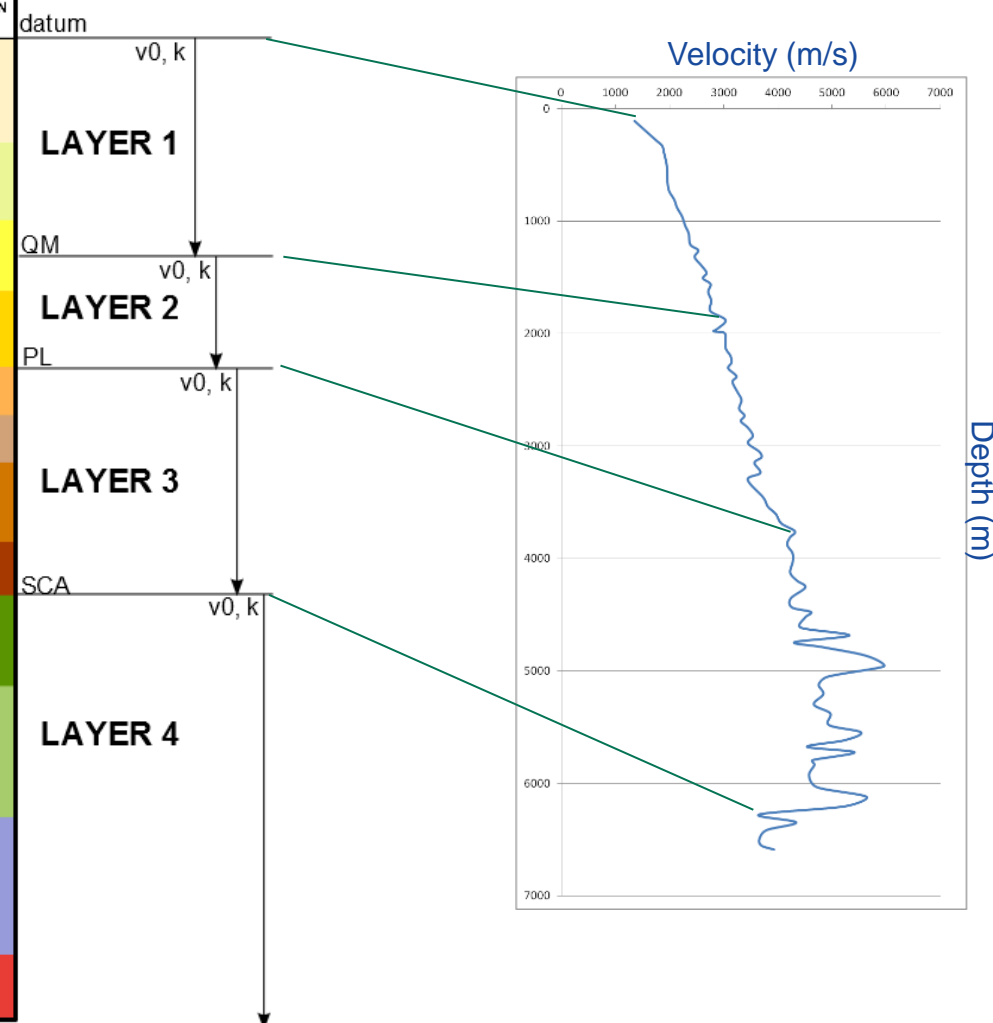


## Modello di velocità 3D

# Il modello di velocità

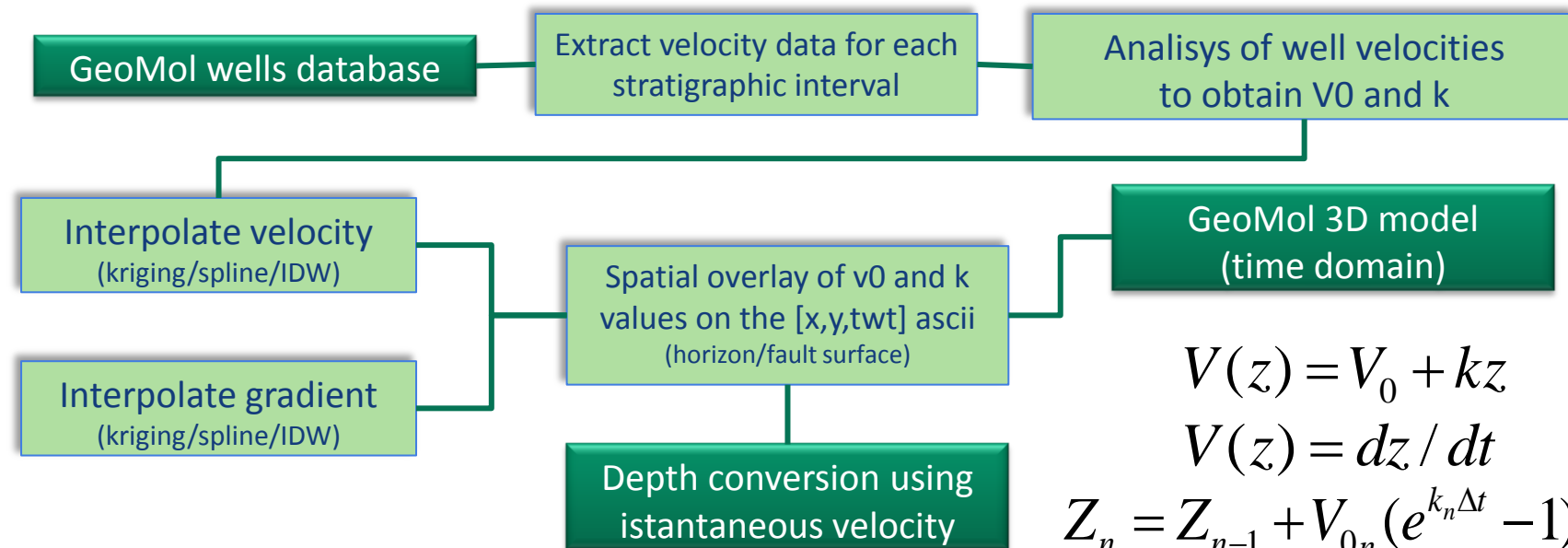
Dal modello in tempi al modello in profondità

	UNIT NAME	HORIZON NAME
Pleistocene	PLCc	QC3
	PLCb	QC2
	PLCa	QC1
	PLMd	QM3
	PLMc	QM2
	PLMb	QM1
	PLMa	GEL
Pliocene	PL	Porto Corsini Porto Garibaldi Argille Sant'erno
		PL
Upper Miocene	MESb	Sergnano Fusignano
	MESA	Cessoso-solfiera Marme di Gallare
Upper Miocene	MIO	Marme di Gallare
	EO-OL	Gonfolite Marme di Gallare Scaglia cinerea
Eocene		MLW
		SCA
Early Cretaceous	K-PAL	Scaglia marne del Cerro breccia di Cavrone Marme a fuocodi
		MAI
Middle Jurassic	J-K	Maiolica Calcare apicità Rosso ammonitico Calcare posidonia Oolite S. Vigilio
		NOR
Late Triassic	TR-J	Medolla Corna Calcare grigi Dolomia Principale
		TE
Permian-Carnian	P-TR	Anidriti di Burano



# La conversione in profondità

Dal modello in tempi al modello in profondità

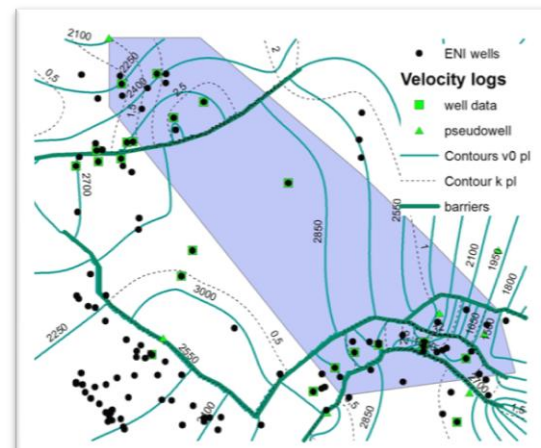
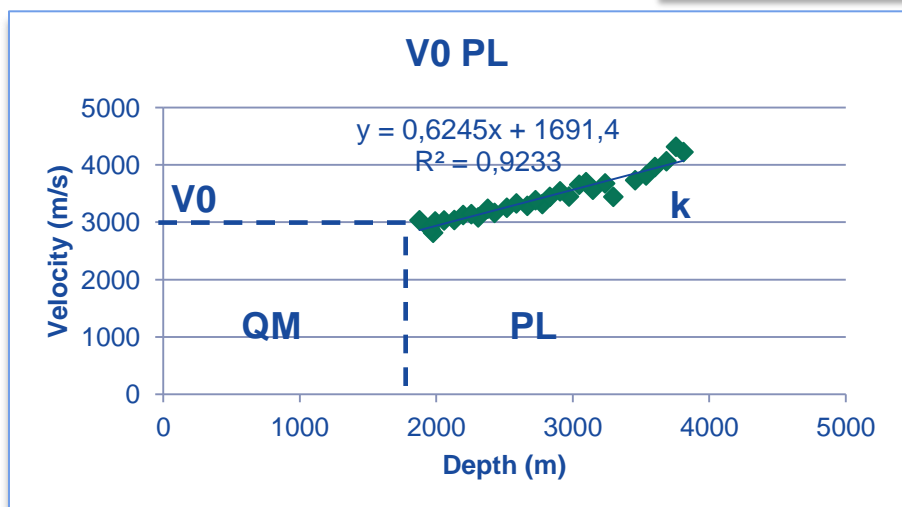


$$V(z) = V_0 + kz$$

$$V(z) = dz/dt$$

$$Z_n = Z_{n-1} + V_{0n} (e^{k_n \Delta t} - 1) / k$$

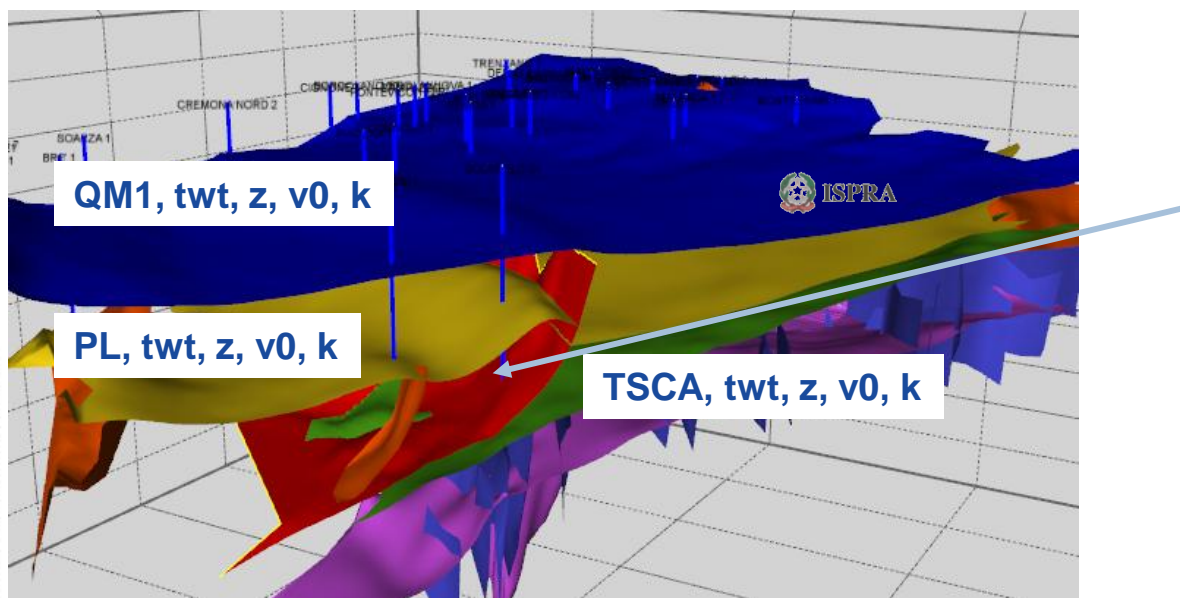
Marsden 1992



## La conversione in profondità

## Dal modello in tempi al modello in profondità

L'algoritmo di conversione in profondità è stato appositamente progettato nell'ambito di GeoMol per poter lavorare sia sugli orizzonti che sulle faglie all'interno di uno spazio 3D



Le faglie sono trattate come insiemi di punti inseriti all'interno del modello di velocità 3D

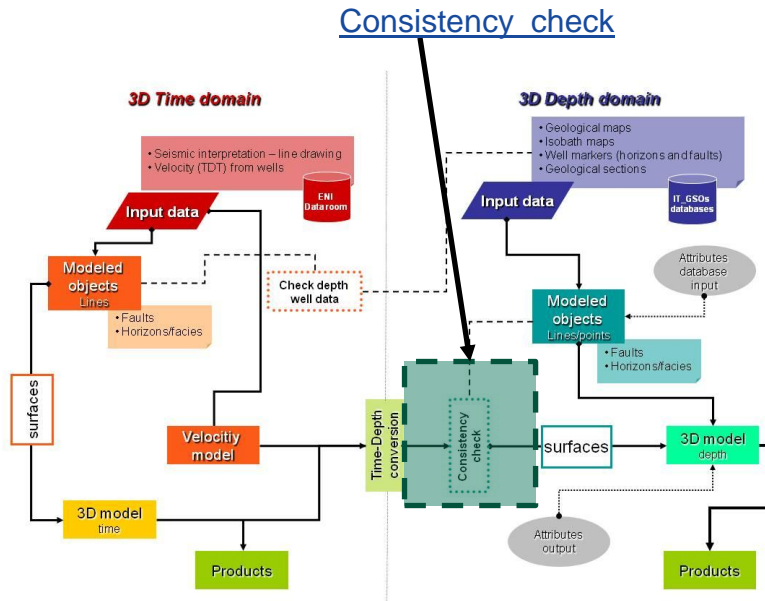
Dopo aver convertito gli orizzonti di riferimento del modello di velocità, i restanti orizzonti e le faglie sono trattati come punti a cui viene assegnato il valore di  $v_0$  e  $k$  in base alla loro posizione all'interno del modello di velocità

# Analisi di consistenza

Dal modello in tempi al modello in profondità



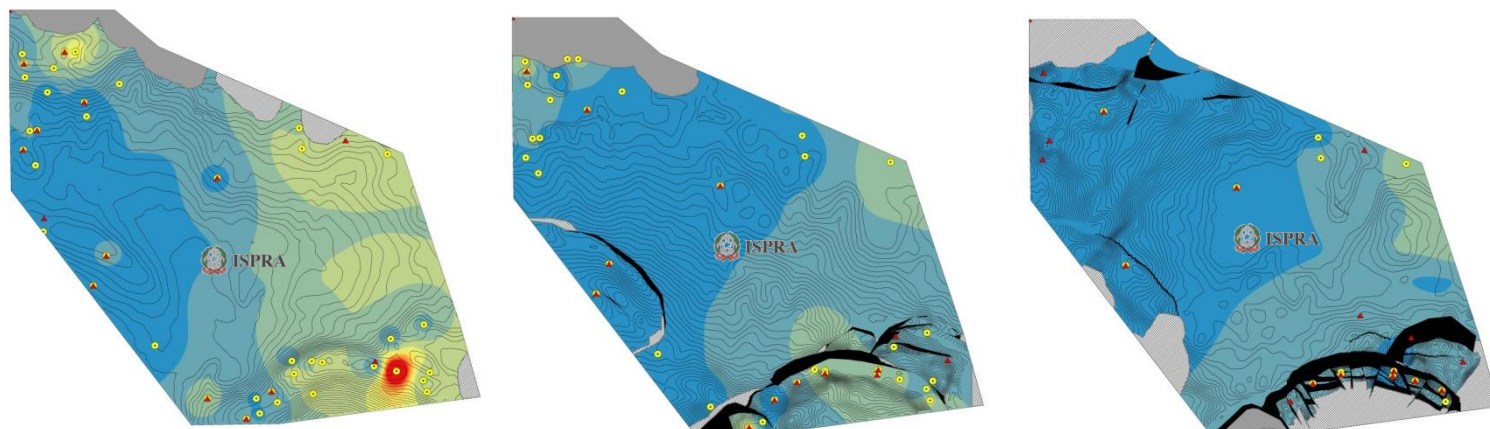
EGU General Assembly  
Vienna 12-17 Aprile 2015



Validazione con i punti di controllo e valutazione delle incertezze

Errore assoluto medio  
QM 130 m  
PL 150 m  
Top Scaglia 250 m

Mappe di incertezza dopo la depth conversion



# Analisi di consistenza

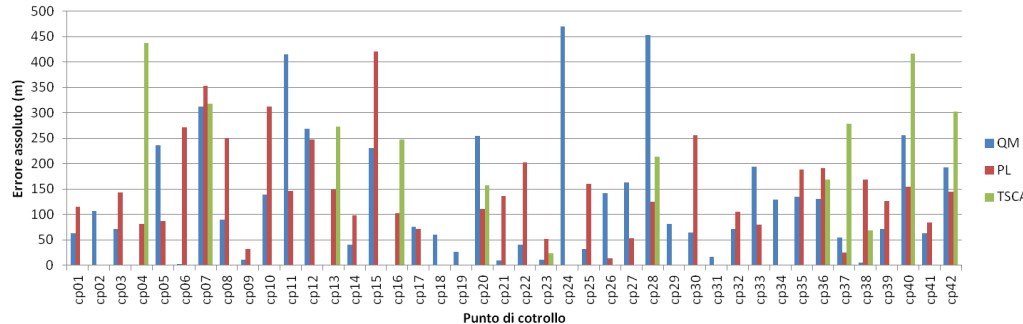
Dal modello in tempi al modello in profondità



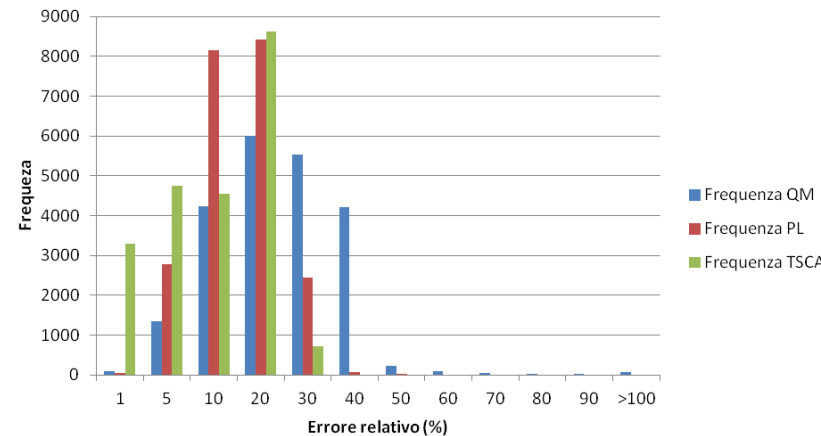
EGU General Assembly  
Vienna 12-17 Aprile 2015

Validazione con i punti di controllo e  
valutazione delle incertezze

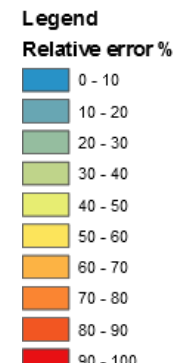
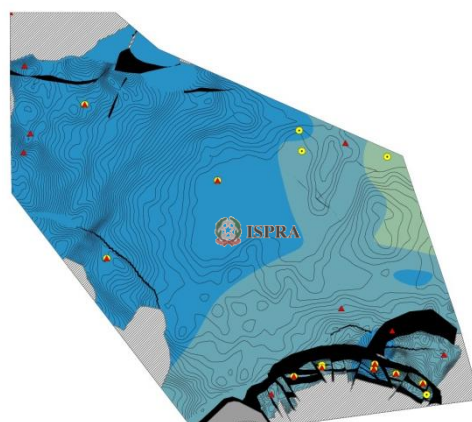
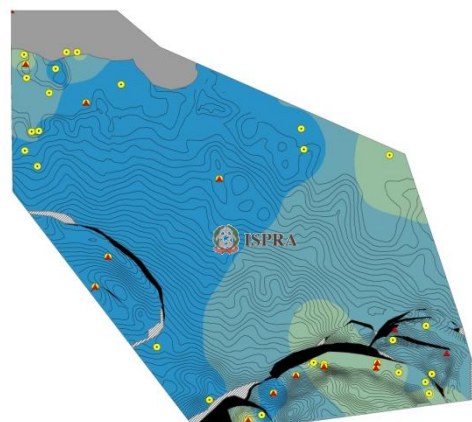
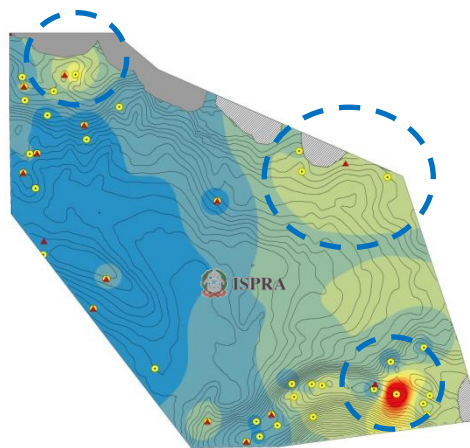
Modulo degli errori assoluti ai punti di controllo



Distribuzione degli errori relativi



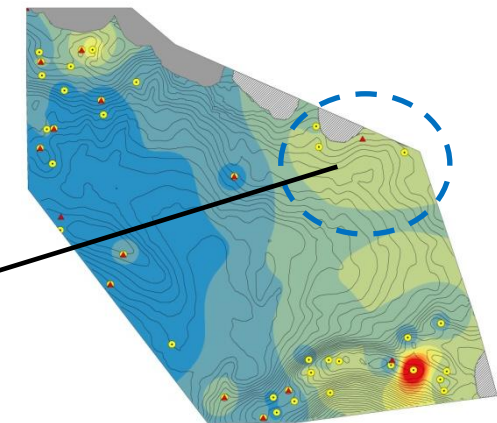
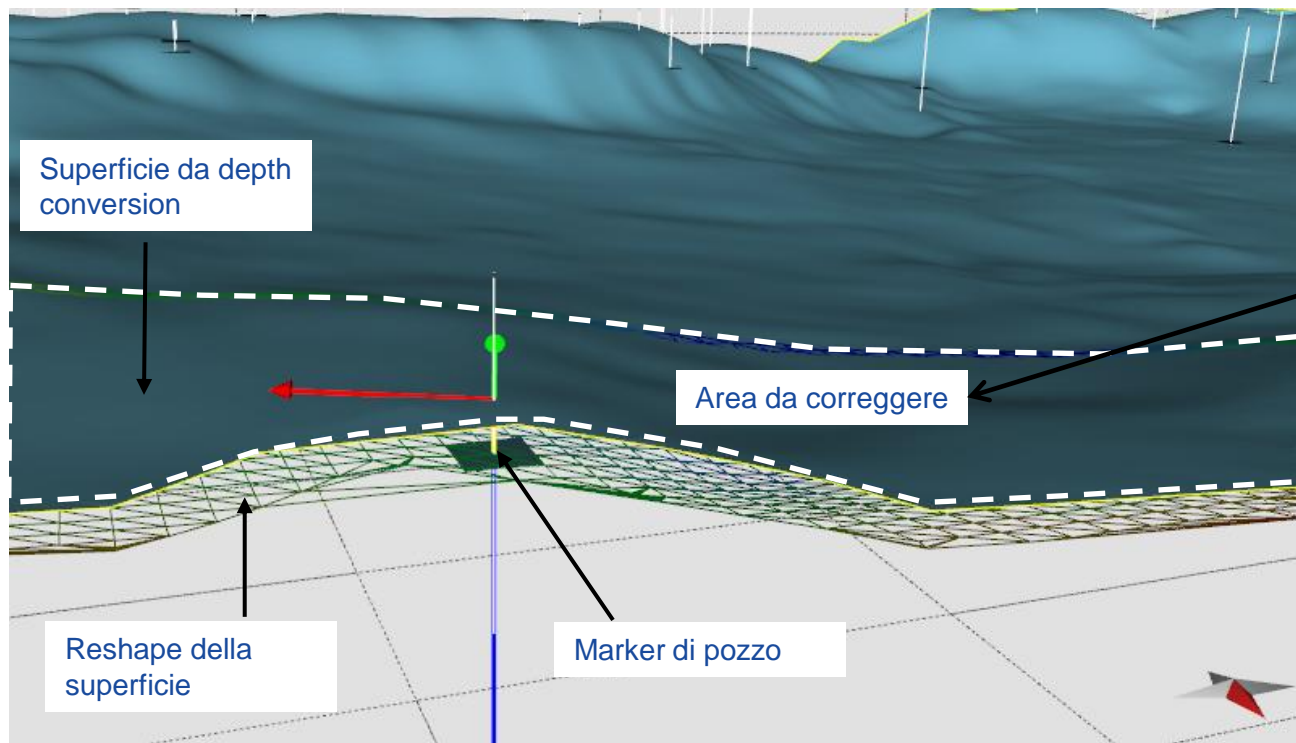
Mappe di incertezza dopo la depth conversion



# Raffinamento delle superfici

## Editing delle superfici in profondità

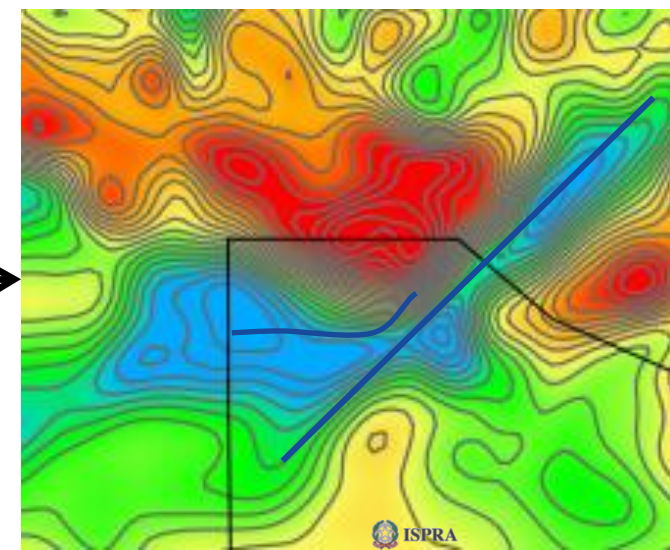
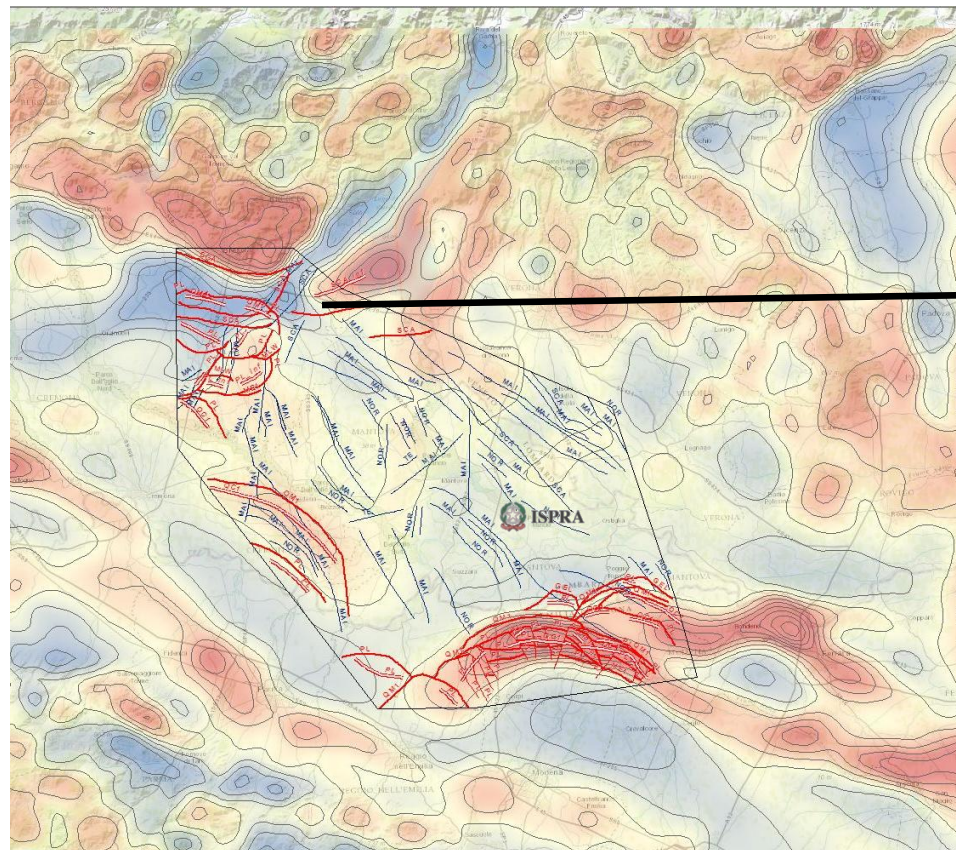
Correzione delle anomalie dovute alla non omogenea distribuzione  
dei dati di velocità



## Raffinamento delle superfici

Interpretazione strutturale integrata con elaborazioni indipendenti

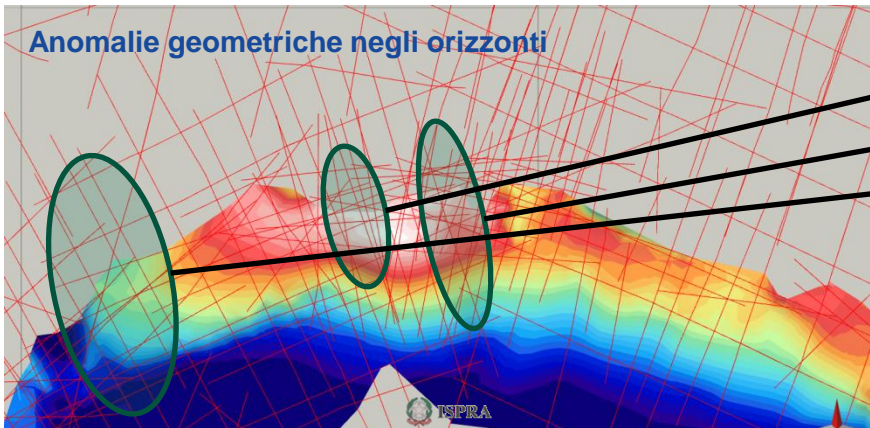
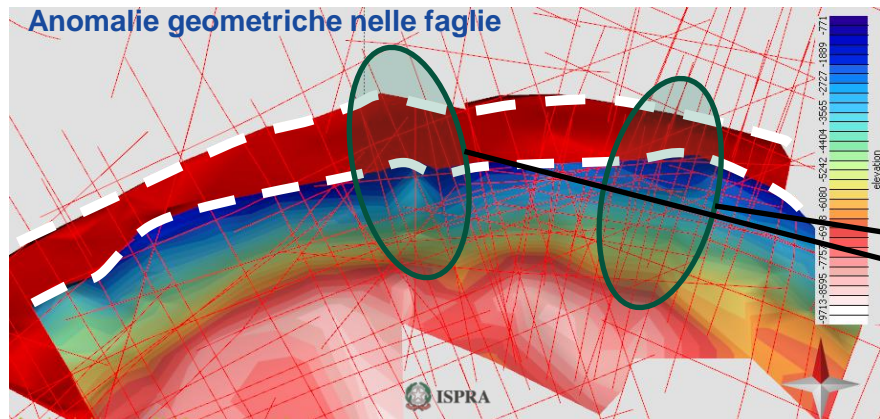
Filtraggio ed analisi delle anomalie gravimetriche



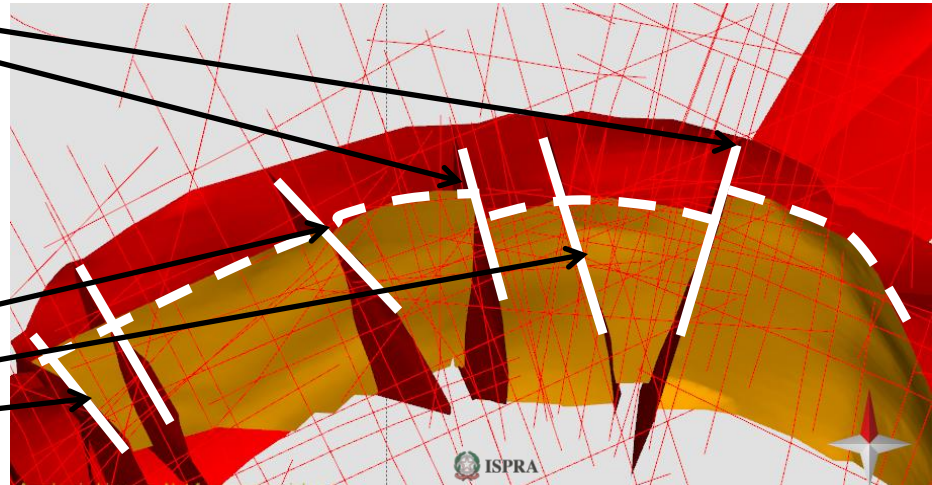
Supporto della gravimetria per  
l'interpretazione di aree  
problematiche

# Raffinamento delle superfici

## Editing delle faglie



## Segmentazione degli elementi strutturali



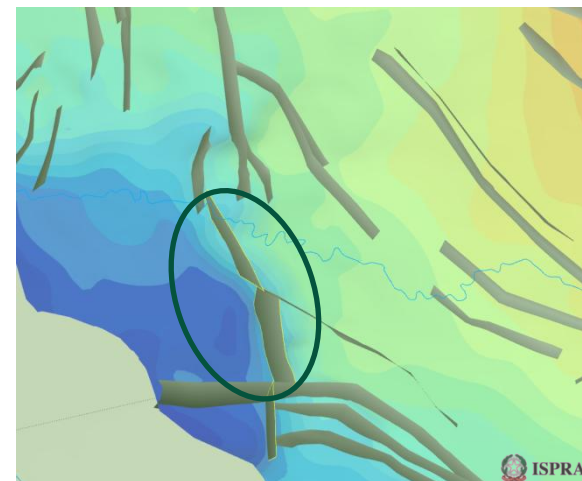
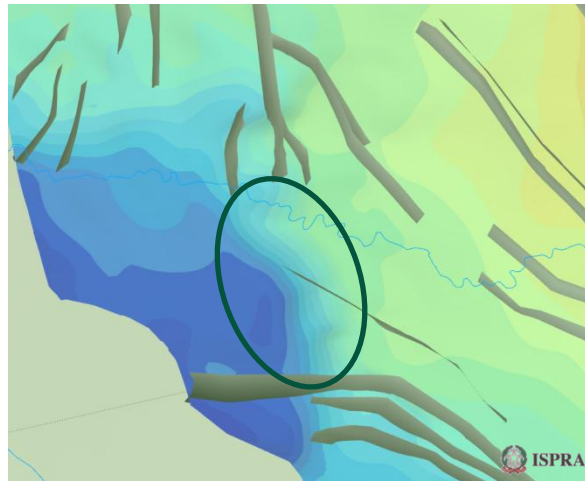
# Raffinamento delle superfici

## Editing delle faglie

La definizione della continuità laterale dipende dalla spaziatura delle linee sismiche e dalla loro orientazione prevalente.

L'errata correlazione è facilmente identificata una volta costruito il modello 3D preliminare.

L'uso dei modelli 3D permette di identificare discontinuità anche in aree con carenza di dati.



## Il modello 3D

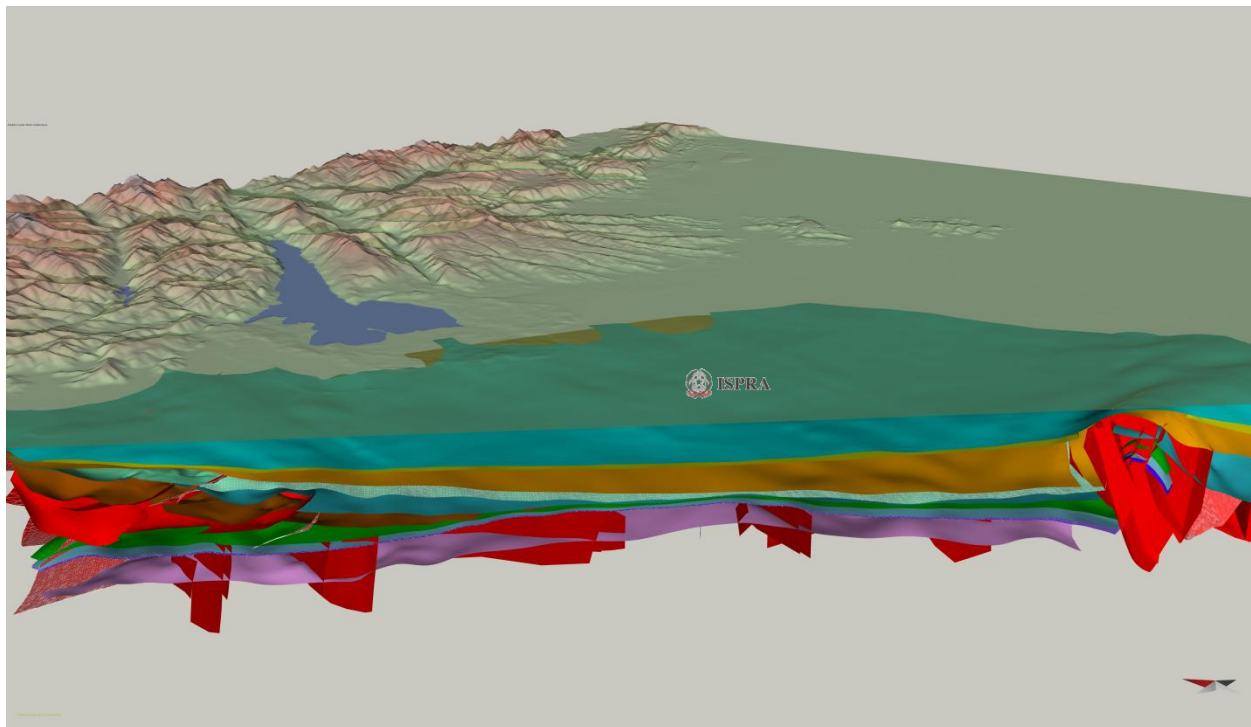
### Caratteristiche

Orizzonti modellati: 15

Con dettaglio nel Pleistocene: 7 orizzonti dal Gelasiano al Pleistocene medio

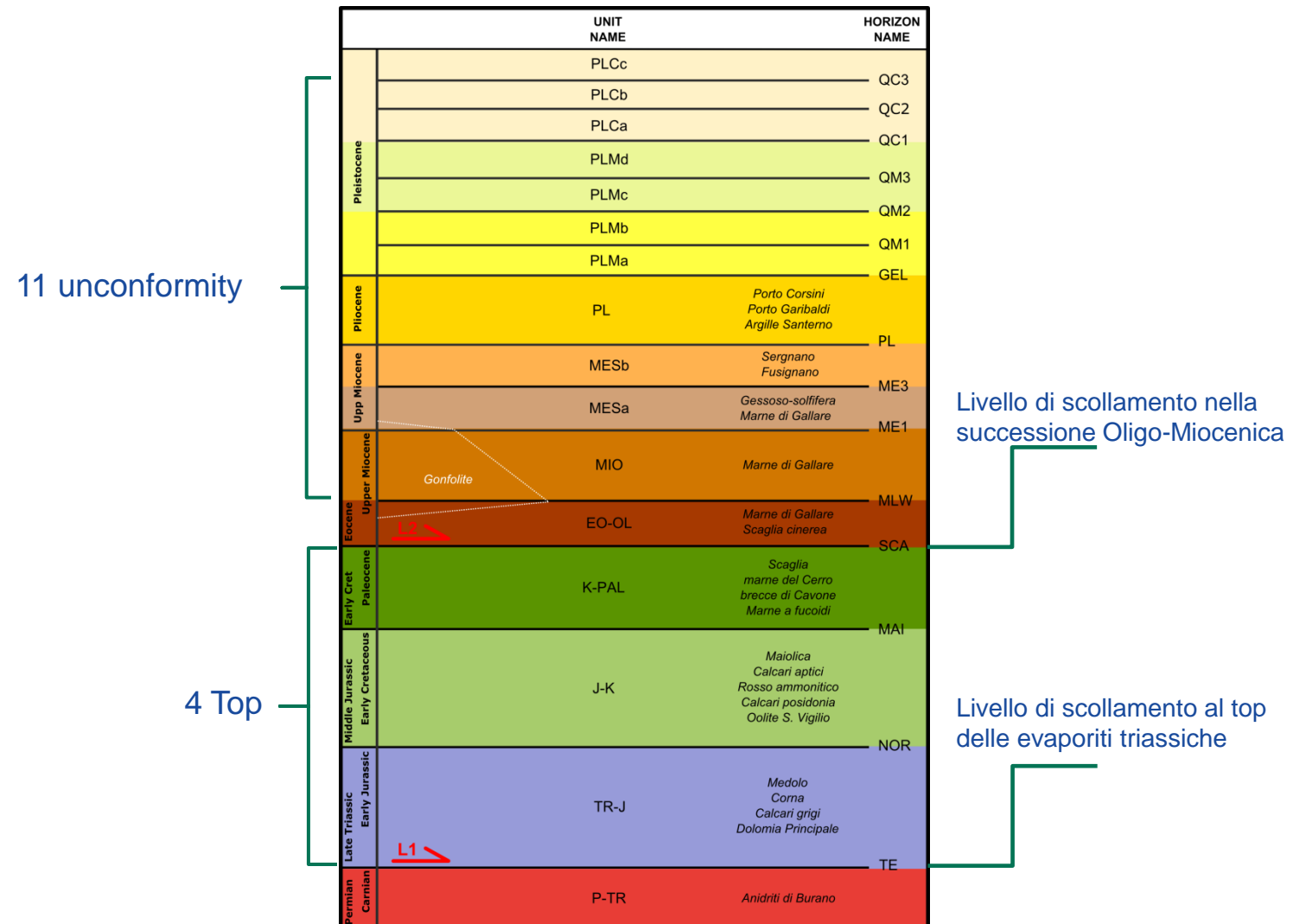
Faglie modellate: 132

Risoluzione orizzontale: 500x500 m

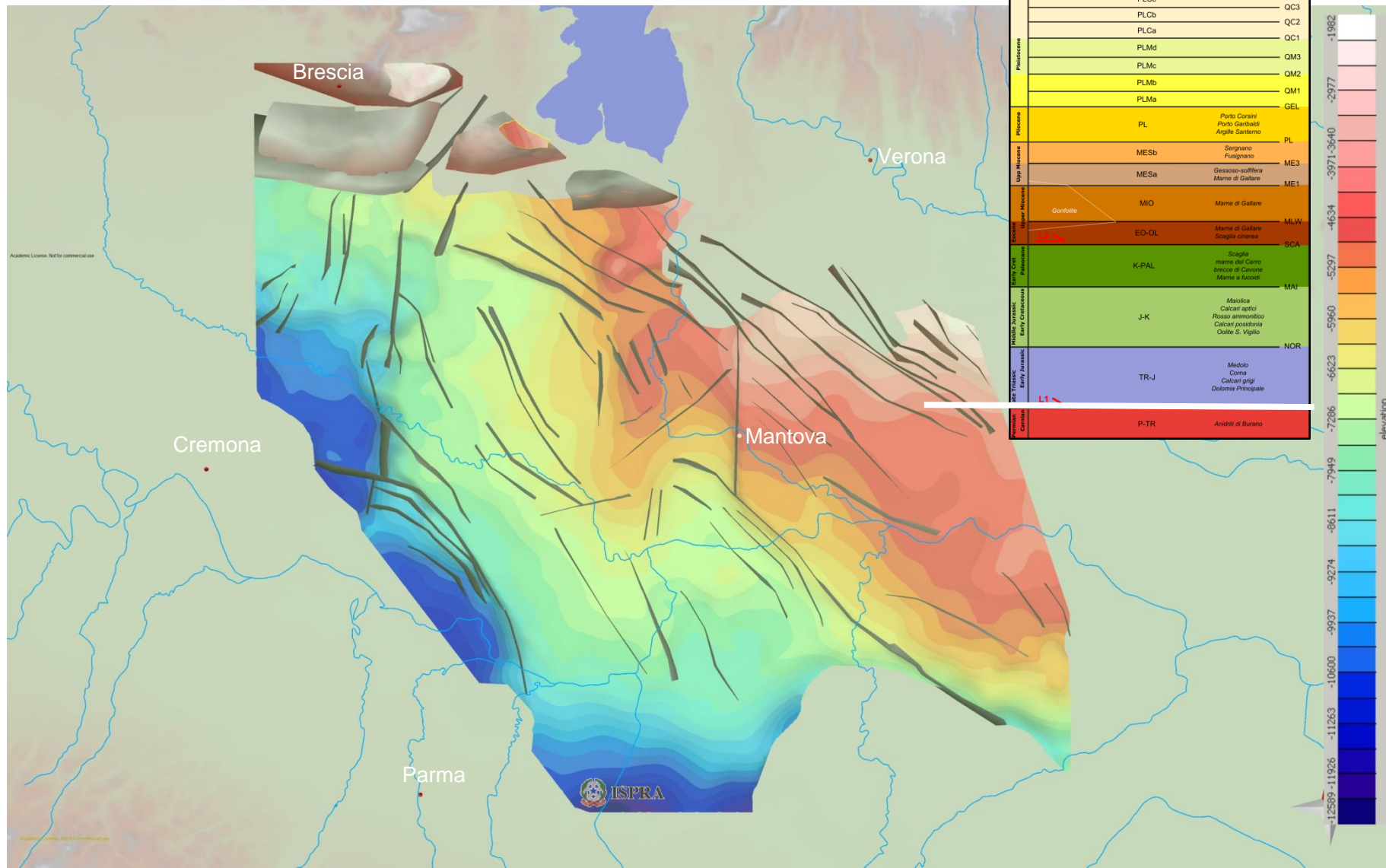


## Il modello 3D

### Schema Stratigrafico

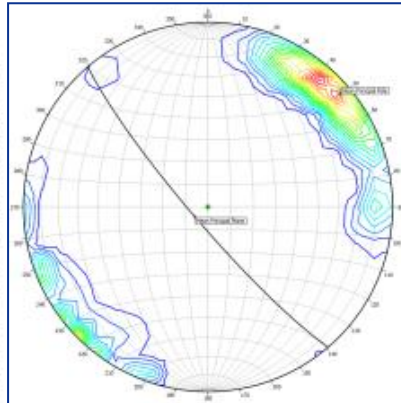
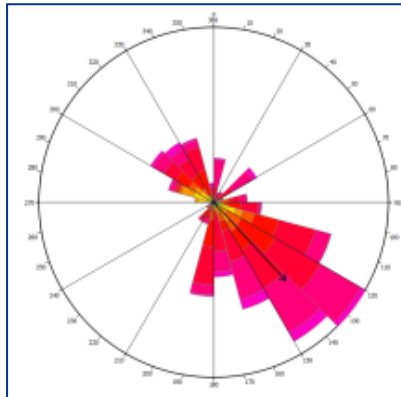


# Top Evaporiti Triassiche

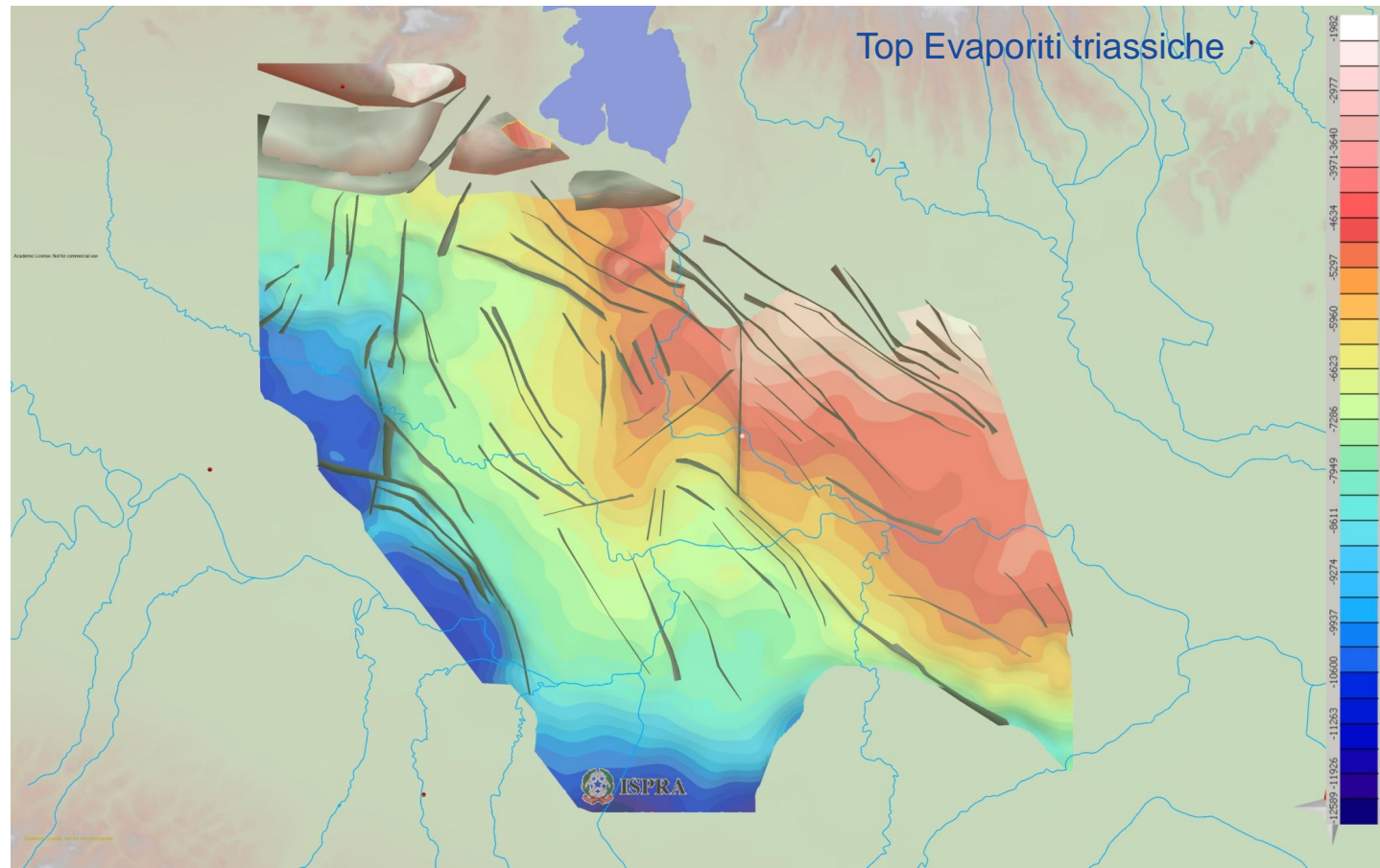


## Analisi strutturale: faglie dirette mesozoiche

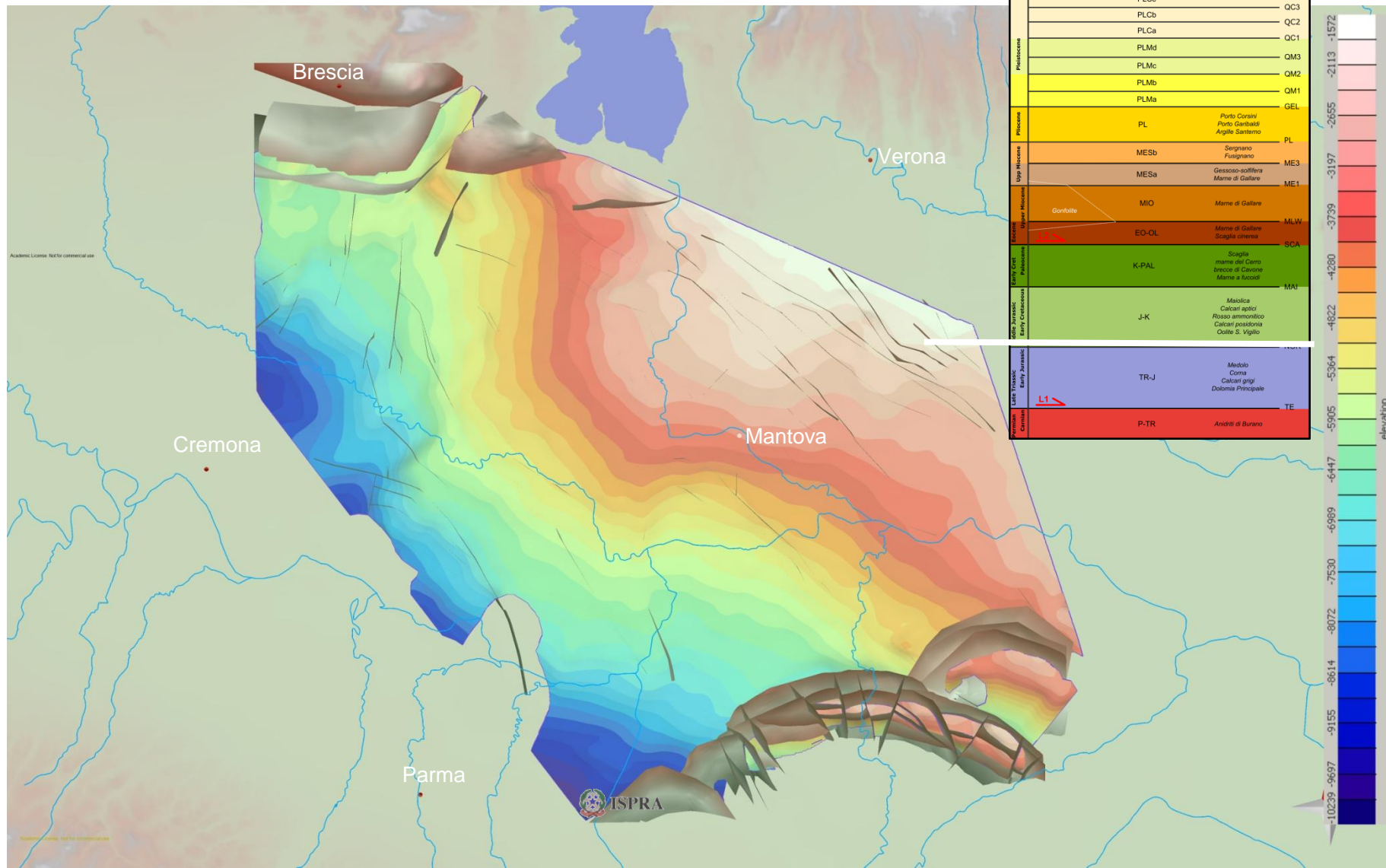
### Faglie dirette



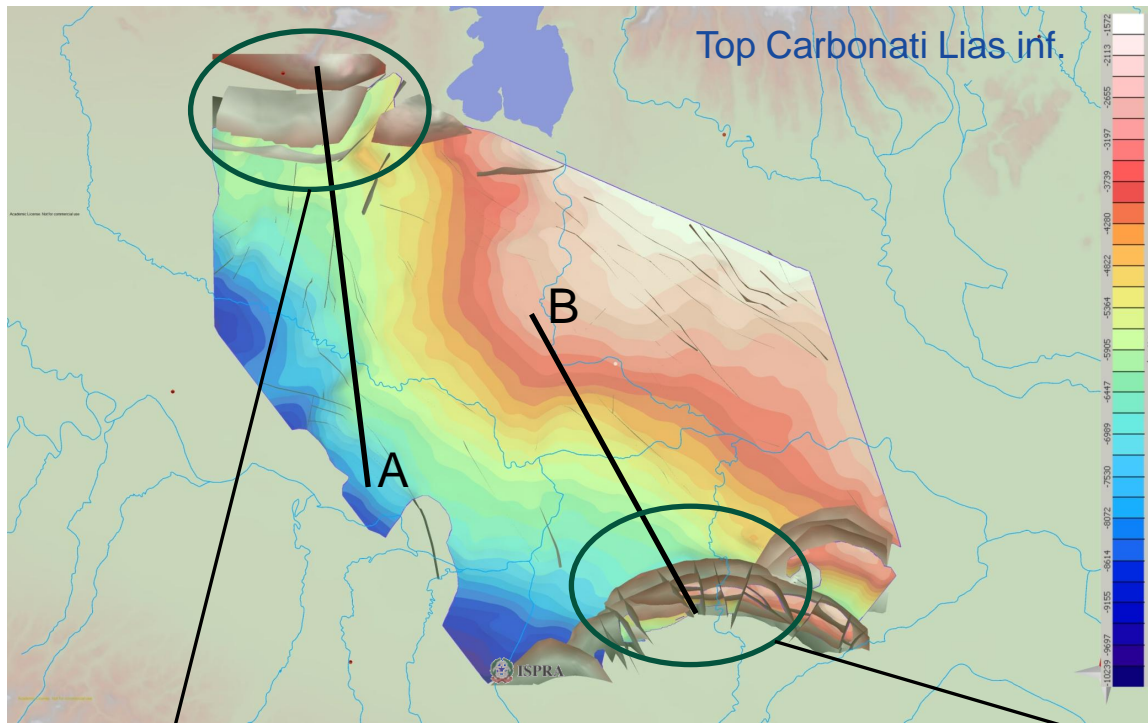
Output verso analisi sismotettonica



## Top Carbonati Lias inf.

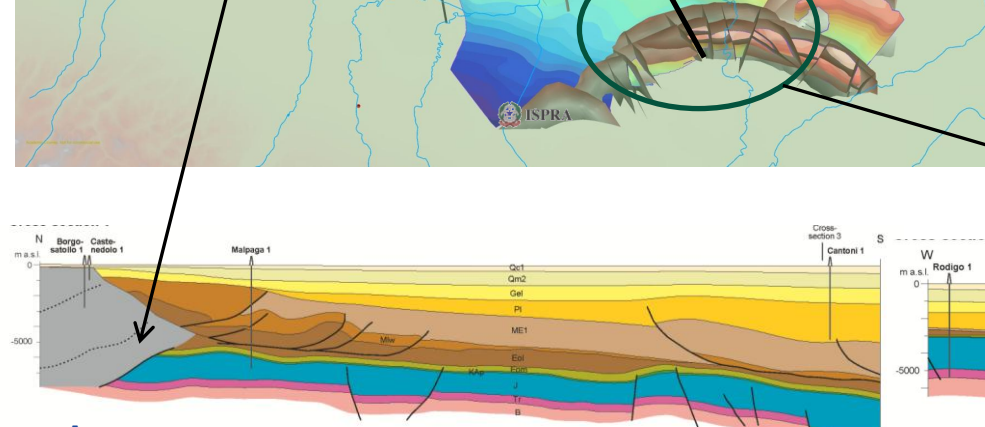


## Strutturepressive: livello di scollamento profondo



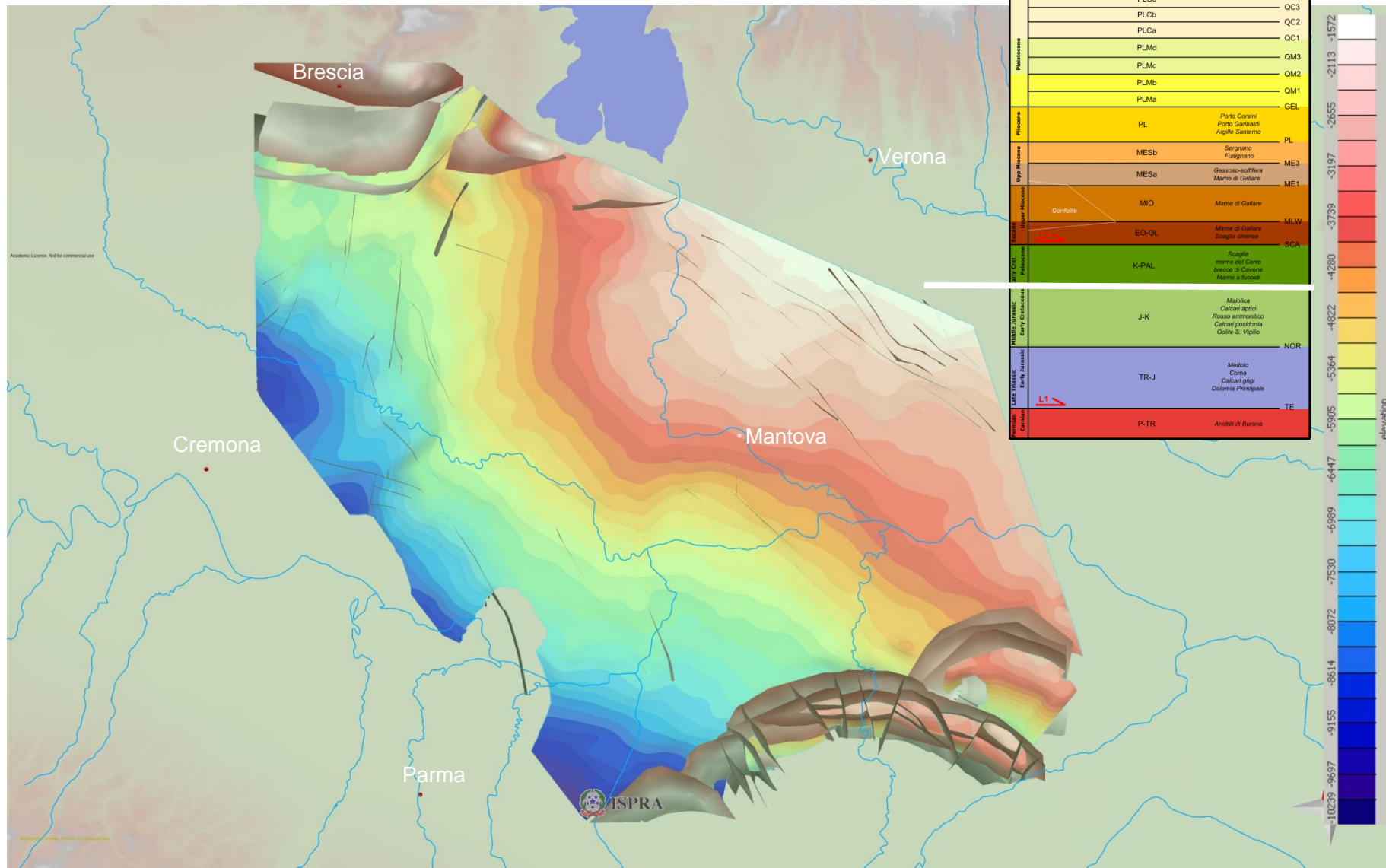
UNIT	NAME	HORIZON
PLCc	QC3	
PLCb	QC2	
PLCa	QC1	
PLMd	QM3	
PLMc	QM2	
PLMb	QM1	
PLMa	GEL	
PL	Porto Corsini Porto Garibaldi Argille Sartorio	PL
MESb	Serrano Fusignano	ME3
MESA	Gessoso-solfirina Marne di Gallare	ME1
Gonfolite	Marme di Gallare	MLW
EO-OL	Marme di Gallare Scaglia concreta	SCA
K-PAL	Scaglia marme del Cervo Bresca e Cervone Marme a fucosili	MAI
J-K	Mesolina Calcare apicit Rosso ammonitico Calcare postoraria Corte S. Vigilio	NOR
TR-J	Medolo Coma Calcare grigi Dolomia Principale	
P-TR	Anidriti di Burano	

L1

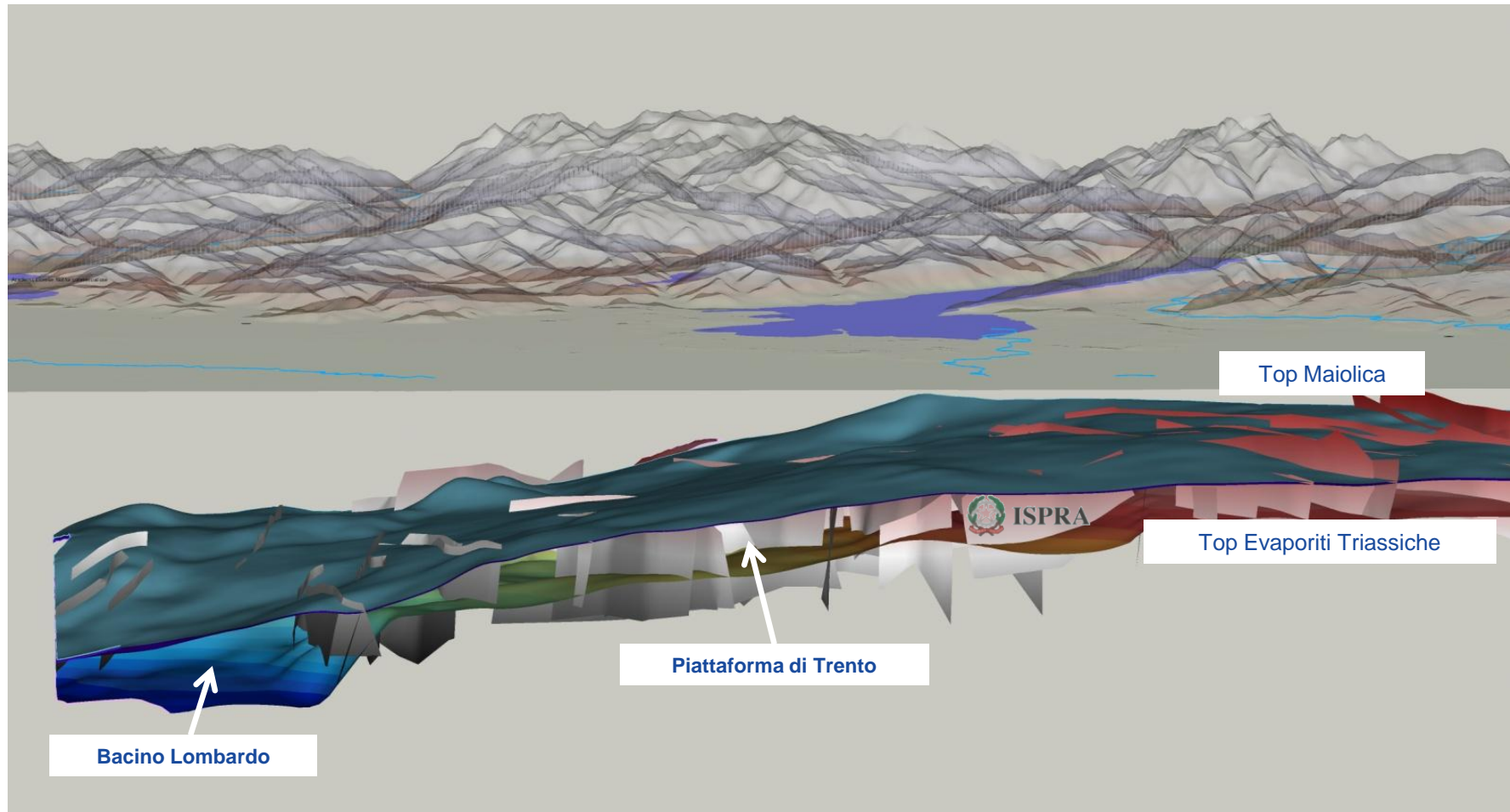


I thrust che coinvolgono i carbonati hanno caratteristiche diverse: thick skinned (taglia le evaporiti triassiche) nella catena Sud Alpina e thin skinned (scolla al tetto delle evaporiti triassiche) nel fronte esterno dell'Appennino Settentrionale.

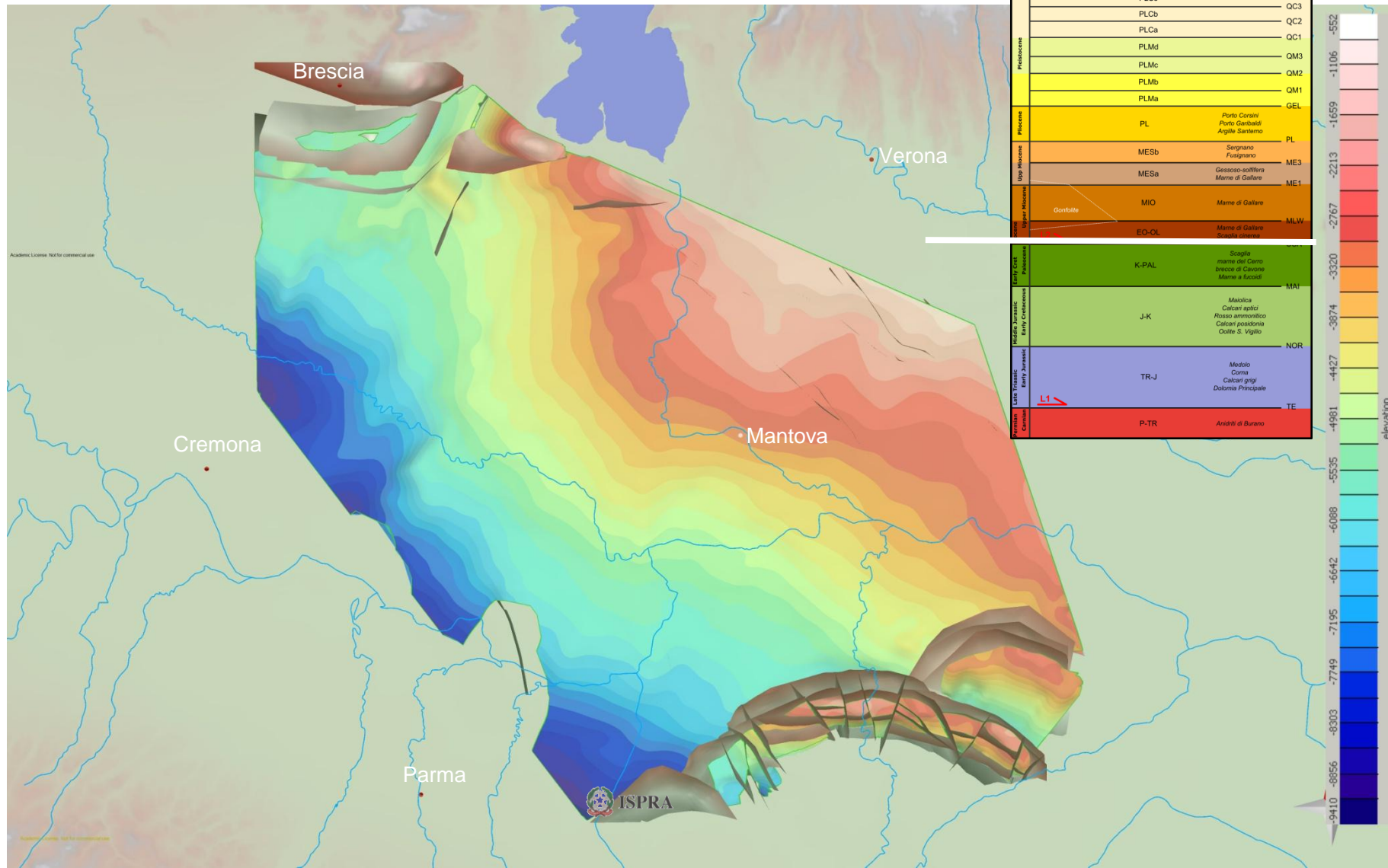
## Top Maiolica (Cretaceo inferiore)



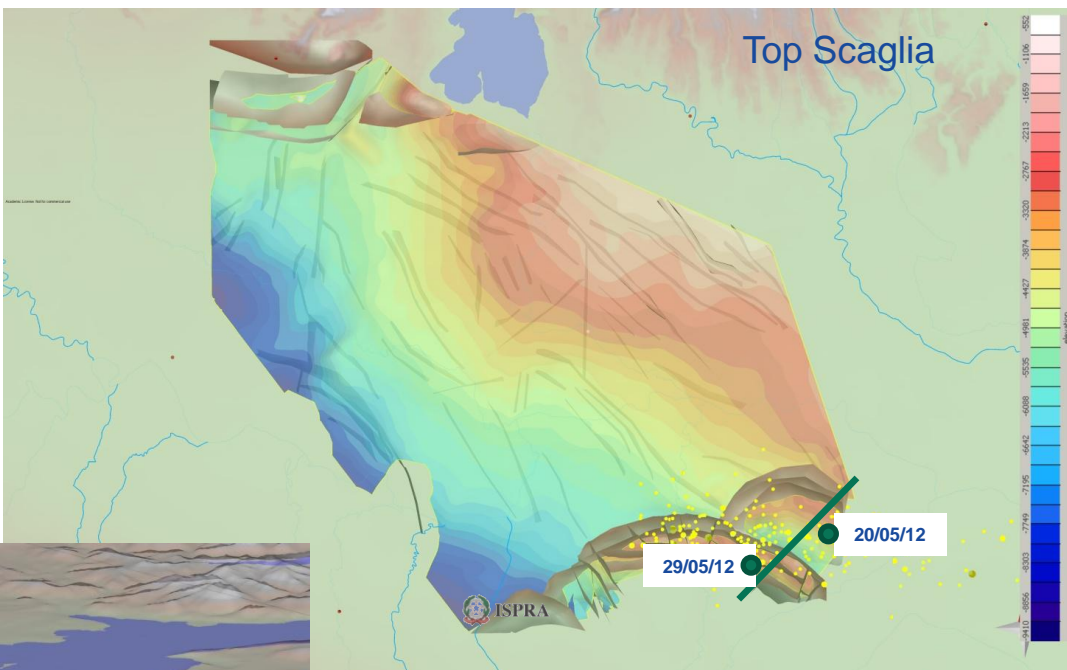
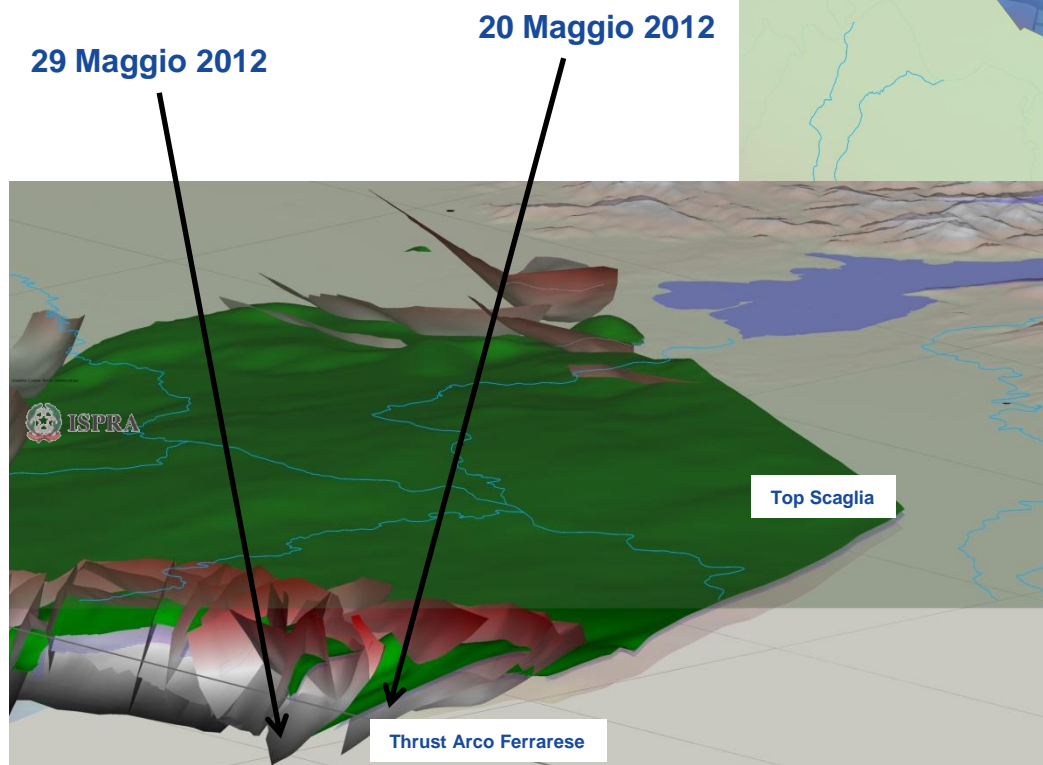
## Paleogeografia: transizione piattaforma-bacino



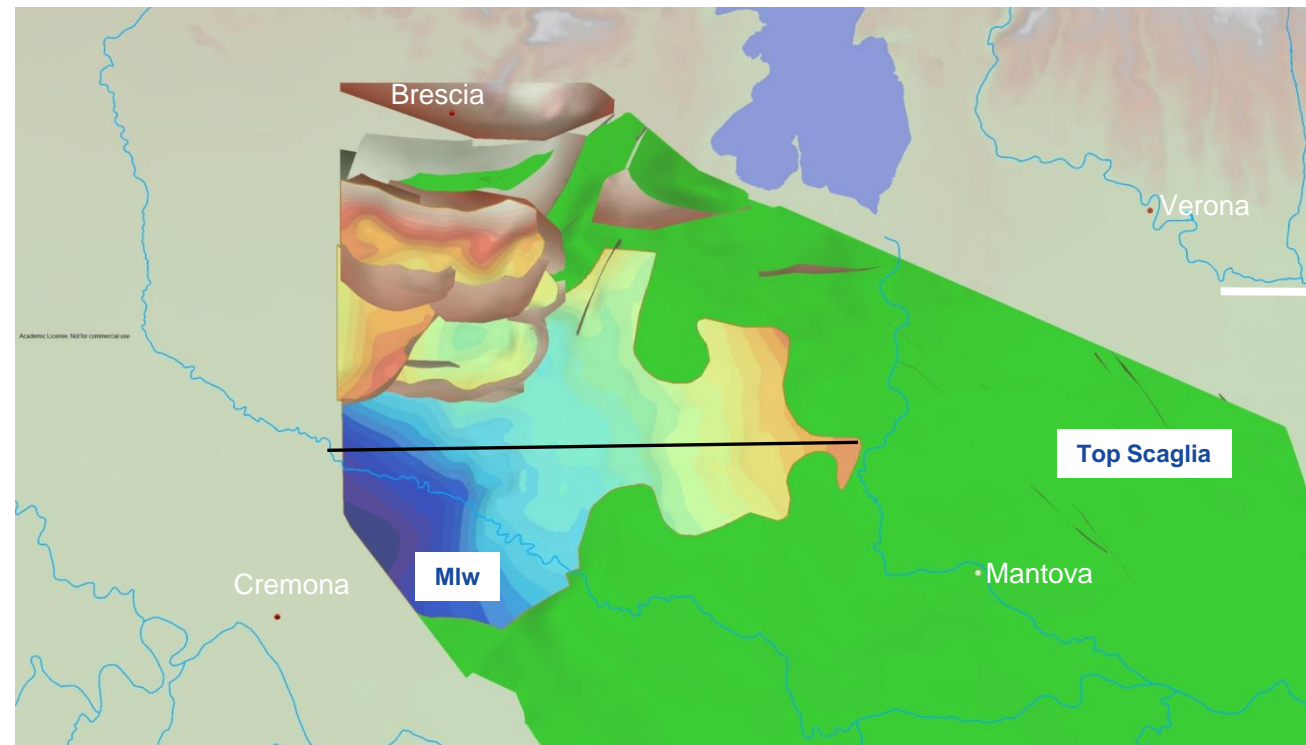
## Top Scaglia



# Caratterizzazione 3D delle strutture interessate dalla sequenza sismica del 2012



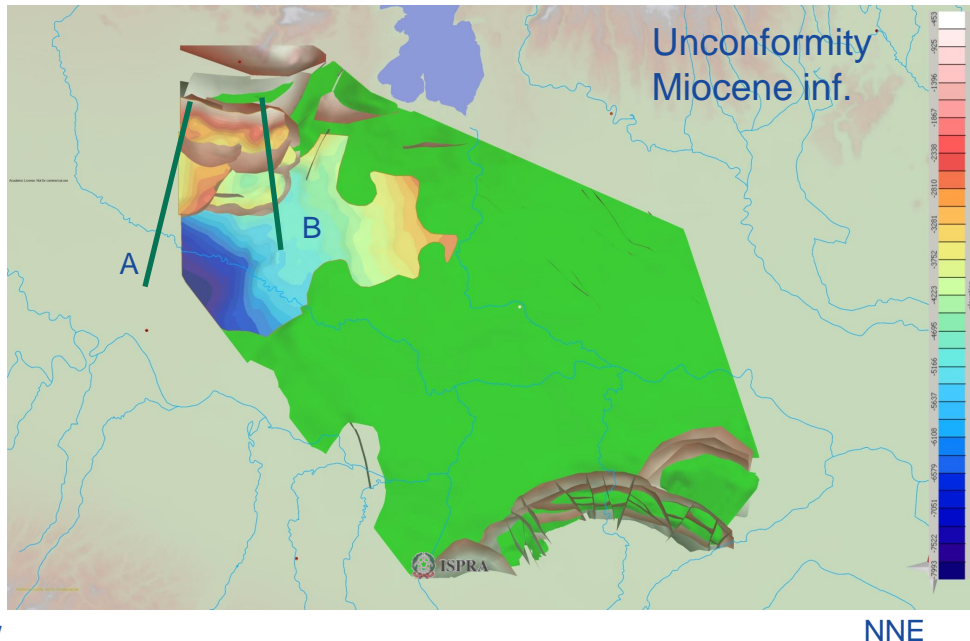
## Unconformity Miocene inferiore



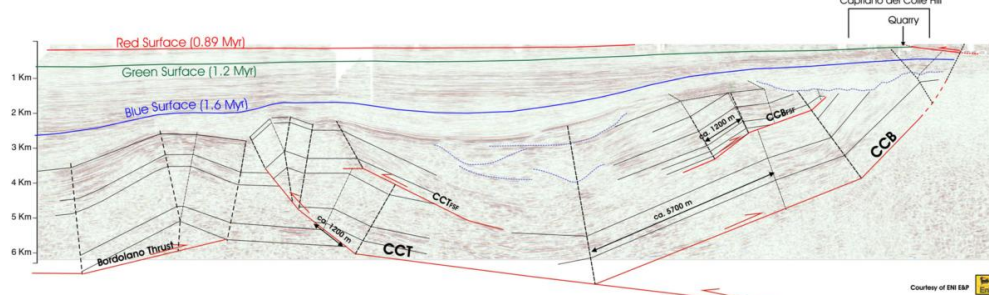
UNIT NAME	HORIZON NAME
PLCc	QC3
PLCb	QC2
PLCa	QC1
PLMd	QM3
PLMc	QM2
PLMb	QM1
PLMa	GEL
PL	Porto Consoli Porto Garibaldi Argille Sant'emo
MESb	Serrano Fusignano
MESa	Gesso-solfiera Marna di Gallare
	ME1
Gonfolite	MIO
	Marna di Gallare
EO-OL	Marna di Gallare Scaglia cimerata
K-PAL	SCA
	Marna marna del Cerro briciole di Cavone Marna a facioli
J-K	MAI
	Mediterranea Calcari apicli Rosso ammonitico Calcari padiglioni Colli S. Vigilio
TR-J	NOR
	Medio Corna Calcari grigi Dolomia Principale
P-TR	TE
	Andritti di Burano



## Livello di scollamento superficiale nell'avanfossa Sudalpina



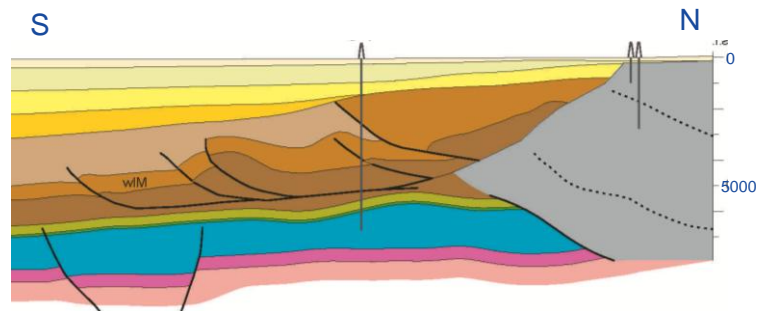
S



Output verso analisi sismotettonica

UNIT NAME	HORIZON NAME
PLCc	QC3
PLCb	QC2
PLCa	QC1
PLMd	QM3
PLMc	QM2
PLMb	QM1
PLMa	GEL
PL	Porto Corsini Porto Garibaldi Argille Santonio
MESb	Sergnano Fusignano
MESA	Gessoso-solfiera Marne di Gallare
MIO	Marne di Gallare
EO-OL	Marne di Gallare Scoglio cinerea
K-PAL	Scoglio marne del Corvo brecce di Cavone Marne a fucoidi
J-K	Masolia Gres affiorante Russo arenitico Calcare postoriano Colle S. Vigilio
TR-J	Medolo Coma Calcare grigi Dolomia Principale
P-TR	Anidriti di Burano

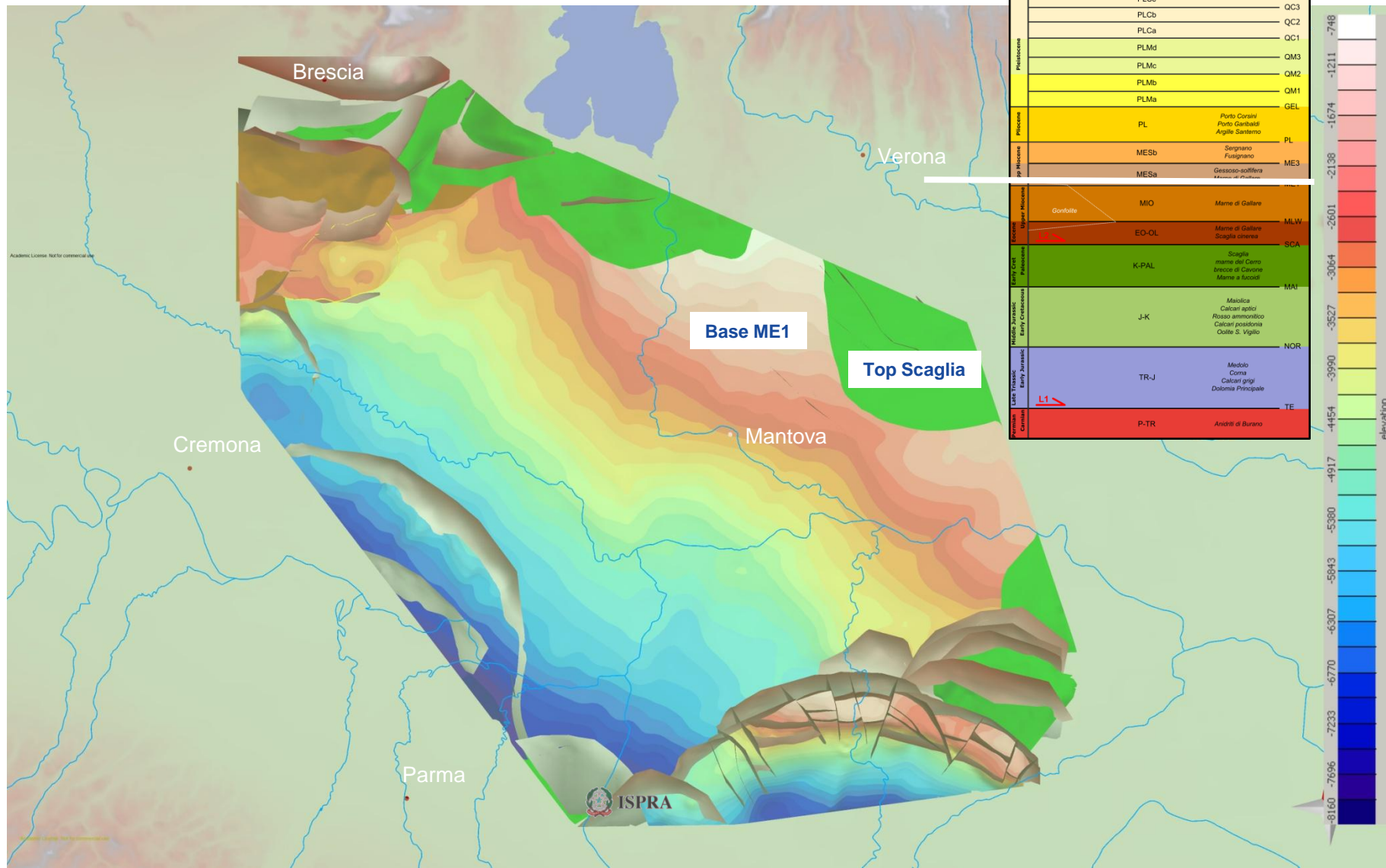
L2



B) GeoMol final report

# Unconformity Tortoniano superiore

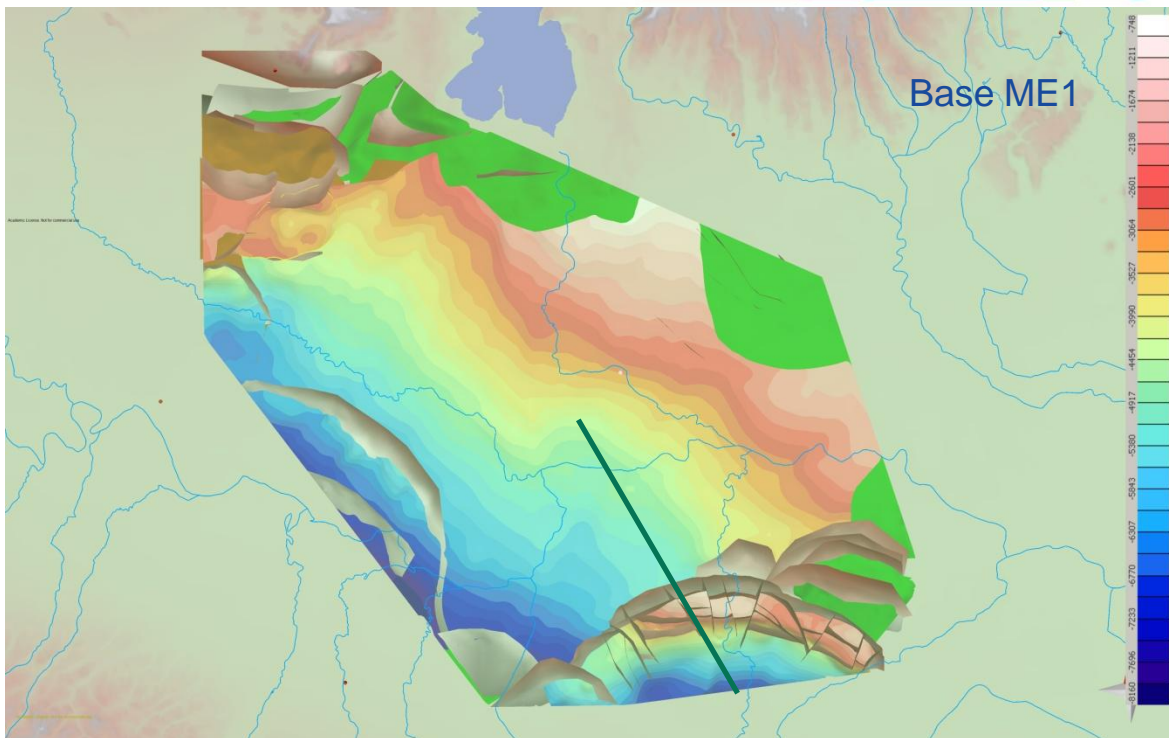
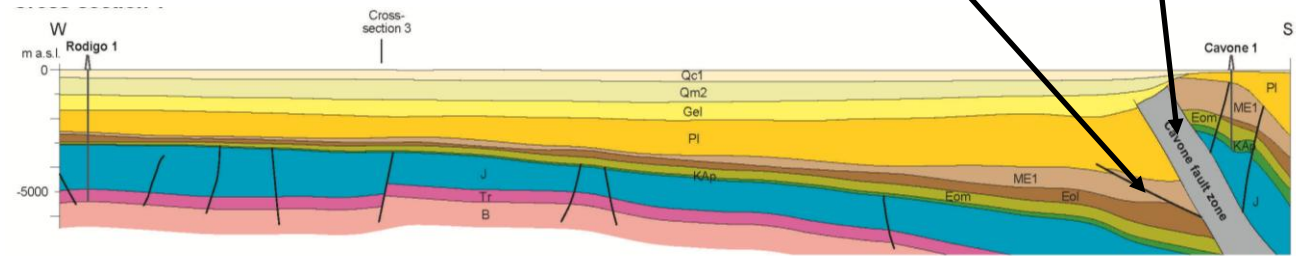
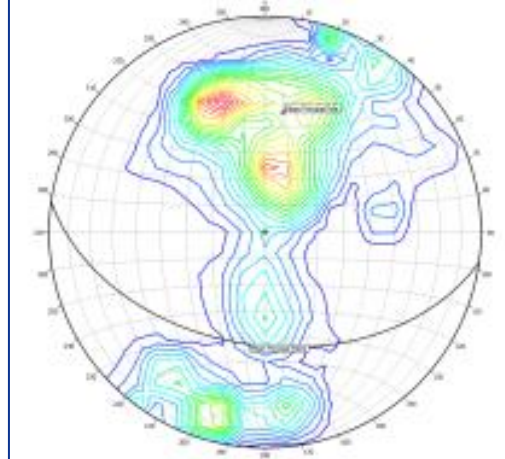
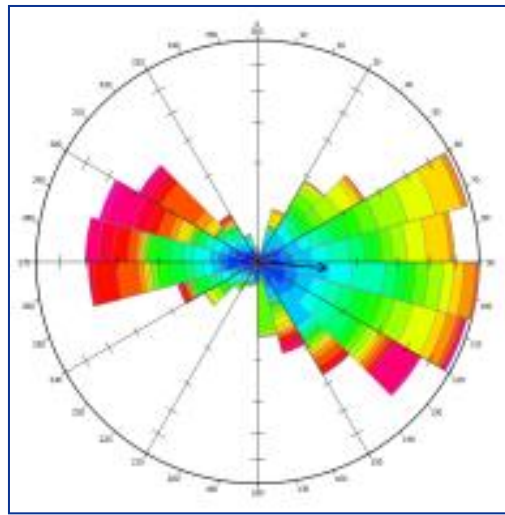
## Base ME1



## Analisi strutturale: strutturepressive sudalpine ed appenniniche

## Thrust L1

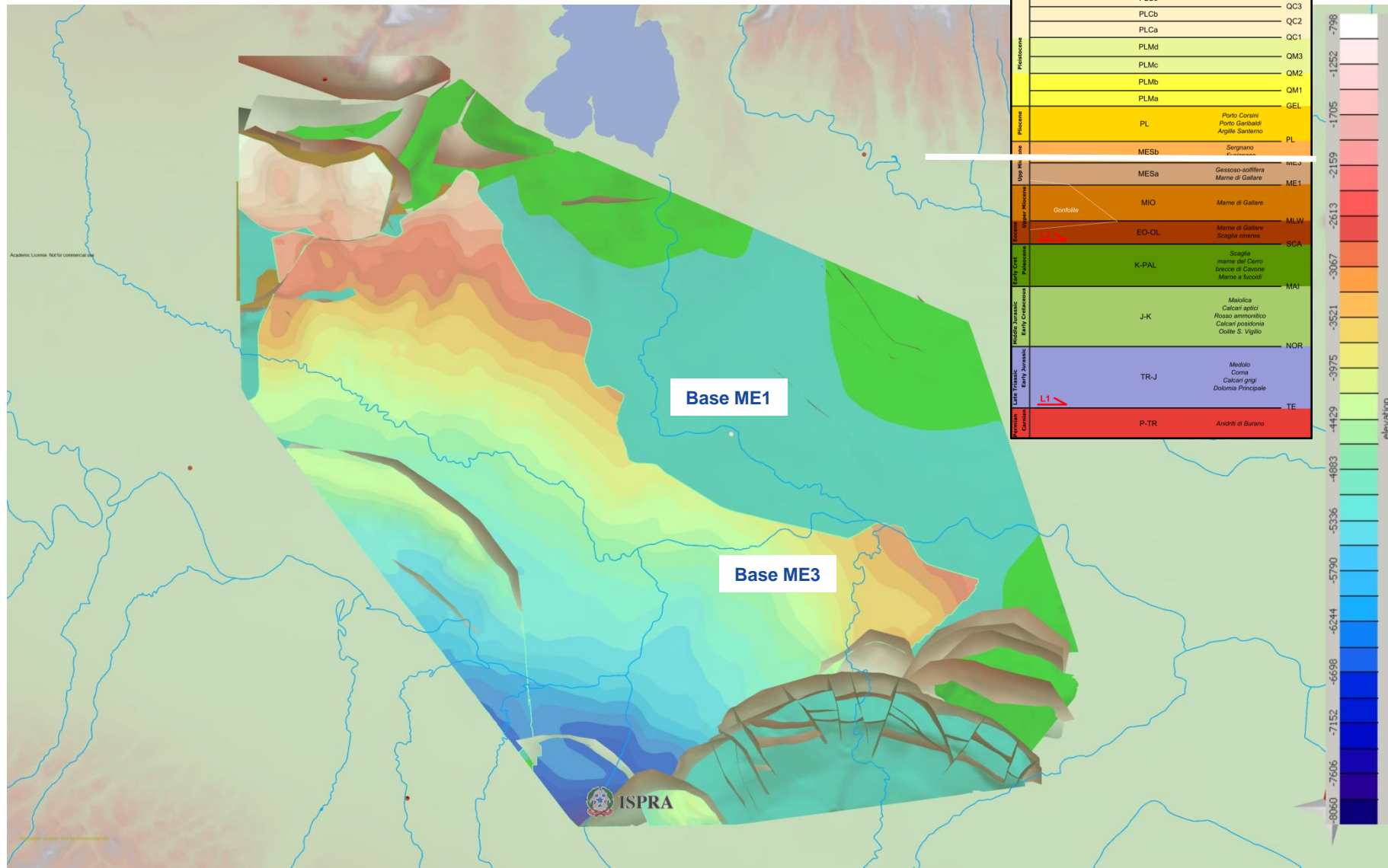
## Thrust



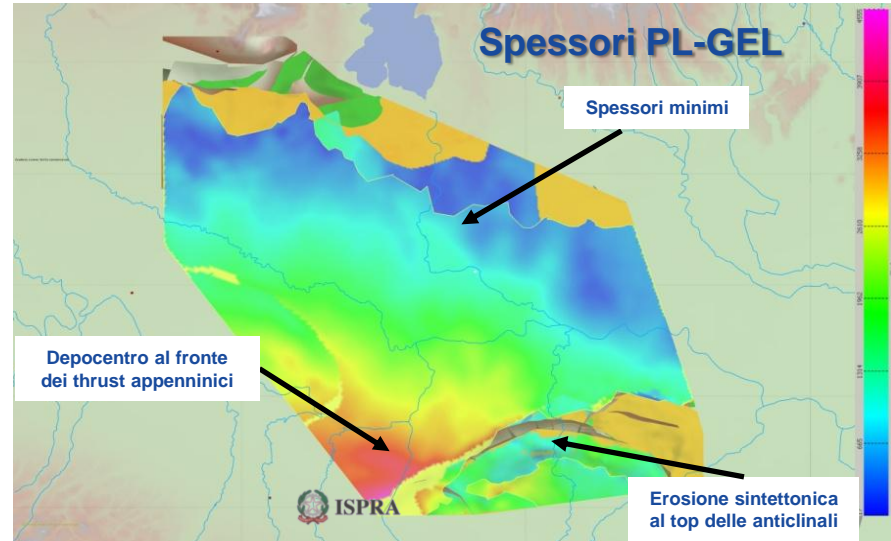
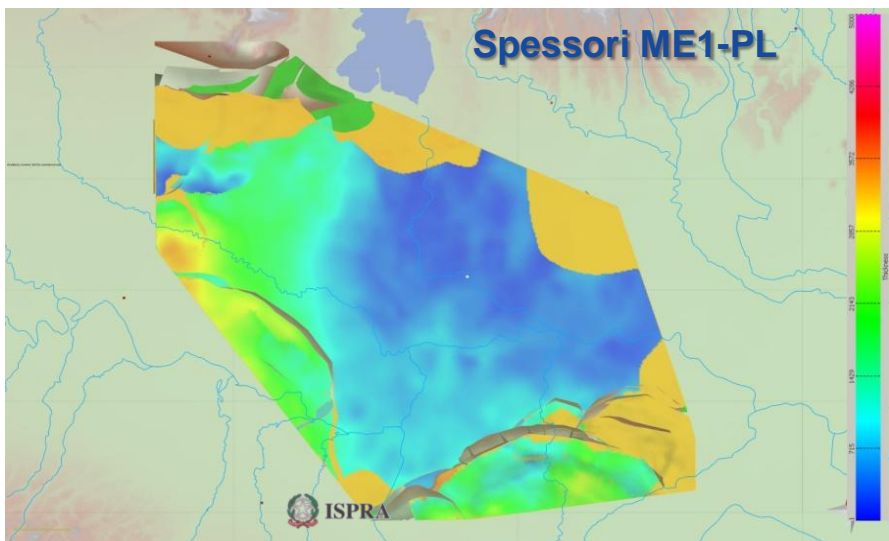
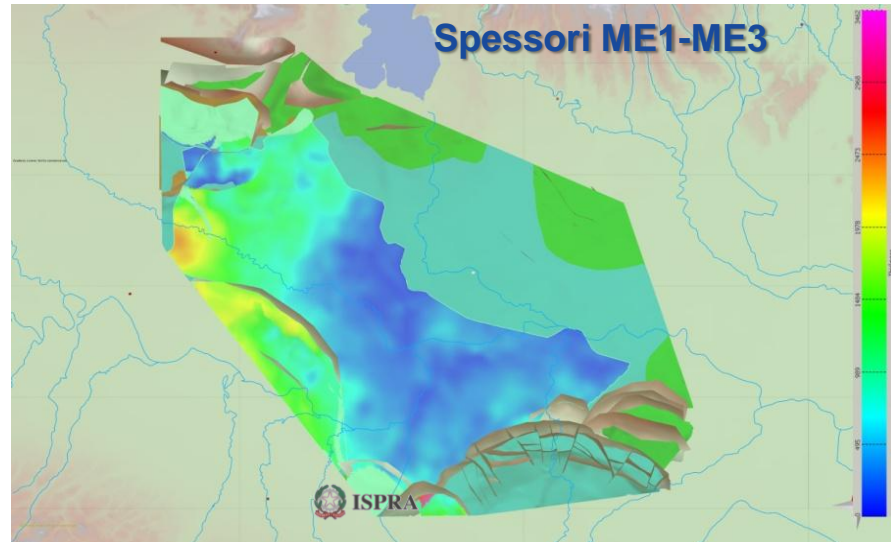
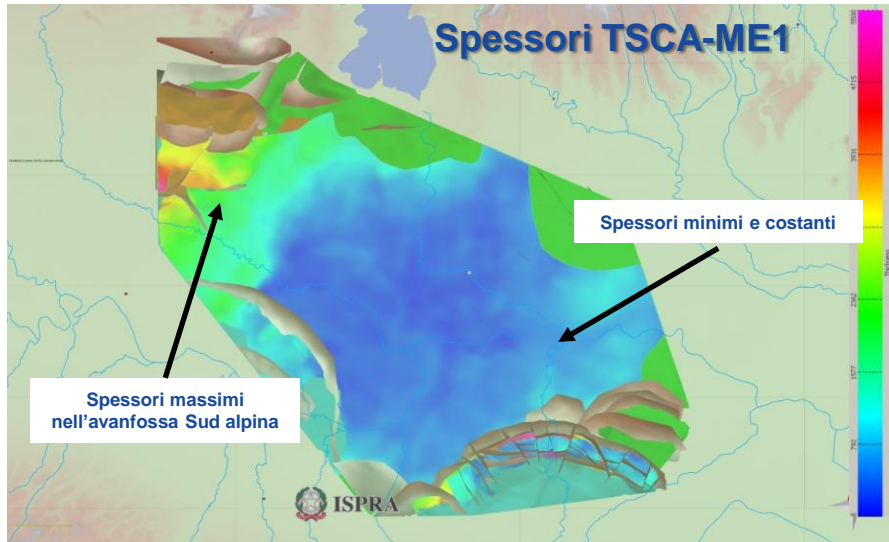
## Output verso analisi sismotettonica

# Unconformity intra-messiniana

## Base ME3

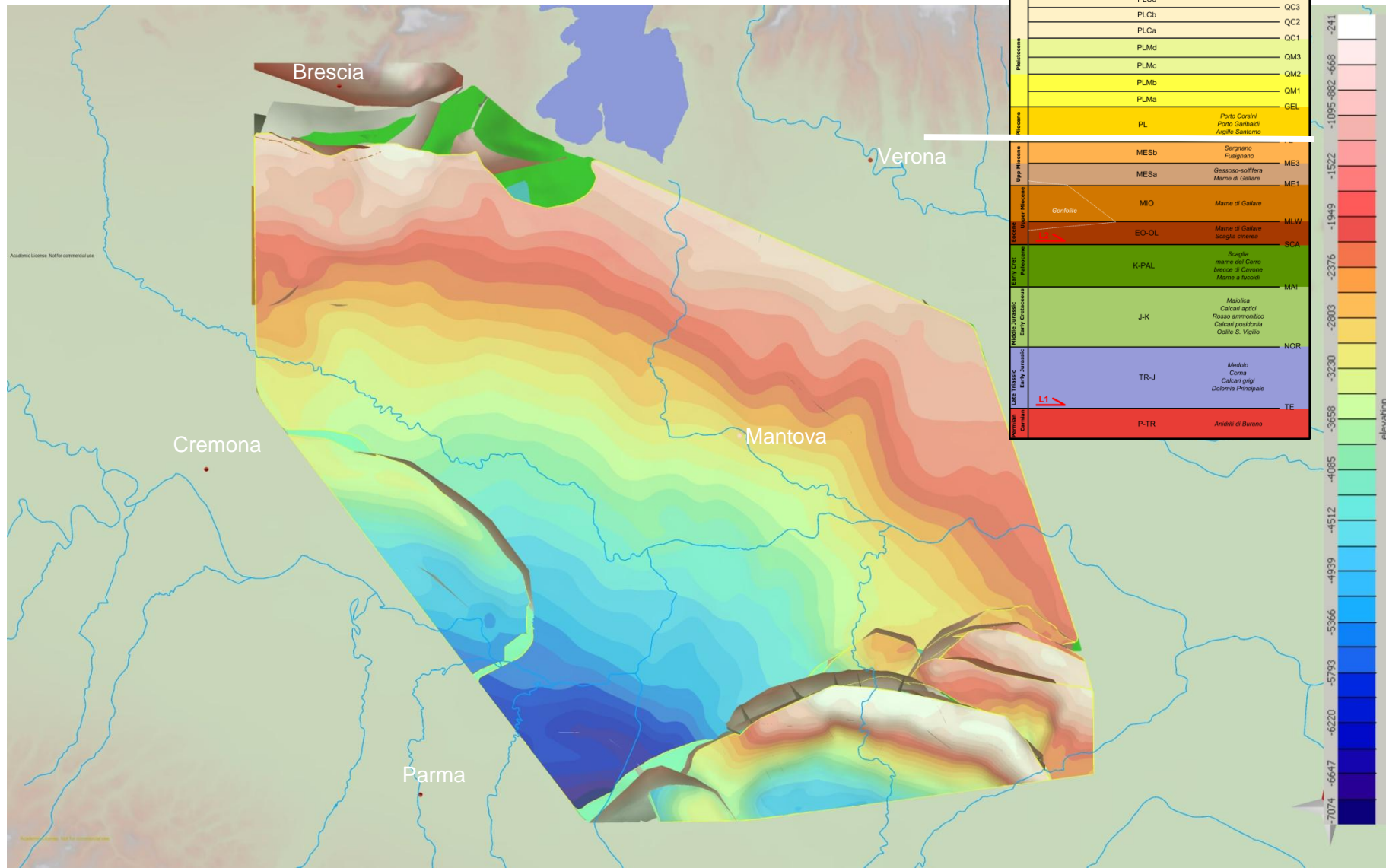


## Evoluzione delle avanfosse



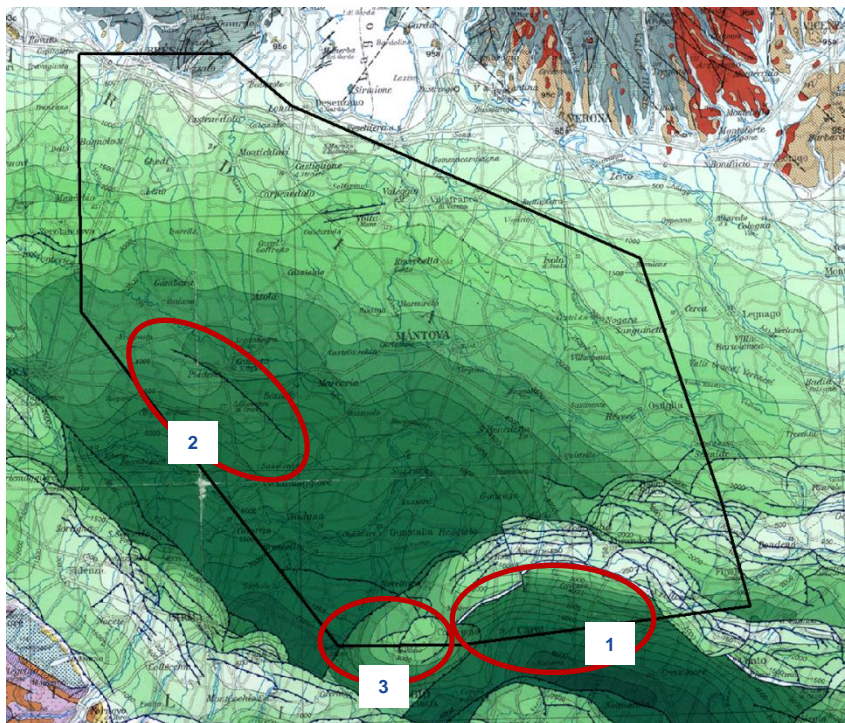
# Unconformity intra-zancleana

## Base PL

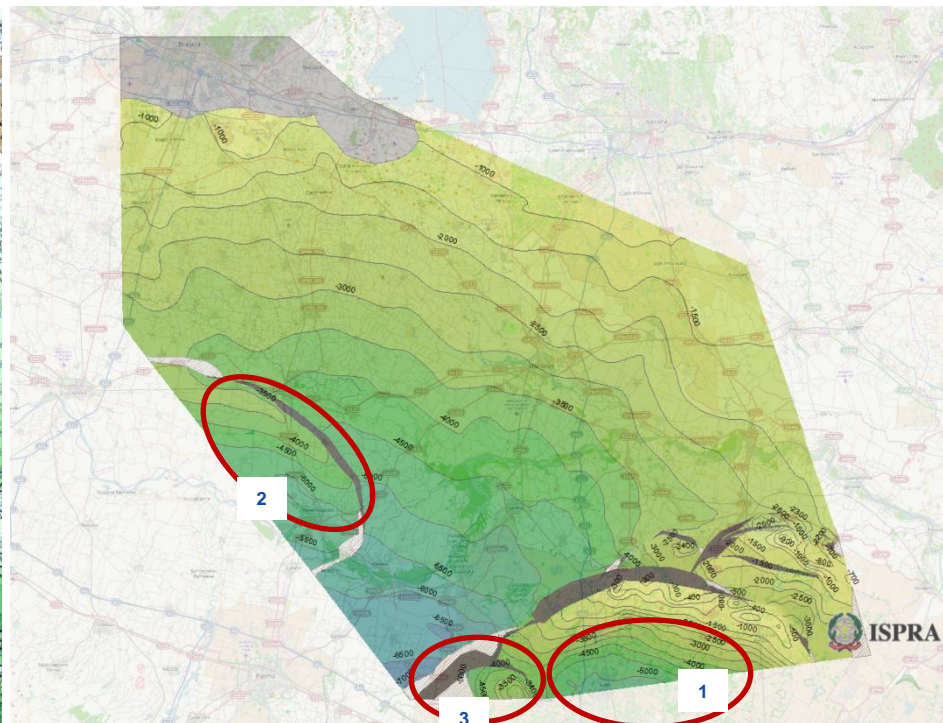


## Miglioramento delle conoscenze

Base Pliocene, da Modello Strutturale

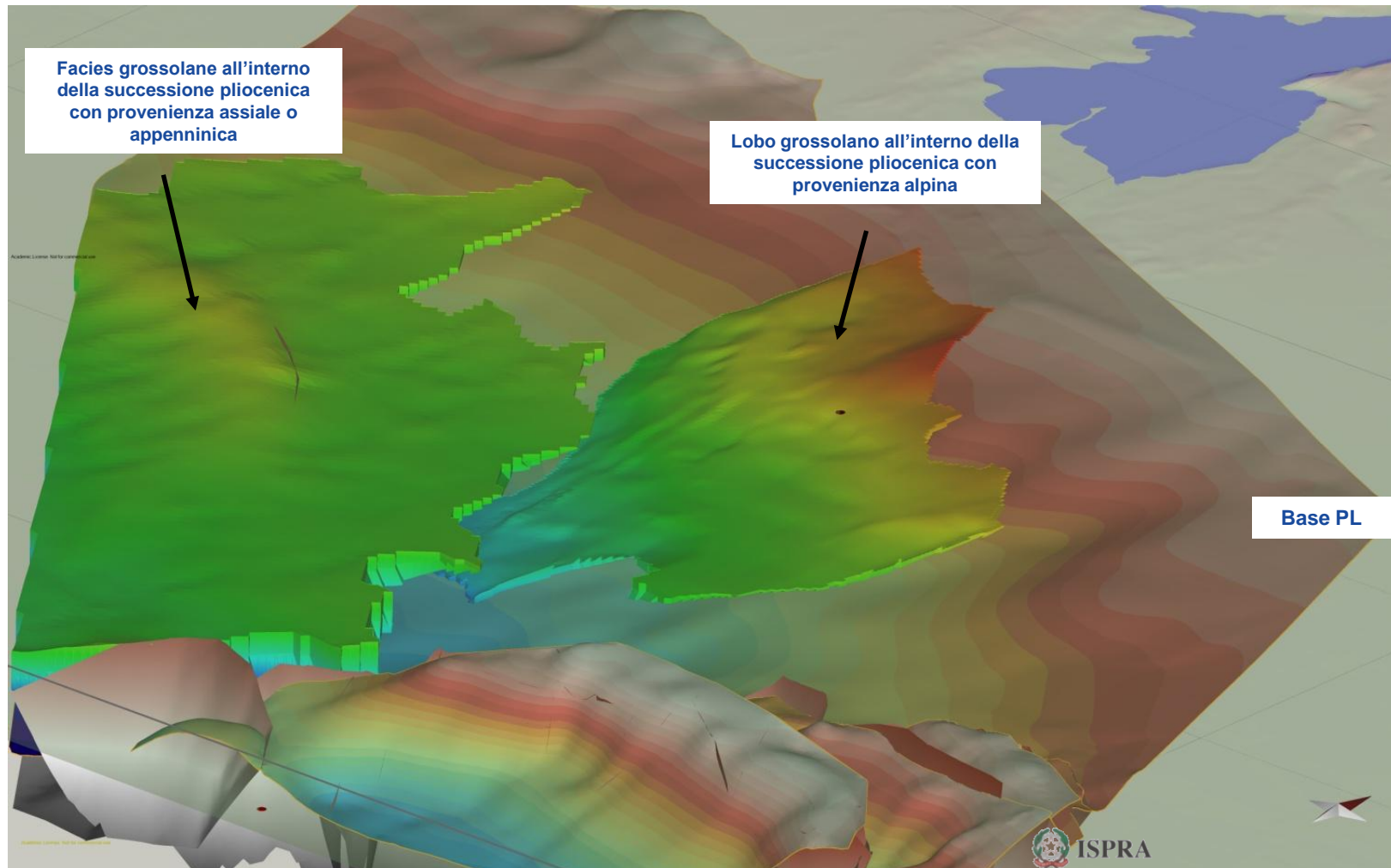


Unconformity intra-zancleana – Base Pliocene da modello GeoMol



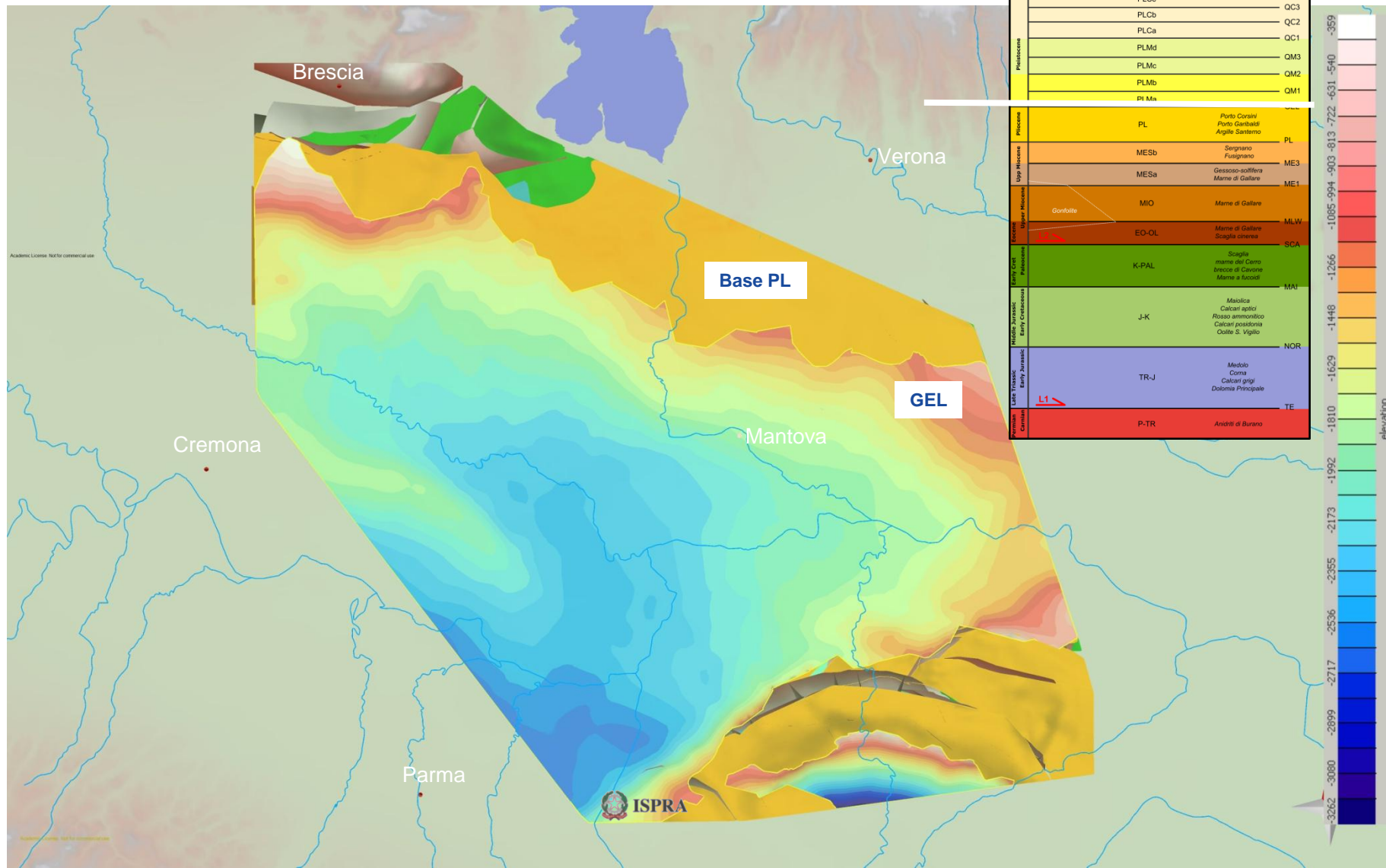
- 1 – Significativa riduzione della profondità (circa 2000 m) e dell'inclinazione dell'orizzonte
- 2 – Maggiore dettaglio nella geometria della faglia e della piega
- 3 – Modificata l'interpretazione della struttura tettonica

## Mappatura volumetrica delle facies grossolane per la valutazione dei geopotenziali (geotermia)

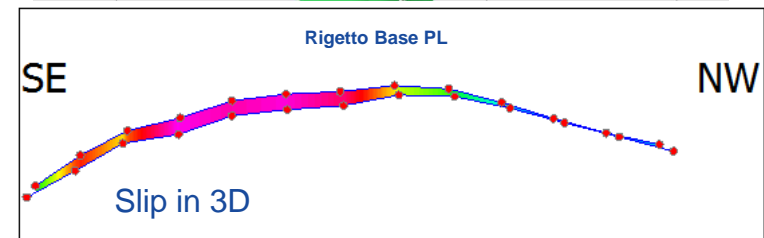
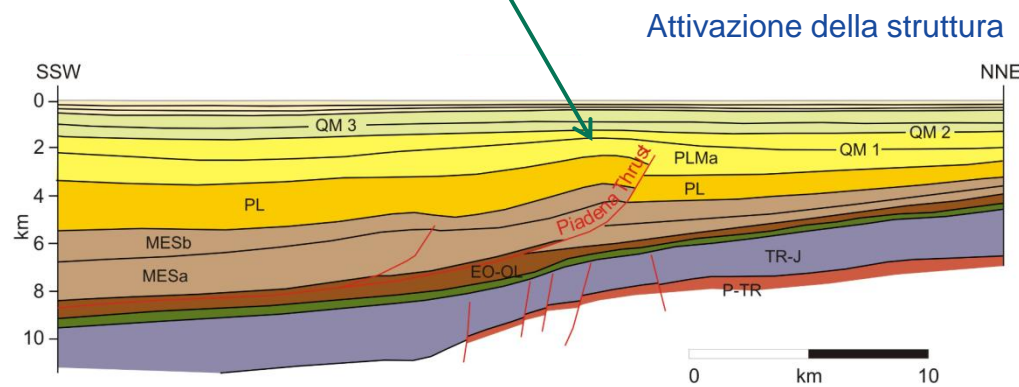
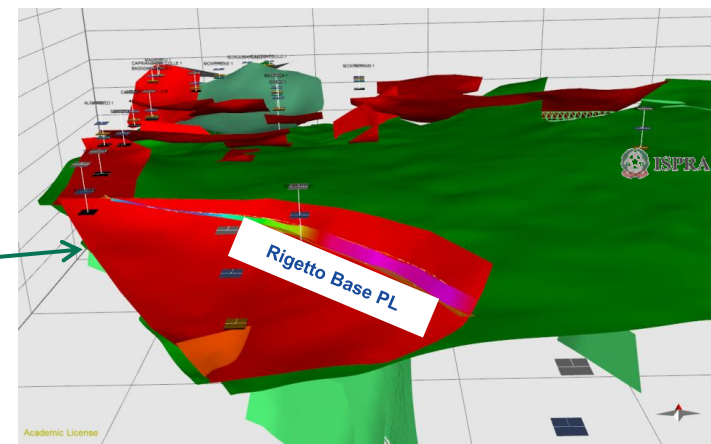
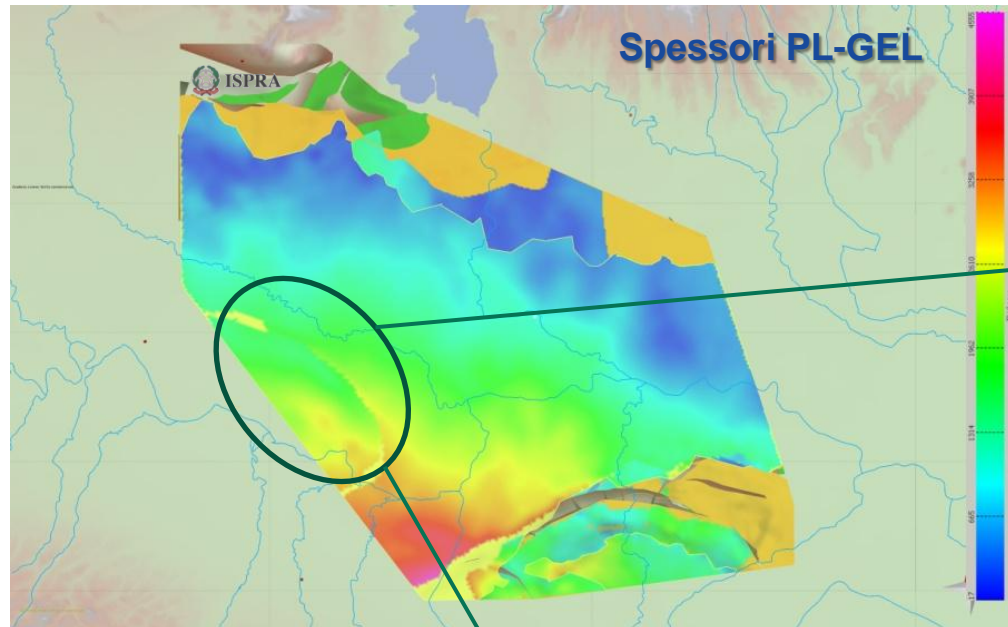


Output verso geotermia

## Unconformity gelasiana

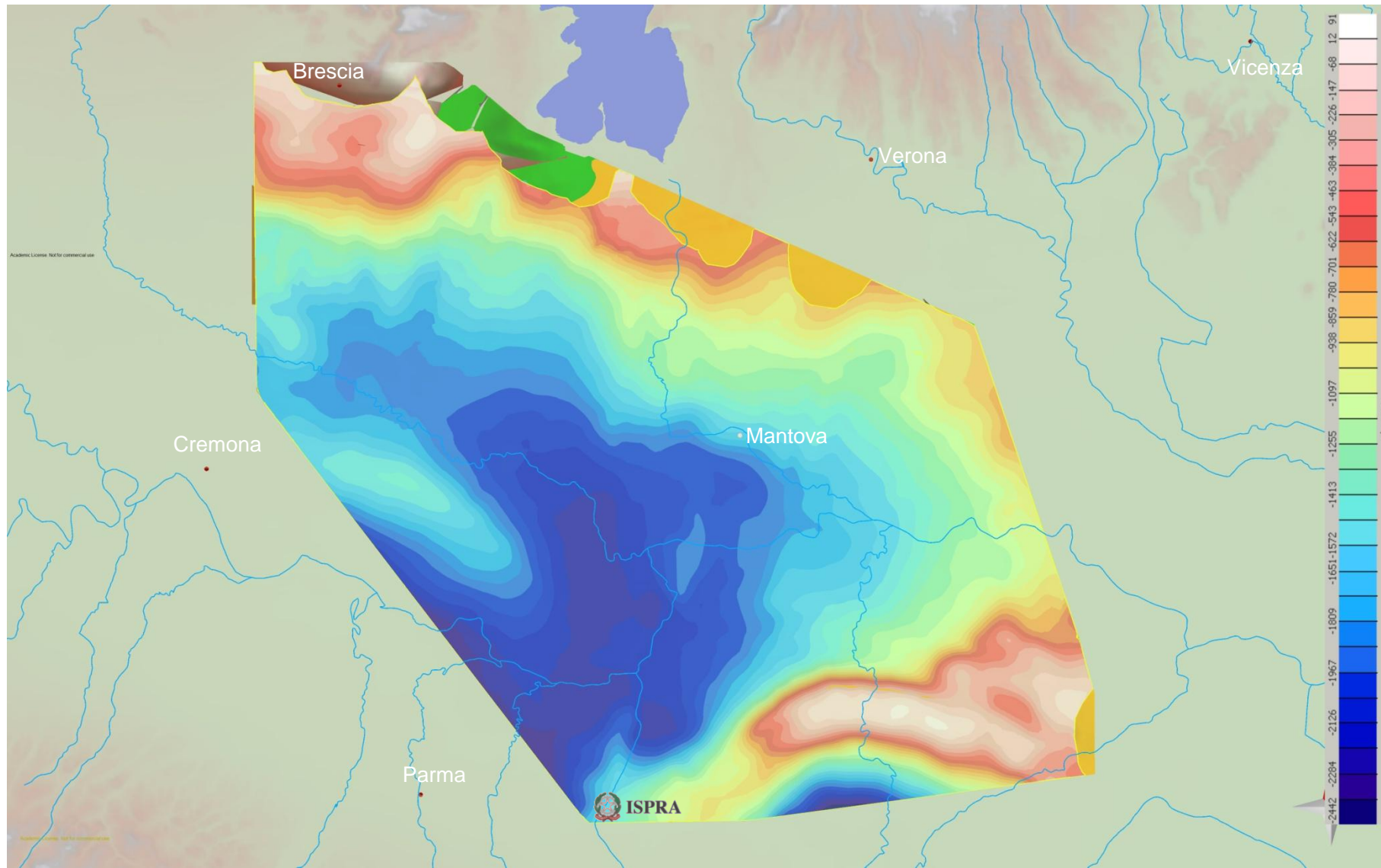


## Attivazione dei thrust

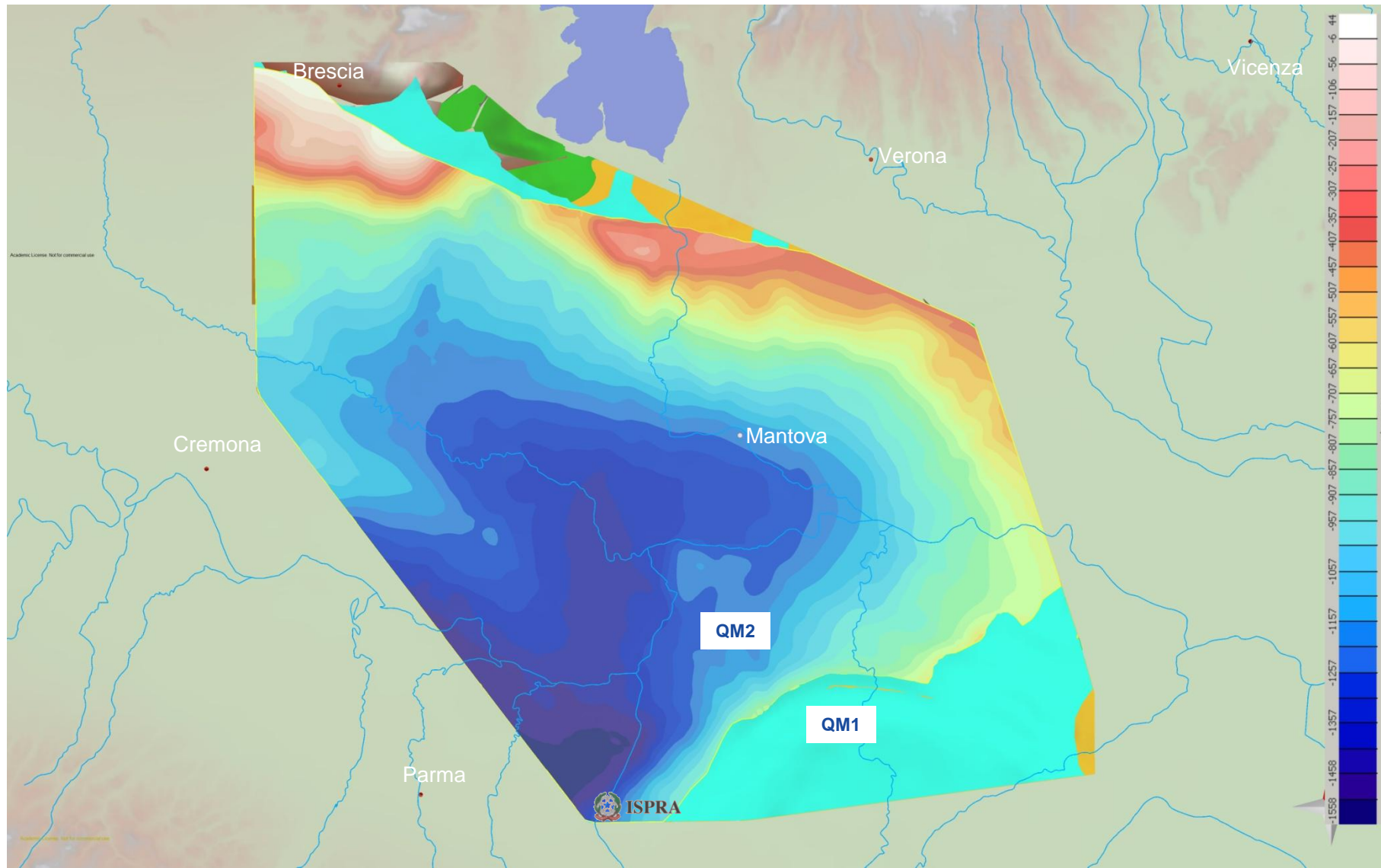


→ **3D slip rates**

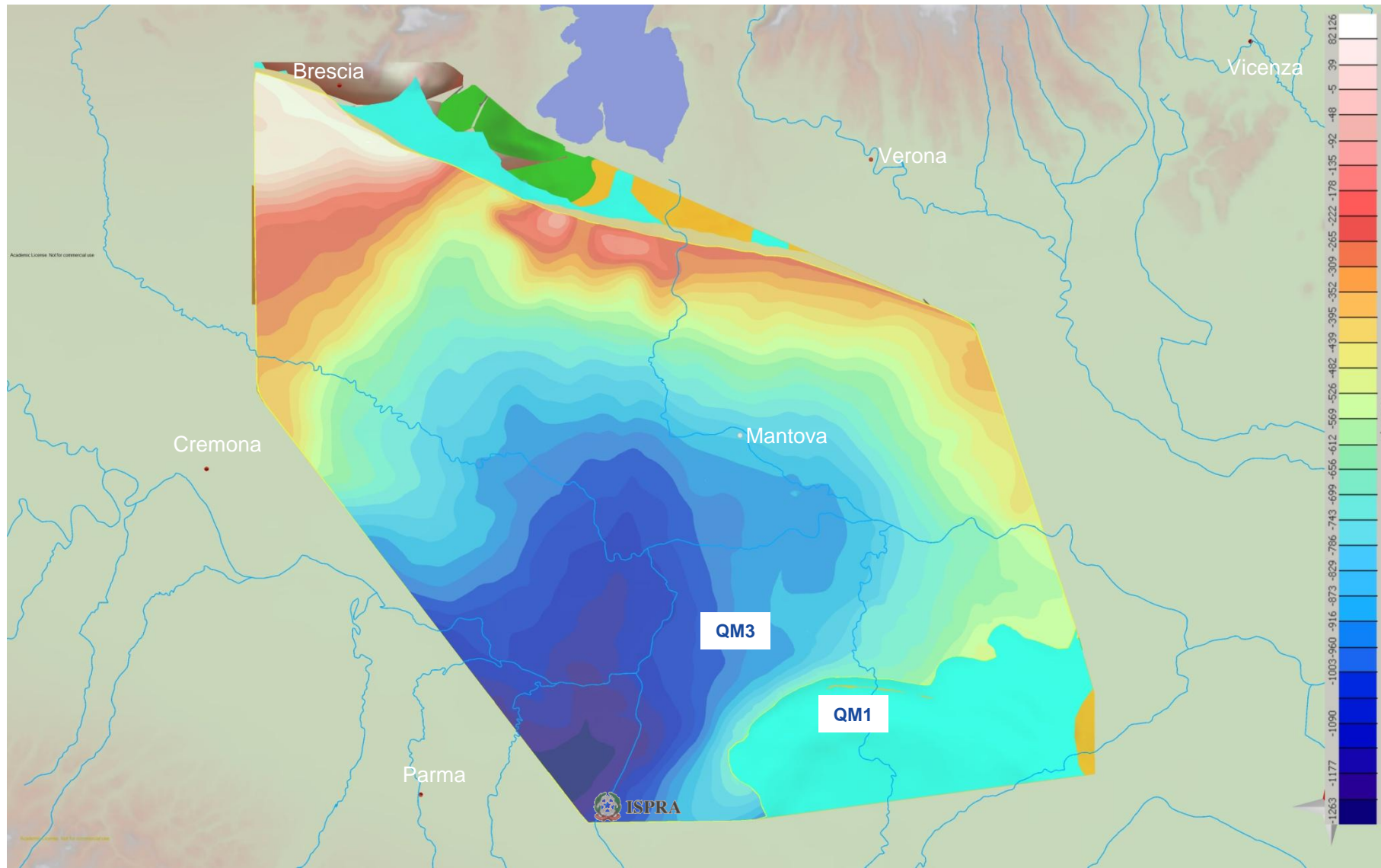
## Unconformity QM1 (Calabriano)



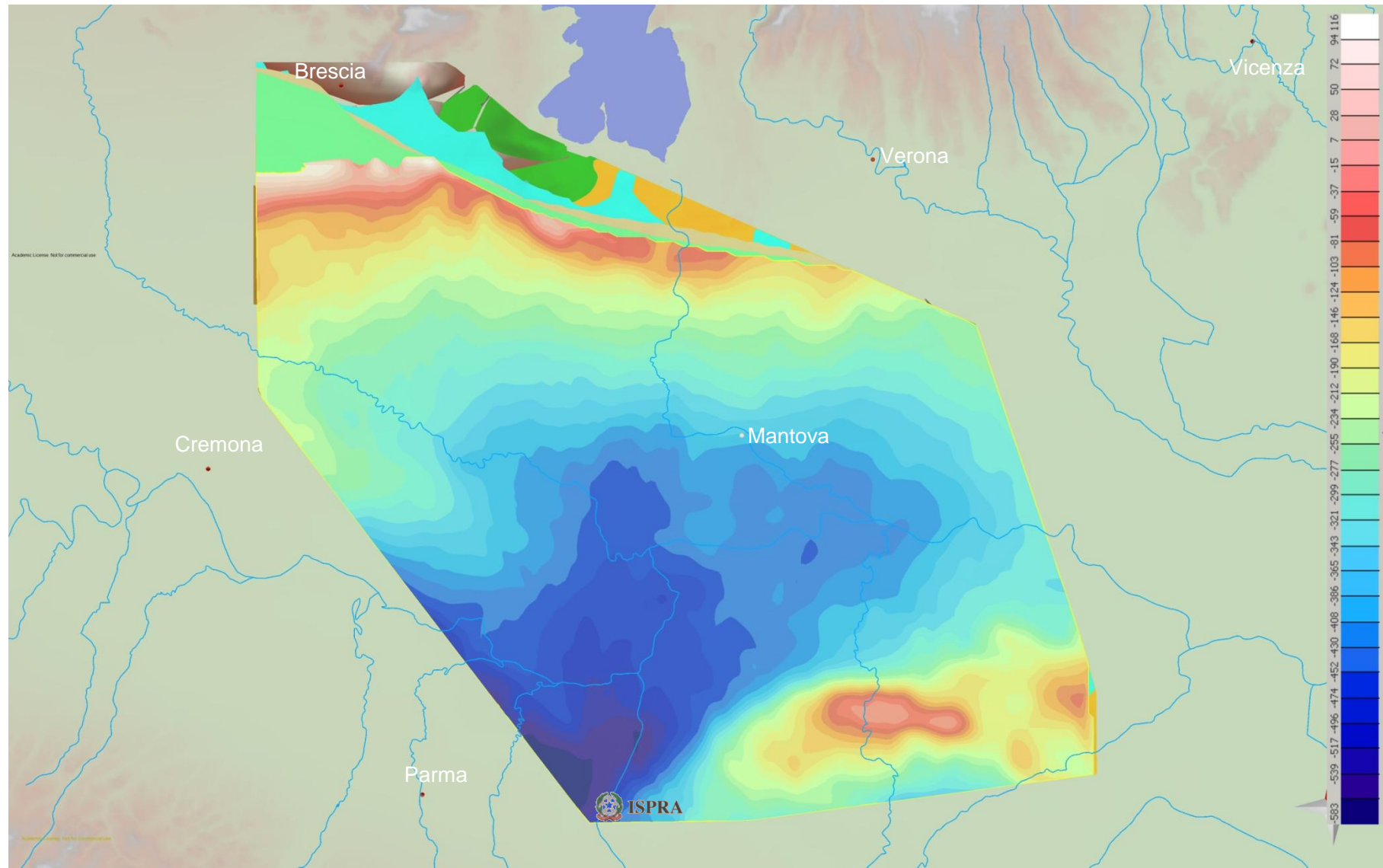
## Unconformity QM2 (Calabriano)



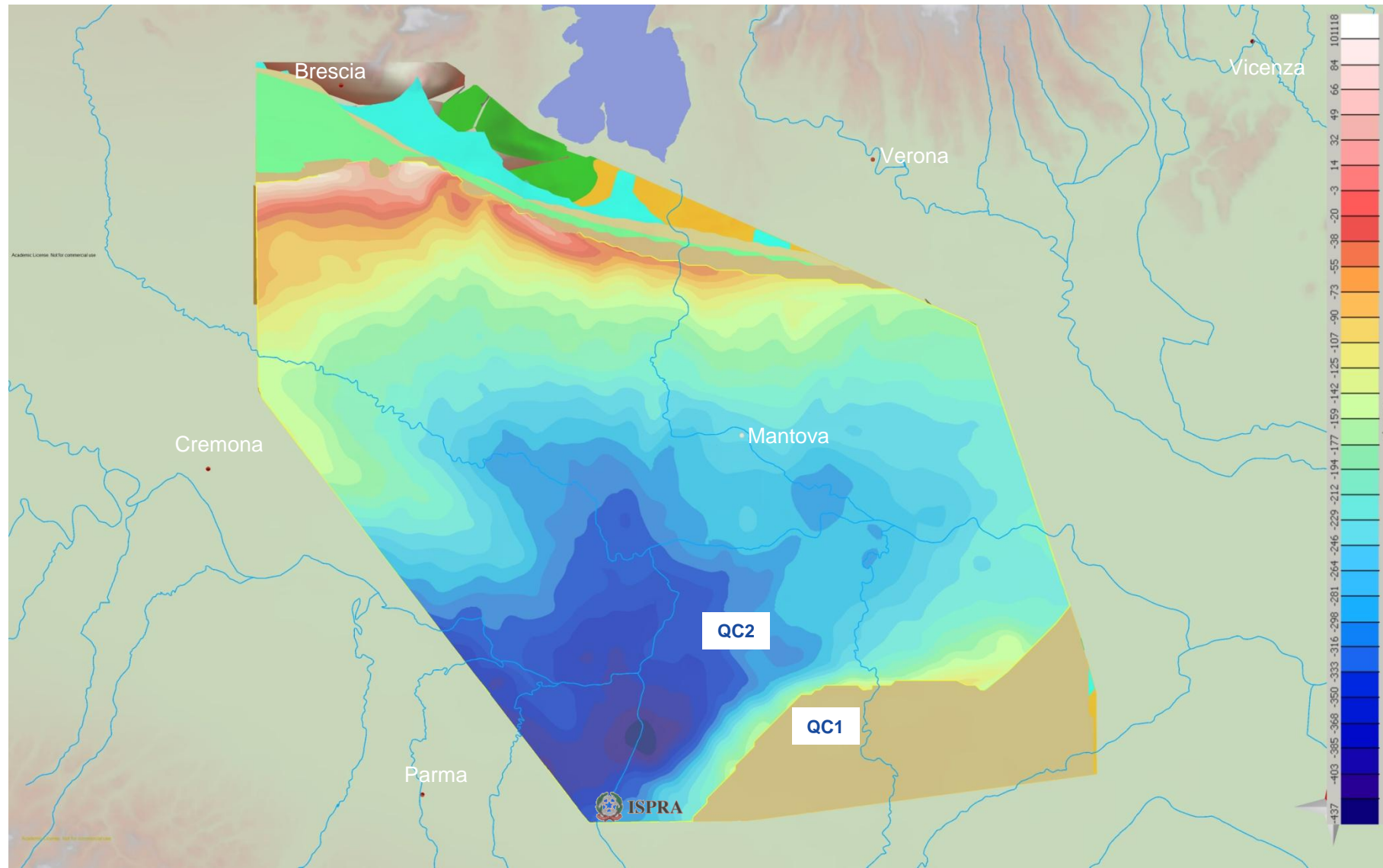
## Unconformity QM3 (Calabriano)



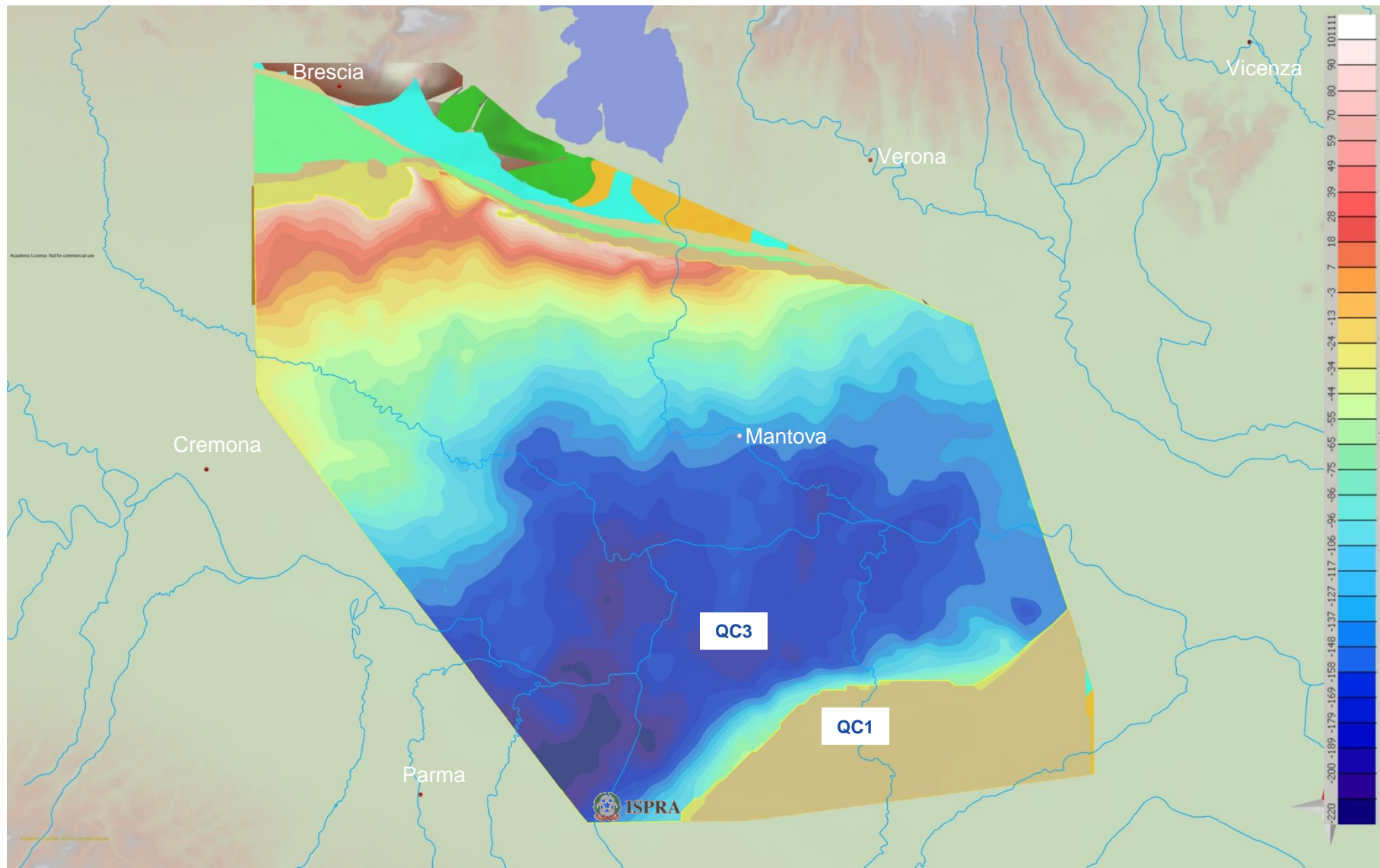
## Unconformity QC1 (Pleistocene medio)



## Unconformity QC2 (Pleistocene medio)



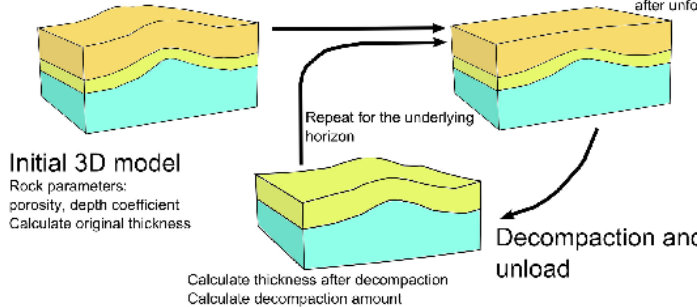
## Unconformity QC3 (Pleistocene medio)



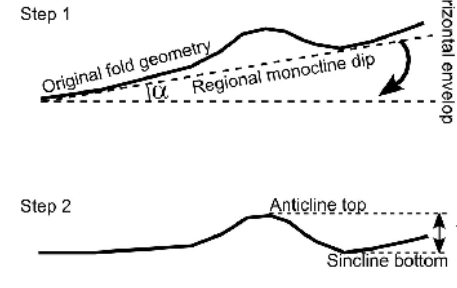
# Evoluzione del riempimento del bacino durante il Pleistocene

## Workflow

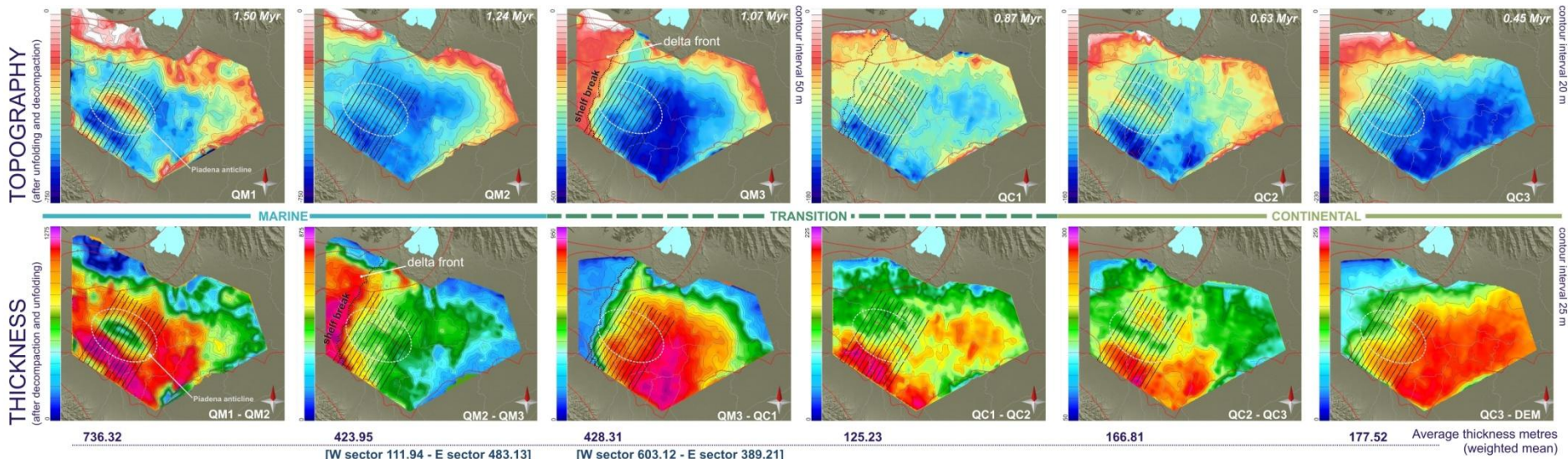
### 3D Unfolding and decompaction



### C) Regional tilting and vertical separation

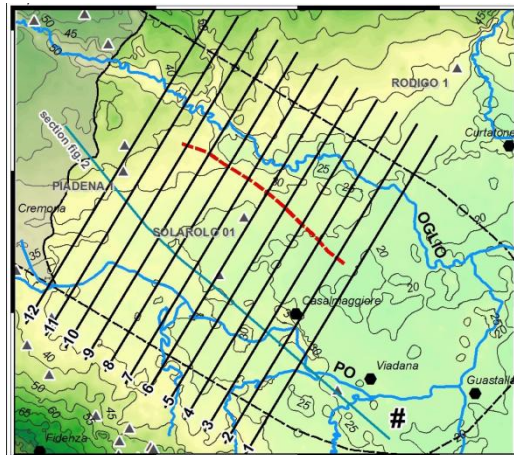


EGU General Assembly  
Vienna 12-17 Aprile 2015

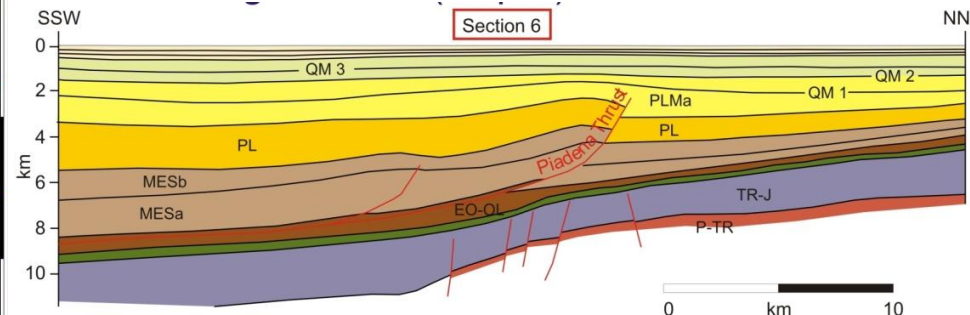


Maesano & D'Ambrogi (under revision) – coupling sedimentation and tectonic control:  
Pleistocene evolution of the Central Po Basin – It. Jour. Geosc.

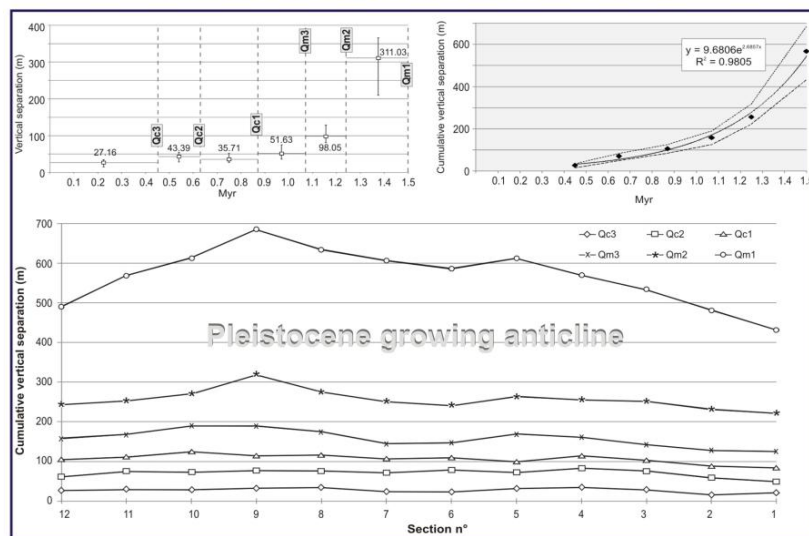
## Interazione tra tettonica e sedimentazione



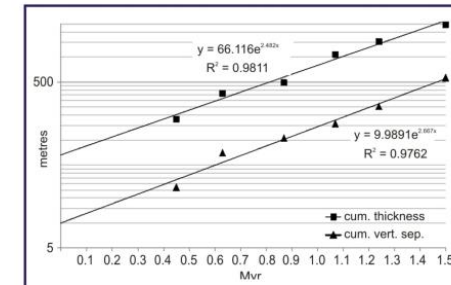
RESIDUAL VERTICAL SEPARATION



EGU General Assembly  
Vienna 12-17 Aprile 2015



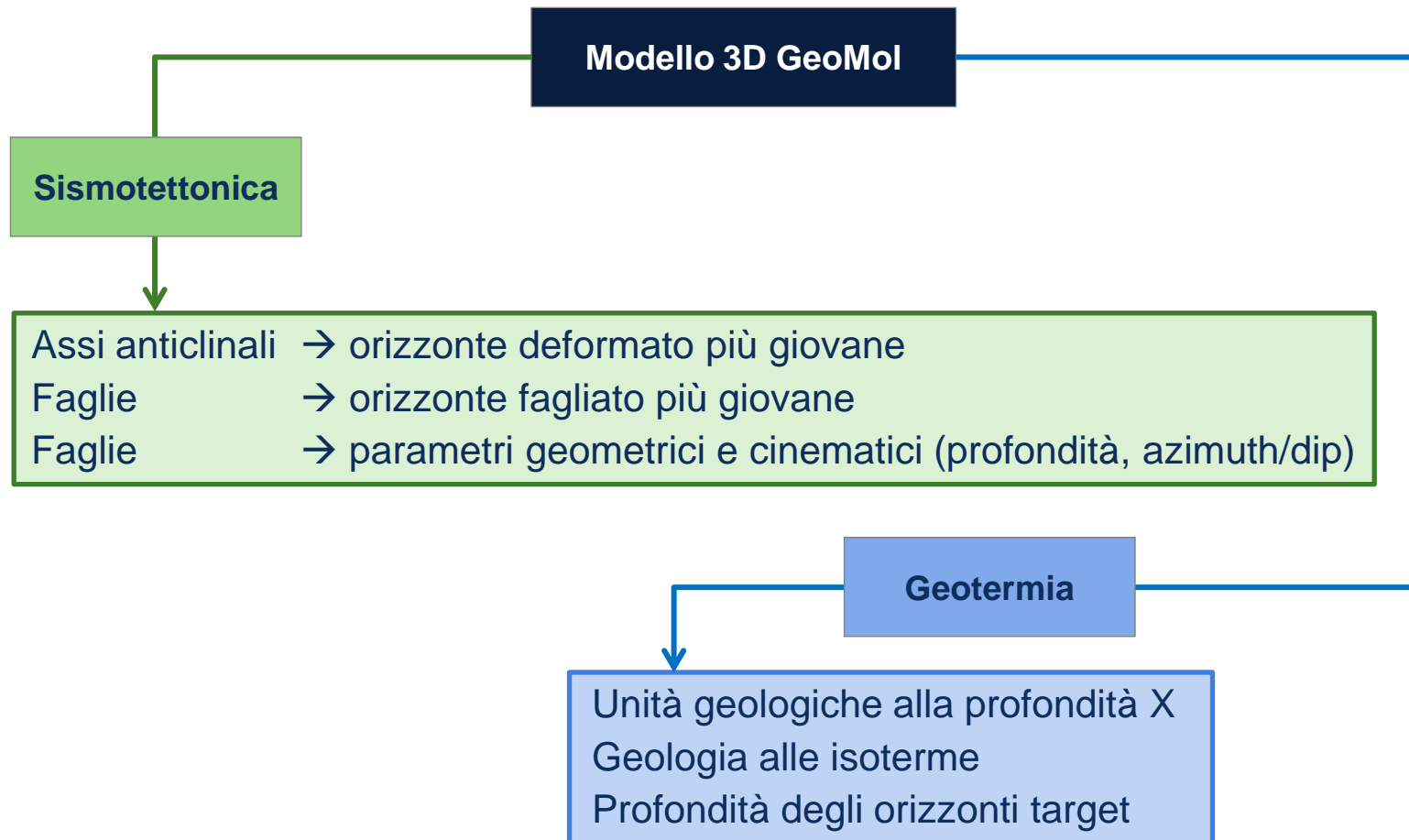
SEDIMENTATION vs UPLIFT RATE



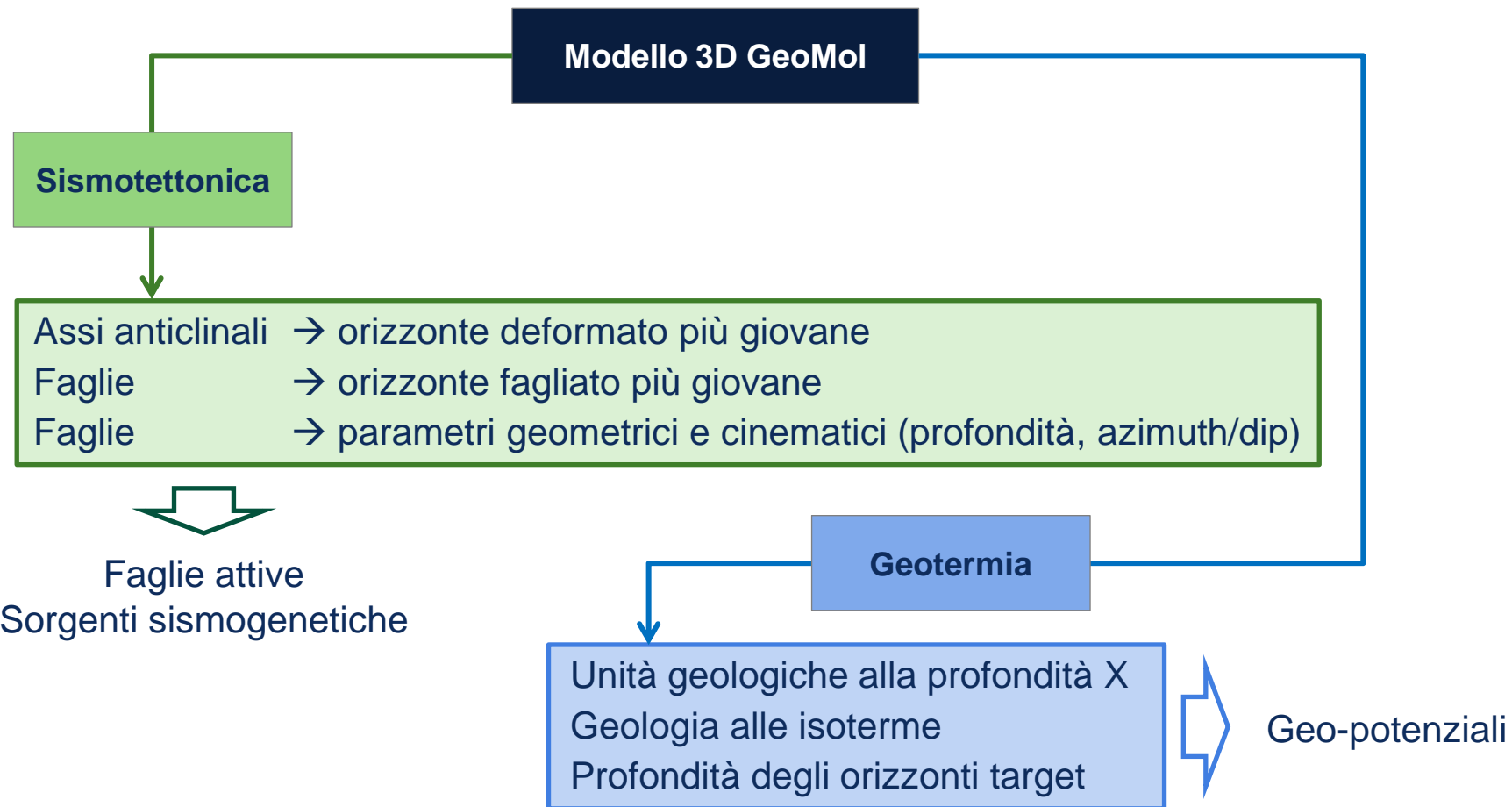
	sedim rate (mm/yr)	uplift rate (mm/yr)
Qc3-DEM	0.40 ± 0.05	0.06 ± 0.05
Qc2-Qc3	1.04 ± 0.17	0.24 ± 0.12
Qc1-Qc2	0.54 ± 0.11	0.15 ± 0.09
Qm3-Qc1	2.91 ± 0.25 #	0.26 ± 0.11
Qm2-Qm3	2.71 ± 0.28 #	0.58 ± 0.15
Qm1-Qm2	3.59 ± 0.21	1.20 ± 0.12

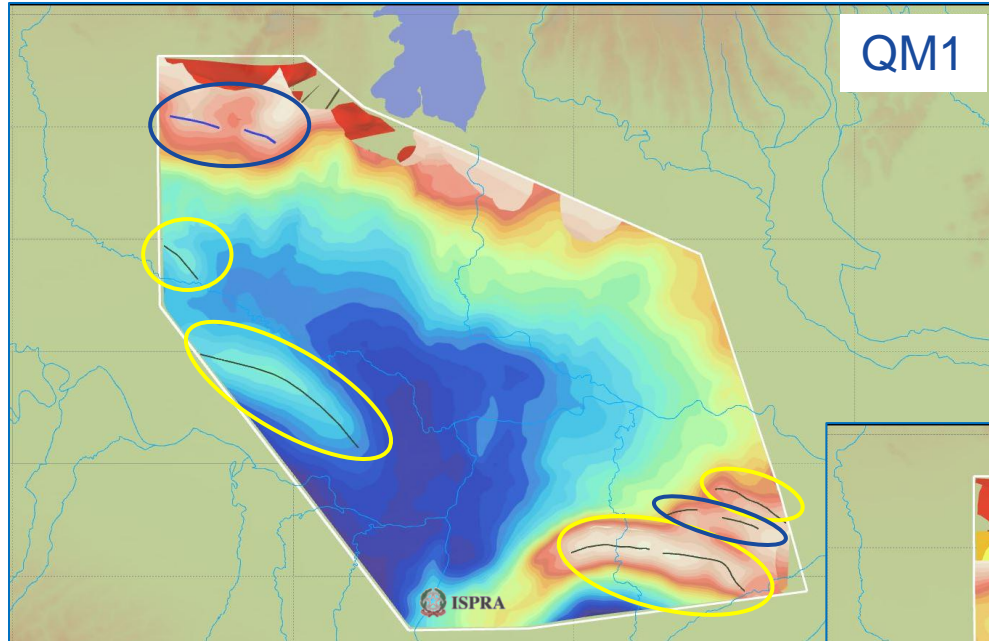
The sedimentation rates are calculated for the Piadena area

## Dal modello geologico 3D agli output tematici

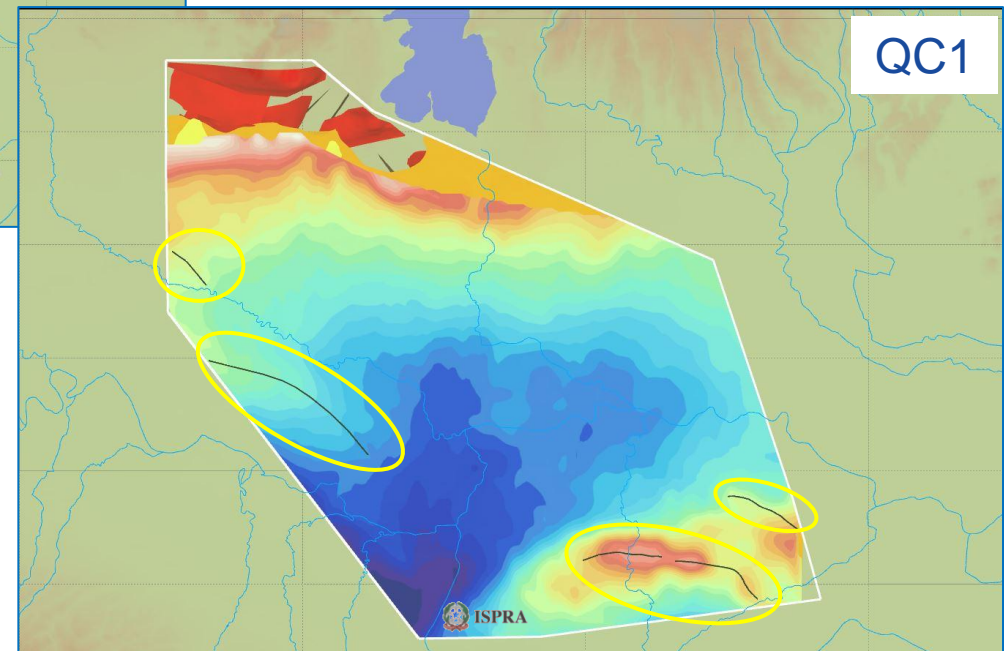


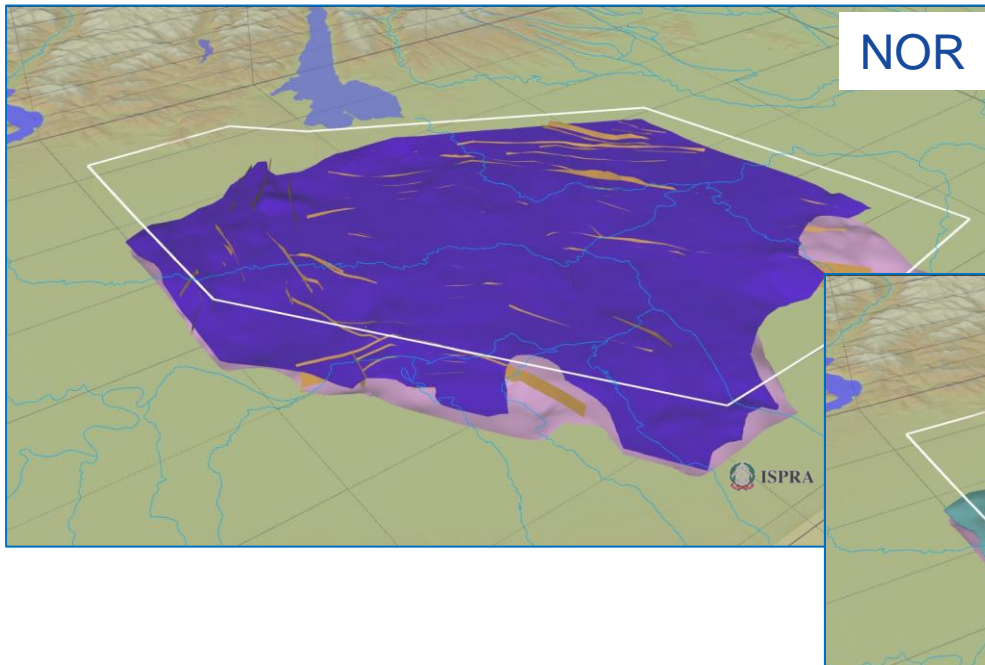
## Dal modello geologico 3D agli output tematici





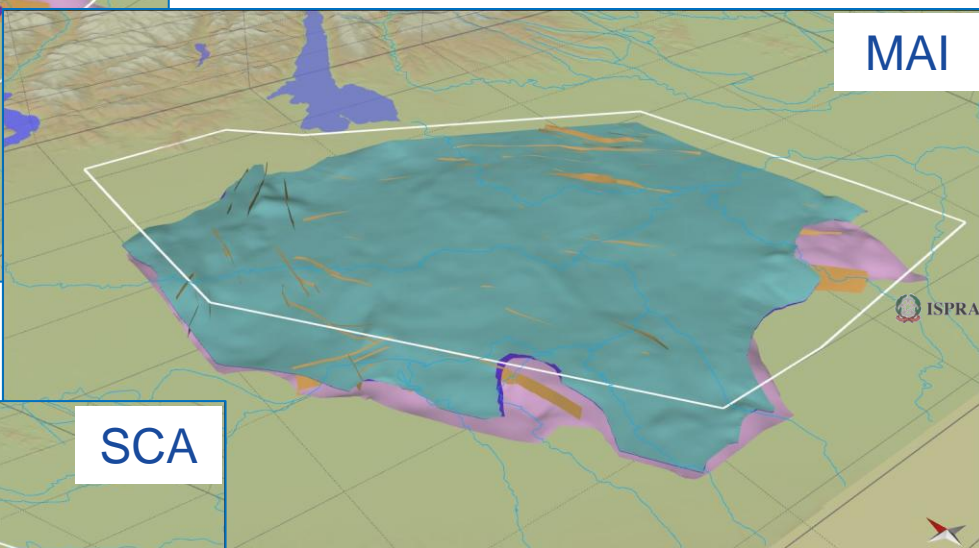
**ANTICLINALI**  
Età orizzonte deformato  
più giovane



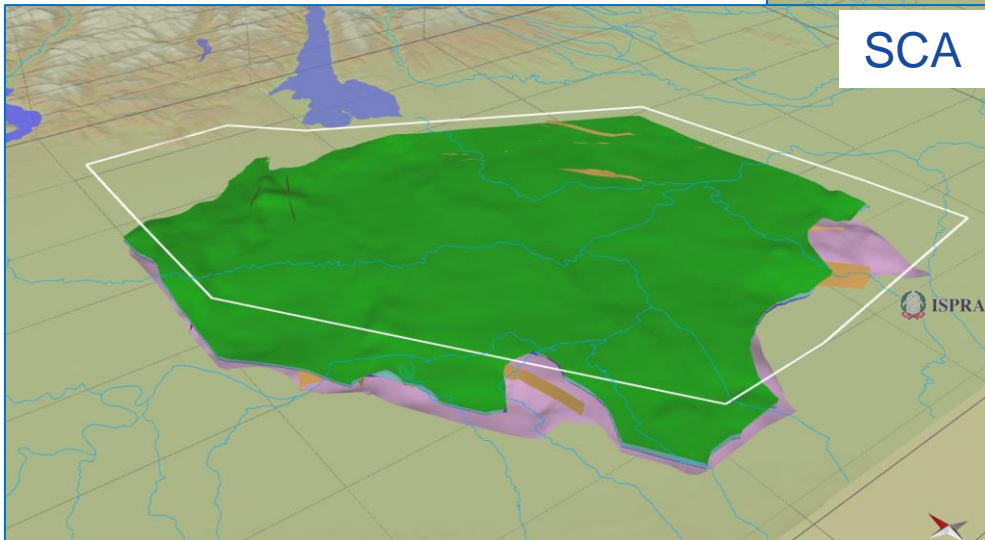


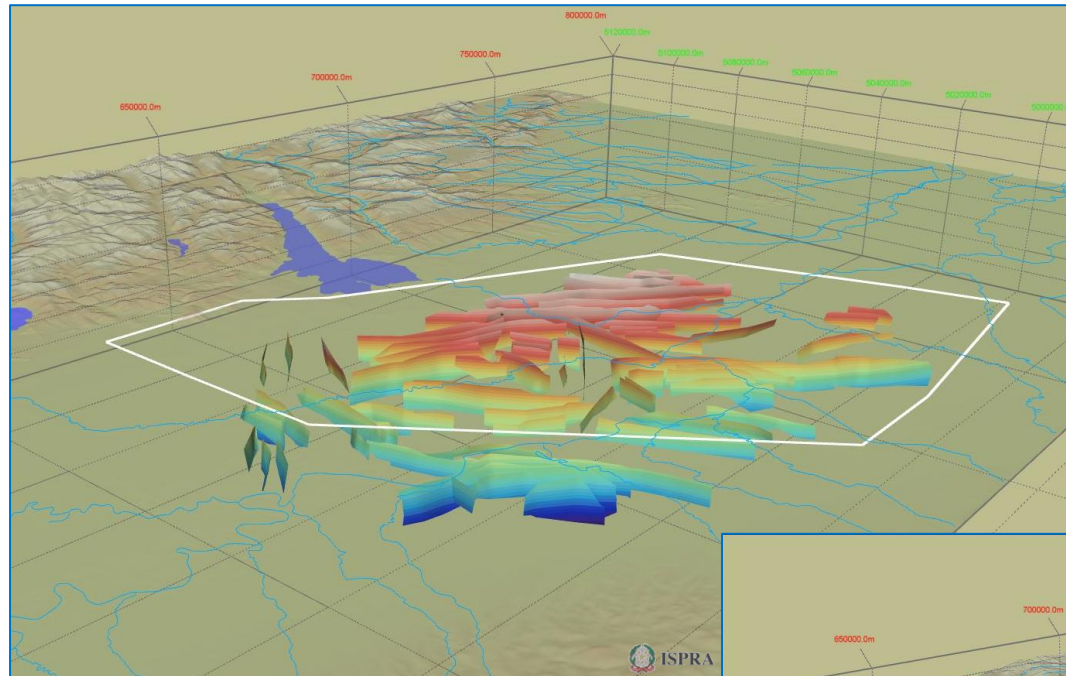
NOR

## FAGLIE Età orizzonte fagliato più giovane

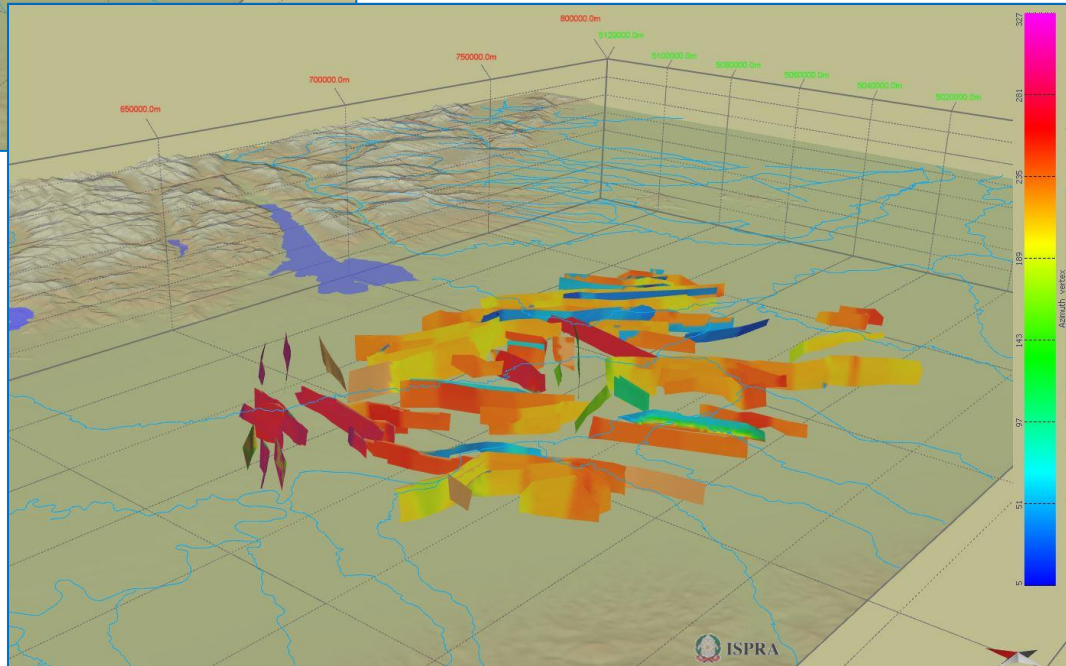


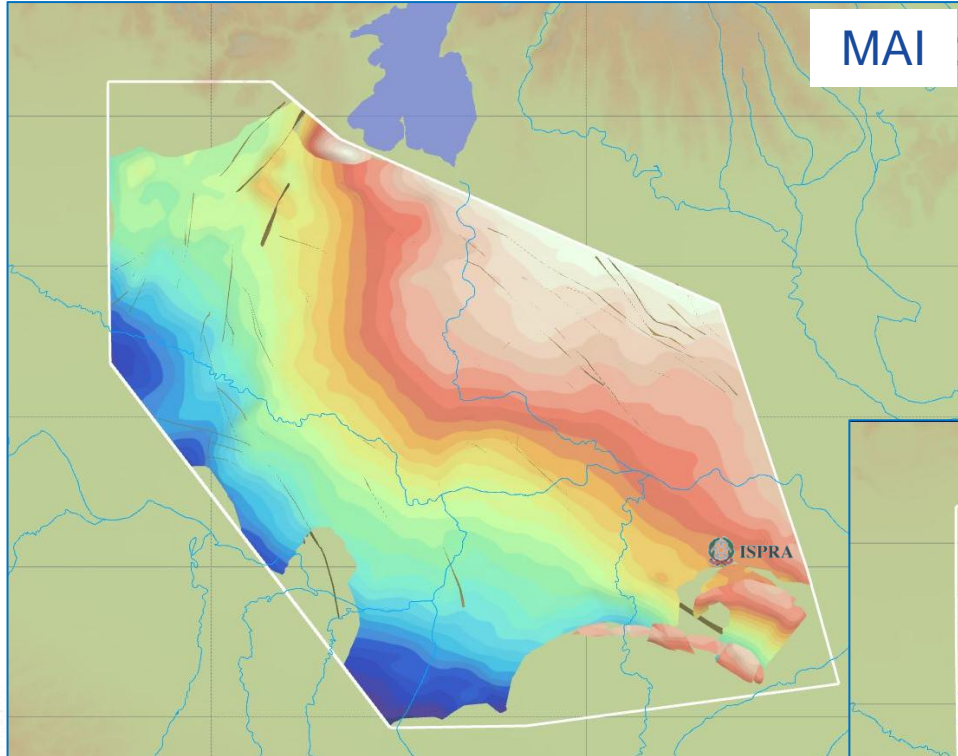
SCA



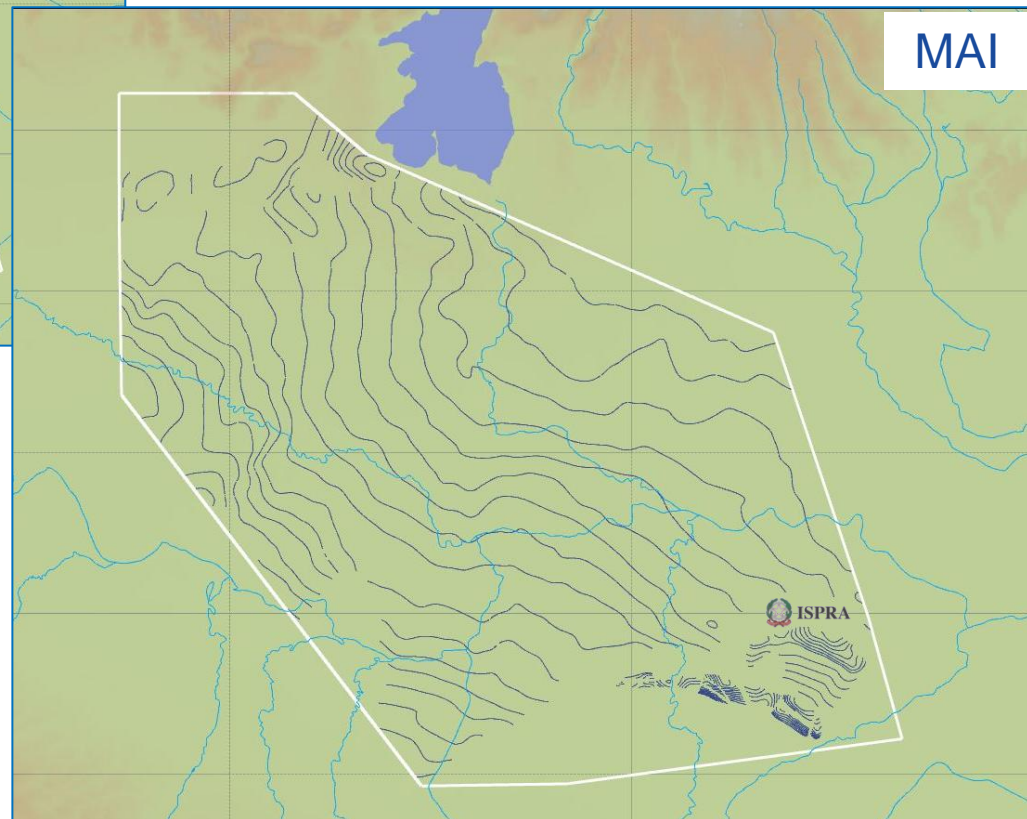


## FAGLIE Parametri





## ISOBATE Orizzonte target



## ISOPACHE

### Orizzonte target/evoluzione struttura

